

# **TPJD BÜLTENİ**

TÜRKİYE PETROL JEOLOGLARI DERNEĞİ

# **TAPG BULLETIN**

TURKISH ASSOCIATION OF PETROLEUM GEOLOGISTS



Cilt: 21

Sayı: 2

Aralık 2009



Volume: 21

No: 2

December 2009

**Kapak Resmi:** Cudi bindirmesi, Siyahkara Karakolu, Silopi (Foto: Ýsmail BAHTÝYAR, 2008).  
**Cover Photography:** *Cudi thrust fault, Siyahkara gendarme station, Silopi (Photo by Ýsmail BAHTÝYAR, 2008).*

---

# **TPJD BÜLTENÝ**

## **TAPG BULLETIN**

**ISSN: 1300-0942**

**Cilt: 21 Sayý: 2 Yýl: 2009**



**Volume: 21 Number: 2 Year: 2009**

Türkiye Petrol Jeologlarý Derneği'nin yayýn organýdýr.  
*The offical publication of Turkish Association of Petroleum Geologists*

Yýlda iki kez yayýnlanyýr.  
*Published two times a year.*

Yayýn dili Türkçe/Ýngilizcedir  
*Publication language is Turkish/English*

### **TPJD YÖNETÝM KURULU/TAPG EXECUTIVE COMMITTEE**

<b>Ýsmail BAHTÝYAR</b>	Baþkan/ <i>President</i>
<b>Erhan YILMAZ</b>	2. Baþkan/ <i>Vice President</i>
<b>A. Çetin GÜRCAN</b>	Yazman/ <i>Secretary</i>
<b>Cem KARATAÞ</b>	Sayman/ <i>Treasurer</i>
<b>Osman ER</b>	Üye/ <i>Member</i>
<b>Ahmet ÇAPTUÐ</b>	Üye/ <i>Member</i>
<b>M. Bülent ERCENGÝZ</b>	Üye/ <i>Member</i>

### **EDÝTÖR/EDITOR**

**Erhan YILMAZ**

### **TPJD ADINA SAHÝBÝ**

### **EXECUTIVE DIRECTOR**

**Ýsmail BAHTÝYAR**

### **YAZIÞMA ADRESÝ**

### **CORRESPONDENCE ADDRESS**

Ýzmir Cad. II, NO: 47/14 06440 Kýzýlay-ANKARA/TÜRKÝYE  
Tel : (90 312) 419 86 42 - (90 312) 419 86 43 Fax : (90312)285 55 60  
e-mail : tpjd@tpjd.org

---

## ÝNCELEME KURULU EDITORS

Ahmet GÜVEN	TPAO
Ahmet Sami DERMAN	TPAO
Ali SARI	AÜ
Alper KARADAVUT	TPAO
Asuman TÜRKMENOÐLU ODTÜ	
Atilla AYDEMÝR	TPAO
Baki VAROL	AÜ
Coþkun NAMOÐLU	TPAO
Erhan YILMAZ	TPAO
Fuat ÞAROÐLU	MTA
Hakký GÜCÜYENER	KARKÝM
Haluk ÝZTAN	TPAO
Ý. Ömer YILMAZ	ODTÜ
Ýbrahim ÇEMEN	O.S.U
Ýsmet SÝNCER	TPAO
Kadir DÝRÝK	HÜ
Kadir GÜRGEY	MERTÝ ENERJÝ
M. Arif YÜKLER	FRONTERA
Mehmet ALTUNBAY	BAKER HUGHES
Mehmet ÖZKANLI	TPAO
Mustafa Ali ENGÝN	TPAO
Namýk YALÇIN	ÝTÜ
N. Bozkurt ÇÝFTÇÝ	TPAO
Neil HURLEY	SCHLUMBERGER
Nuri TERZÝOÐLU	TPAO
Phil BASSANT	CHEVRON
Salih SANER	K.F.U.of P. and M.
Tansel TEKÝN	TPAO
Uðraþ IPIK	TPAO
Veysel IPIK	AÜ
Volkan Þ. EDÝGER	CUMHURBAÞKANLIÐI
Yücel YILMAZ	KHÜ
Zühtü BATI	TPAO

---

## Ö N S Ö Z

---

Bu sayýda sizlere ülkemiz petrol aramacýlýðý için sonderece önem arz ettiðine inandýðýmýz Karadeniz'deki petrol arama çalýþmalarý hakkýnda bir kaç hususu belirtmek istiyoruz.

Türkiye Petrol Jeologlarý Derneði, yarıý asýrlýk deneyiminin doðal sonucu olarak Karadeniz'in hidrokarbon arama, üretim ve tabýmacýlýðý açýsýndan önemini bilinci içerisinde Enerji Daðýtým Aðýnýn Merkezi" olma sürecini yaþayan ülkemiz, bu konuda sahip olduðu stratejik ve jeopolitik konum, tecrübe ve istikrar unsurlarýyla, her geçen gün daha da önem ve güven kazanmaktadır. Bununla beraber her yýl bütçede milyarlarca dolar yer tutan petrol ve doðal gaz giderlerimizin kendi öz kaynaklarýmýzca karþýlanabilmesi noktasýnda Karadeniz'in petrol ve gaz potansiyelinin de belirlenmesi büyük önem taþýmaktadır.

Son dönemde, özellikle ülkemizin sýnýrlarý içerisinde, Batý Karadeniz sularýnda gerçekleþtirilen keþifler, sürecin ilk olumlu sinyalleridir. Bu sürecin hýzlanmasý ve buna baðlý olarak ülkemizin komþu ülkelerle bilgi ve teknoloji alýþveriþinin artmasý, mevcut iþbirliði baðlarýnýn güçlenmesi, yeni iþbirliði olanaklarýnýn ortaya çýkarýlmasý son derece önemlidir. Ancak, bu iþbirliðindeki asýl hedef Karadeniz'e komþu olan tüm ülkelerle birlikte Karadeniz'in petrol potansiyelini ortaya çýkmak, bölge halký ortak çýkarlarý doðrultusunda kullanmaktýr.

Gururla belirtmek isteriz ki, ülkemiz bu hedefe yönelik faaliyetlerde diðer ülkelerle oranla bir adým öndedir. Petrol aramacýlýðýnýn doðasýnda bulunan risk ayný oranda deniz alanlarý için de mevcuttur. Ayný risk oranýna karþýn deniz alanlarýndaki arama yatýrýmlarý ise, kara alanlarýna oranla çok daha fazladýr. Bu nedenle, arama faaliyetlerinde ülke menfaatlerini ön planda tutarak uluslararası çok ortaklı faaliyetlerle riski paylaþmak akýlcý yoldur.

Deðerli yerbilimciler, Karadeniz baryndýrdýðý zengin kaynaklarýn yaný sýra kapalý bir deniz olma özellikle ile de çok hassas bir ekolojik dengeye sahiptir. Bu ekolojik dengeyi bozabilecek ekonomik faaliyetlerde maksimum güvenlik tedbirlerinin alýnmasý gelecek nesillere borcumuzdur.

Karadeniz derin deniz alanlarýnda 2010 yýlý ilk çeyreðinde baþlayacak olan sondajý arama faaliyetlerinin ülkemiz için hayýrlý olmasýný dileriz.

**TÜRKÝYE PETROL JEOLOGLARI DERNEÐÝ  
YÖNETÝM KURULU**



## ÝÇÝNDEKÝLER CONTENTS

<b>Batý Raman Sahasý Garzan Formasyonu'nun 3B Kýlcal Çatlak Modeli</b> <i>3D Fissure/Fracture Model of the Batý Raman Field, Garzan Formation</i> Ceyda Çetinkaya, Özlem Korucu, Yýldýz Karakeþ ve Serhat Akýn .....	.1
<b>Sismik Yorumda Hýzlar ve Derinlik Dönüpümü</b> <i>The Velocity in Seismic Interpretation and Depth Conversion</i> Atila Sefunç ve Cengiz Tolga Vur .....	.13
<b>Palynomorph and Foraminifer Content of the Lower Miocene (Aquitanian) Kavak Formation Outcropping in Burdur Area</b> <i>Burdur Alanýnda Yüzlek Veren Alt Miyosen (Akitaniyen) Kavak Formasyonu'nun Palinomorf ve Foraminifer Ýcerikleri</i> Mehmet Serkan Akkiraz, Funda Akgün ve Sefer Örçen .....	.31
<b>Türkiye Petrol Jeologlarý Derneði Bülteni Yazým Kurallarý</b> .....	.55
<b>Instructions to TAPG Bulletin Authors</b> .....	.57



## BATI RAMAN SAHASI GARZAN FORMASYONU'NUN 3B KÝLCAL ÇATLAK MODELÝ

### 3D FISSURE/FRACTURE MODEL OF THE BATI RAMAN FIELD, GARZAN FORMATION

Ceyda ÇETÝNKAYA, Özlem KORUCU<sup>2</sup>, Yýldýz KARAKEÇEVE Serhat AKIN<sup>3</sup>

<sup>1</sup> TPAO Üretim Daire Bþk., Söðütözü Mah. 2. Cad. No: 86, 06100, Ankara, TÜRKÝYE

<sup>2</sup> TPAO Araþtýrma Merkezi Daire Bþk., Söðütözü Mah. 2. Cad. No: 86, 06100, Ankara, TÜRKÝYE

<sup>3</sup> Petrol ve Doðalgaz Mühendisliði Böl., Orta Doðu Teknik Üniversitesi, Ankara, TÜRKÝYE

#### ÖZ

Bu çalýþma, Batý Raman aðýr petrol sahasýnýn doðal kýlcal çatlaklı rezervuar karakterini ortaya koymak amacýyla 3D yapýlmýþtýr. Batý Raman sahasýnda rezervuar olan Garzan Formasyonu'nun 3B Kýlcal Çatlak Modeli, karot ve log bilgileri kullanýlarak PETREL yazılımý ile oluþturulmuþ ve böylece dual porozite sistemine bir açýklýk getirilmeye çalýþlmýþtýr.

Çatlak karakterizasyonu çalýþmalarýný temeli, sedimentolojik ve jeolojik çalýþmalar kapsamýnda atýlmýþtýr. Saha genelini temsil edecek pekilde seçilen 17 adet kuyunun core scanner aleti yardýmýyla karot çatlak analizi (çatlak yoðunluðu ve çatlak açýklýðý) yapýlmýþtýr. Çatlak yoðunluðu ve çatlak açýklýðý deðerlerinin bulunduðu analitik ebitlikler kullanýlarak çatlak gözenekliliði ve çatlak geçirgenliði deðerleri hesaplanmýþtýr.

Ölçülen ve hesaplanan karot çatlak analizi sonuçları, çatlak duyarlılıký olan loglar ile ilþkilendirilip Yapay Sinir Aðlarý (Artificial Neural Network) ve Sequential Gaussian Simulation (SGS) yöntemleri kullanýlarak bütün sahaya daðýtýlmýþtýr. Bu daðýlýmlarý rezervuar fasiyeleri ile uygunluðu da göz önünde bulundurularak gerekli düzeltmeler yapýlmýþtýr.

Olupturulan 3B Kýlcal Çatlak Modeli, daha sonra, Ana Matriks Modeline aktarýlmýþtýr.

**Anahtar Kelimeler:** Batý Raman, Karot Çatlak Analizi, 3B Kýlcal Çatlak Modelleme, Yapay Sinir Aðlarý Yöntemi, Sequential Gaussian Simulation (SGS)

#### ABSTRACT

This study has been conducted in order to identify naturally fractured reservoir characteristics of Batý Raman heavy oil field. The 3D Fissure/Fracture Model of the Garzan Formation, which is the reservoir of the Batý Raman field, has been created with PETREL software by using core and log data for correct characterization of dual porosity system.

The base of fissure characterization studies has been carried out under sedimentologic and geologic studies. Core fissure analyses (fissure density and fissure aperture) of the chosen 17 wells, representing the whole field, have been carried out by using core scanner tool. Fissure porosity and fissure permeability values have been calculated by using analytical equations where fissure density and fissure aperture values were used.

Measured and calculated core fissure analysis results associated with fissure sensitivity logs have been distributed to the overall field by using Artificial Neural Network and Sequential Gaussian Simulation (SGS) methods. These distributions are also considered with the suitability of the reservoir facies, necessary corrections have been made.

The created 3D Fissure/Fracture Model, then, has been transferred to the Main Matrix Model.

**Keywords:** Batý Raman, Core Fissure Analyses, 3D Fissure/Fracture Model, Artificial Neural Network Method, Sequential Gaussian Simulation (SGS)

## Batý Raman Sahasý Garzan Formasyonu'nun 3B Kýlcal Çatlak Modeli

### GÝRÝP

Dünyadaki doðal çatlaklı rezervuarlar giderek daha önemli hale geldiðinden, modelleme ve simülasyon çalışmalarıýnda yeni yaklaþýmlar geliþtirilmesi gerekmektedir. Bu gereksinimi karþýlamak için de entegre bir çalýþmaya ihtiyaç duyulmaktadır.

Bu makale, çok disiplinli bir çalýþma ekibiyle hazırlanan Batý Raman Sahasý 3B jeolojik modelinin ikinci abamasý olan çatlak karakterizasyonu çalýþmalarýndan oluþmakdadýr.

Amaç, sahanýn rezervuar birimi olan Garzan Formasyonu'nun dual porozite sistemini, karot ve log verilerini kullanarak üç boyutlu olarak modelllemektir.

Dual poroziteli rezervuarlar, matriks porozite ve çatlak sistemlerinin bir arada bulunduðu rezervuarlardadýr.

Arslan ve dið. (2007) çatlaklarýn, rezervuar matriks porozitesi ve permeabilitesini altere etme derecesine göre doðal çatlaklı rezervuarlarý dört tipte tanýmlamýþlardır. Buna göre, Batý Raman Sahasý, matriksin iyi bir birincil poroziteye sahip olduðu, çatlaklarýn da rezervuar permeabilitesine destek verdiði ve petrolün hem matrikste hem de çatlaklarda kapanlandýðý üçüncü tip rezervuarlardandadýr.

Batý Raman Sahasý 3B entegre jeolojik model çalýþmasý, yukarıda bahsedilen rezervuar karakteri göz önüne alýnarak yapýlmýþtýr (Türkmen ve Çetinkaya, 2008).

### KÝLCAL ÇATLAK MODELÝ ÝÇÝN VERÝ HAZIRLIÐI

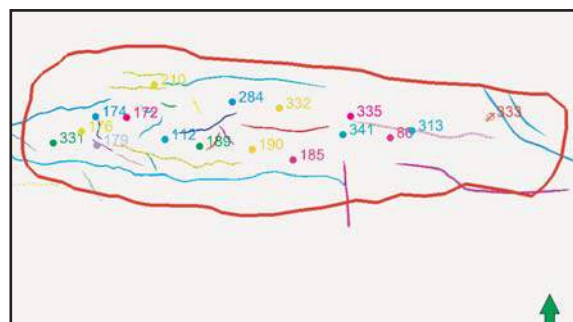
Kýlcal boyuttaki çatlaklarý modellemedeki temel sorun imaj loglarýndan veri elde edilememesi, kýlcal çatlaklara doðrudan ve niceł tanýmlamalar yapýlamamasýdýr. Eldeki tek kul lanýlabilir veri, karot tanýmlamalarýndan gelen veridir.

#### Karot Çatlak Analizi Verilerinin Hesaplanması ve Petrel'e Aktarýlmasý

Batý Raman Sahasý'nda 86, 112, 172, 174, 176, 179, 185, 189, 190, 210, 313, 284, 331, 332, 333, 335 ve 341 numaralý kuyularda karot çatlak analizi yapýlmýþtýr (Þekil 1).

Her bir kuyudan alýnan karot örneklerinin, Araþtýrma Merkezi'nde karot tarayýcý yardýmýyla, çatlak yoðunluklarý sayýlmýþ, çatlak açýklýklarý ölçülmüş ve bu iki veriden yola

çýkýlarak çatlak gözeneklilikleri ve çatlak geçirgenlikleri teorik olarak hesaplanmýþtýr (TPAO, 2007 a, b; Van Golf-Racht, 1982).



Þekil 1. Saha sýnýrlarý içerisinde karot çatlak analizi yapýlan 17 kuyunun lokasyonu.

Çatlak yoðunluðu (fissure intensity),  $p_f$ , belli derinlik aralýðýndaki çatlak sayýsýdýr. Karot taramasý, karotun bir yüzünden yapýldýðý durumlarda çatlak sayýsý 2 ile çarpýlmýþtýr.

Çatlak açýklýðý (fissure aperture),  $a_f$ , sayýlan çatlaklar üzerinde farklı noktalardan yapýlan çatlak açýklýðý ölçümelerinin belirli bir derinlik aralýðýndaki ortalama deðeridir.

Çatlak gözenekliliði (fissure porosity),  $\phi_f$ , çatlak yoðunluðu ve çatlak açýklýðý verilerinden aþaðýdaki formül yardımýyla hesaplanmýþtýr:

$$\phi_f = \frac{a_f}{(2/p_f * 1000 + a_f)} * 100 \quad (1)$$

Çatlak geçirgenliði (fissure permeability),  $K_f$ , çatlak açýklýðý ve çatlak gözenekliliði verilerinden aþaðýdaki formül yardımýyla hesaplanmýþtýr:

$$K_f = 0.000833 * (a_f * 1000)^2 * \phi_f / 100 \quad (2)$$

Verilerin Petrel'e yüklenmesi abamasýnda analitik eþitliklerden elde edilen veriler, log verisi gibi düþünülerek programa yüklenmiþtir.

#### Veri Giribi ve Kontrolü

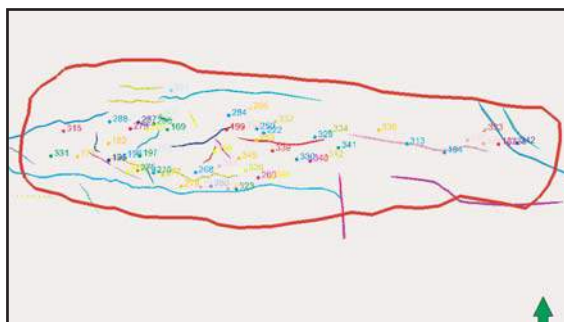
Batý Raman kýlcal çatlak modeline baþlanmadan önce log verilerinin kalite kontrolü yapýlmýþ, doðru olmayan okuma deðerlerinin hesaplamalarý etkilemesi önlenmiþtir.

Karot analizinden gelen ve log verisi gibi yüklenen çatlak yoðunluðu, çatlak açýklýðý, çatlak gözenekliliði ve çatlak geçirgenliði deðerlerinin 0.1 m. örneklemeye aralýðý ile interpolasyonu yapýlmýptýr. Böylece, gerçek okuma deðerleri ve derinlik aralýklarý korunarak, okuma deðerlerinin bulunmadýðý derinlikler için interpolasyon ile deðer atanmýptýr.

### Log Seti Seçimi

17 adet kuyuda bulunan karot çatlak analizi verilerini daha fazla kuyuya yayabilmek amacıyla, çatlak yoðunluðu, çatlak açýklýðý, çatlak gözenekliliði ve çatlak geçirgenliði bilgileri ile loglar arasında bir iliþki bulmak ve bu iliþkiyi kullanarak karot analizi olmayan fakat logu olan kuyularý kullanarak çatlak bilgisini sahanýn her köpesine taþýyabilmek için çatlak duyarlılıkýðý olan kaliper (CALI), sonik (DT), densite (RHOB), nötron (NPHI) loglarýndan bir set oluşturulmuştur.

Ancak sahadada log verisi bulunan 321 adet kuyudan sadece 57 tanesinde CALI-DT-RHOB-NPHI loglarý birlikte bulunmaktadır (Þekil 2).



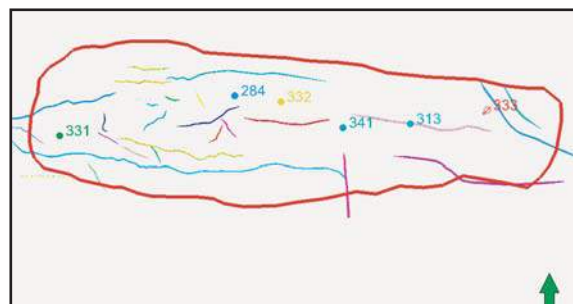
**Þekil 2.** CALI-DT-NPHI-RHOB loglaryý içeren 57 adet kuyunun sahadaki daðýlmýý.

Hem karot çatlak analizi yapýlan ve hem de seçilen log setini içeren kuyu sayýsýnýn ise 6 adet olduğunu görülmesi üzerine (Þekil 3), karot çatlak analizi yapýlan 17 adet kuyudan geriye kalan 11 kuyu için eksik olan NPHI ve RHOB loglarý türetilmeye karar verilmüptir.

### NPHI Logu Türetilmesi

Tablo 1'den de görüleceði üzere NPHI logu türetmek için, yüksek korelasyon kat sayýlarýndan dolayý kaliper ve sonik loglarý kullanýlarak, Yapay Sinir Aðlarý (Artificial

Neural Network) yöntemi uygulanmýptýr.



**Þekil 3.** CALI-DT-NPHI-RHOB log setini içeren ve karot çatlak analizi bulunan kuyular.

**Tablo 1.** Kaliper-Sonik-Nötron loglarý için korelasyon katsayýlarý.

	DT	CALI	NPHI
DT	1.0000	0.5219	0.8751
CALI	0.5219	1.0000	0.5335

Sahanýn genelinde yapılmış uygulama için CALI-DT-NPHI loglarýný ortak içeren 57 adet kuyu seçilmiş, girdi olarak CALI-DT loglarý ve çýktý olarak NPHI logu alýnmýþ ve bir öðreti elde edilmiştir.

Daha sonra, CALI-DT loglarýný içeren 228 adet kuyu seçilmiş, Neural Net'ten elde edilen öðreti de kullanýlarak bu 228 adet kuyunun her biri için NPHI logu türetilmiştir.

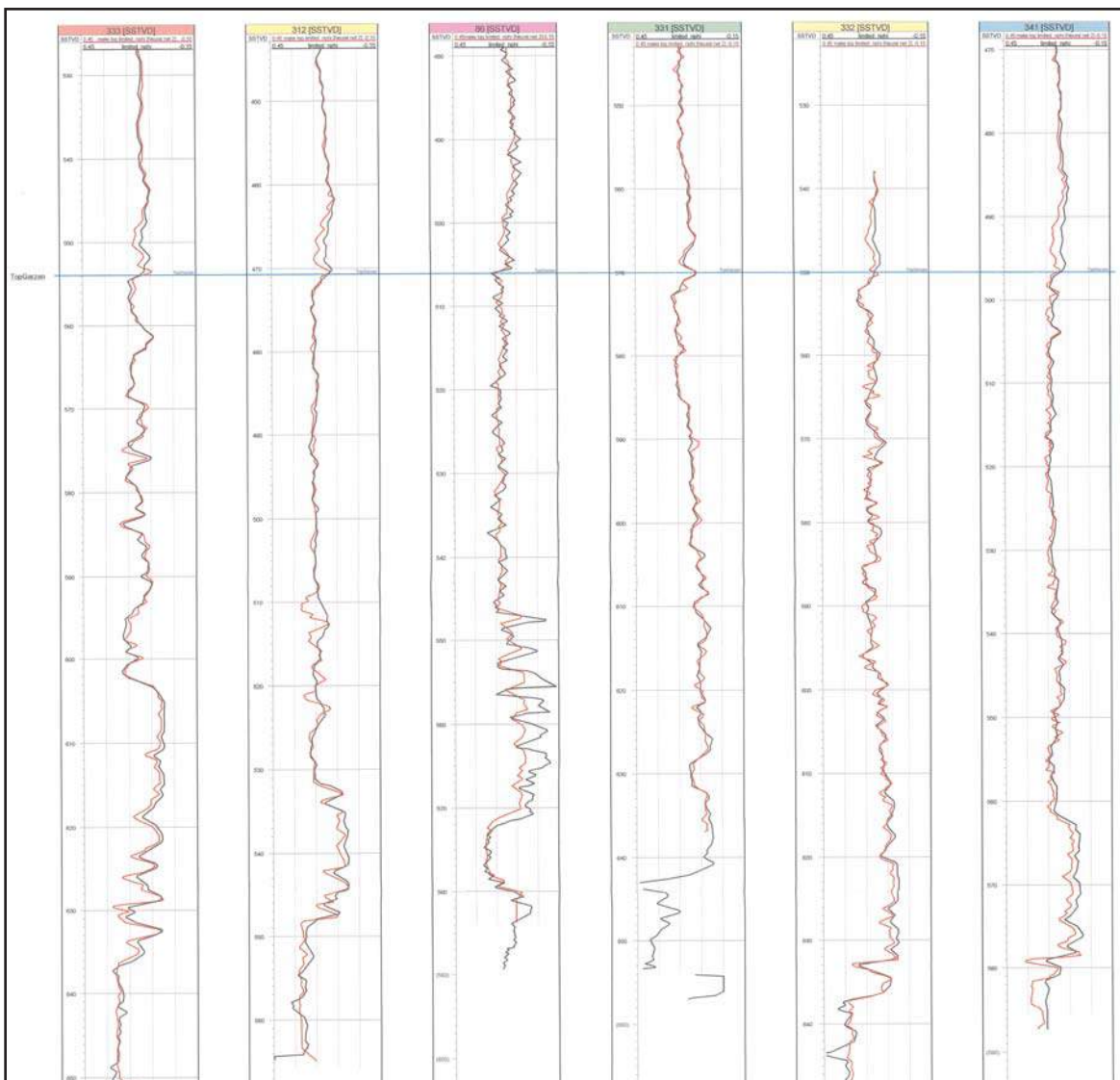
Bu yöntemle, orjinal NPHI log verisi bulunan kuyulara da öðreti yapılmýptýr. Ýleride yapýlcak iþlemlerde NPHI logu kullanýlýrken, kuyulardan alýnan gerçek deðerlerden uzaklaşmamak için, hem orjinal NPHI logu hem de öðretilen NPHI logu bulunan kuyularda orjinal logun kullanýmýna gidilmiştir. Sonuç olarak elimizde olan 78 tane NPHI kuyu logu, 228 adede çýkarýlmýptýr.

Öðretilen loglarýn orjinali ile uyumlaryna Þekil 4'te örnek gösterilmiştir.

### RHOB Logu Türetilmesi

RHOB logu türetilmesinde NPHI logu için uygulanan yöntem, düþük korelasyon kat sayýlarý nedeni ile uygulanamamýptýr (Tablo 2). Bunun yerine Gardner's Yaklaşýmý ile RHOB logu türetme yoluna gidilmiştir (Ayon and Stewart, 1997; Gardner ve dið., 1974).

## Batý Raman Sahasý Garzan Formasyonu'nun 3B Kýlcal Çatlak Modeli



**Þekil 4.** Neural Network yöntemiyle öðretilen NPHI logları (kýrmýzý) ile orjinalleri (siyah) arasýndaki uyuma örnekler.

**Tablo 2.** Kaliper-Sonik-Densite logları için korelasyon katsayıları.

logenun dahil edilmemesine karar verilerek CALI-DT-NPHI logları ile iþleme devam edildiðitir.

### Garzan Formasyonu Fasiyes Ayýrtlamasý

1994 ýýlýnda Beicip-Franlab tarafýndan yapýlan çalýþmada Garzan Formasyonu 8 ayrı fasiyes olarak tanýmlanmýþtýr. Daha sonra, 2006-2007 ýýllarýnda TPAO Batý Raman Sahasý, Petrol Üretimini Artýrma Projesi kapsamýnda fasiyes ayýrtlama çalýþmasý yeniden Korucu ve Alper (2007), DT, NPHI ve LLD logları kullanarak yaptýklarý cluster analiziyle de Garzan Formasyonu'nun, Beicip-

RHOB logu olmayan her bir kuyu için Gardner's yaklaþmý ile pseudo-RHOB logları oluþturulmuþ ve asýllarý ile karþýlaþtýrlýlmýþtýrapýlmýþtýr. Ancak, karþýlaþtýrlýlan loglar birbiri ile uyum saðlamadýðý için, seçilen log setine RHOB

logunu dahil edilmemesine karar verilerek CALI-DT-NPHI logları ile iþleme devam edildiðitir.

Franlab çalýþmasý ile benzer sonuçlar verdiðini belirtmíþlerdir. Tüm bu çalýþmalar sonucunda, Garzan Formasyonu üstten alta doðru sýrasýyla H1/F, K1/L1, T, L2/G2, U, G3a, G3 ve E fasiyesi olarak ayýrtlanmýþtýr.

## KILCAL ÇATLAK MODELÝNÝN OLUÞTURULMASI

### 3B Grid Oluþturulmasý

Saha geneline daðýtýlacak çatlak özelliklerinin ana modele uygun olmasý için, ana modelin benzeri olacak þekilde 3B grid oluþturulmuştur.

Karot analizi yapýlan kuyular, sahayý temsil edecek þekilde seçildiði için; diðer bir deyiþle, kuyu seçiminde fasiyes daðýlmý göz önüne alýnmadýý için Garzan Formasyonu tek bir zon olarak çalýþýlmýþtýr. Bu zonu oluþturmak amacýyla H1/F fasiyesinin üst yüzeyi (Garzan Formasyonu üstü) ile E fasiyesinin (Garzan Formasyonu tabaný) alt yüzeyi iþleme konumþtutur.

Sonuç olarak X, Y ve Z yönlerinde 192x71x191 adet 3B grid oluþturulmuş ve her biri 100x100x1 olan 2.603.712 adet grid blok ile çalýþýlmýþtýr.

### Çatlak Ölçümlerinin Loga Dönüþtürülmesi

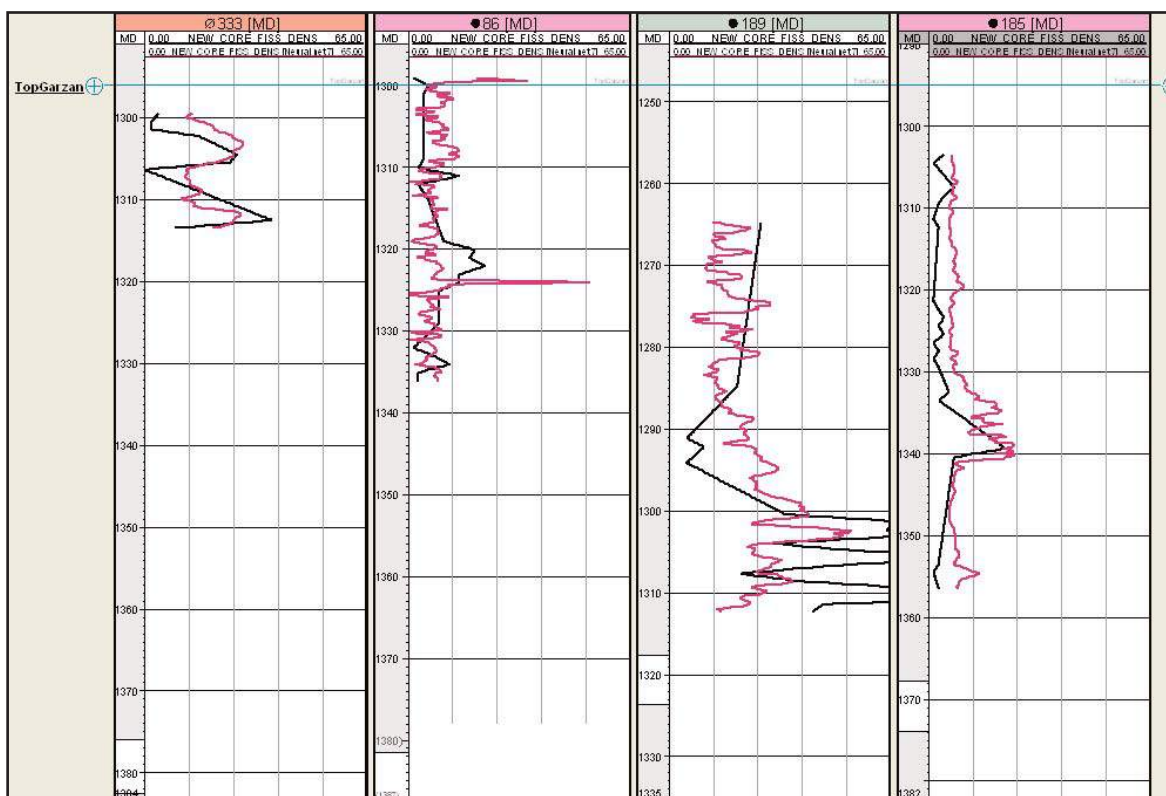
Karot çatlak analizi verilerini, loga dönüþturmek amacıyla yine Neural Network yönteminden yararlanýlmýþtýr.

Bunun için girdi olarak karot çatlak analizi yapýlan 17 kuyu, CALI-DT-NPHI log seti ve çýktý olarak birer birer karot çatlak analizi verileri seçilerek öðreti yapýlmýþtýr. Bu öðreti sonucunda karot çatlak analizi yapýlan 17 kuyuda çatlak yoðunluðu, çatlak açýklýðý, çatlak gözenekliliði ve çatlak geçirgenliði derinliðe karþý devamlý data yani bir log olarak elde edilmiþtir (þekil 5).

### Çatlak Bilgisinin Neural Network Yöntemiyle Tüm Sahaya Yayýlmasý

#### Çatlak Bilgisinin Loglar Yardýmýyla Diðer Kuyulara Öðretilmesi

Neural Network iþlemi sonucunda elde edilen 17 kuyunun çatlak yoðunluðu, çatlak açýklýðý, çatlak gözenekliliði ve çatlak geçirgenliði logları birer girdi (estimation model) olarak kullanýlmýþtýr. Böylece, CALI-DT-NPHI log seti bulunan 228 adet kuyuya çatlak yoðunluðu, çatlak açýklýðý, çatlak gözenekliliði ve çatlak geçirgenliði logları öðretilmiþtir.



þekil 5. Karot çatlak analizi verilerinin loga dönüþtürülmesi.

## **Batý Raman Sahasý Garzan Formasyonu'nun 3B Kýlcal Çatlak Modeli**

Öðretilen çatlak loglarýnýn, kuyu davranýþý olarað ve bazý fasiyesler bazýnda gerçekleri iyi yansýtmadýðý görülmüþtür. Bunun üzerine, bu yöntemin kullanýlmamasýndan vazgeçilerek varolan orjinal çatlak bilgisi (logu) ile çalýþýlmaya karar verilmüptir.

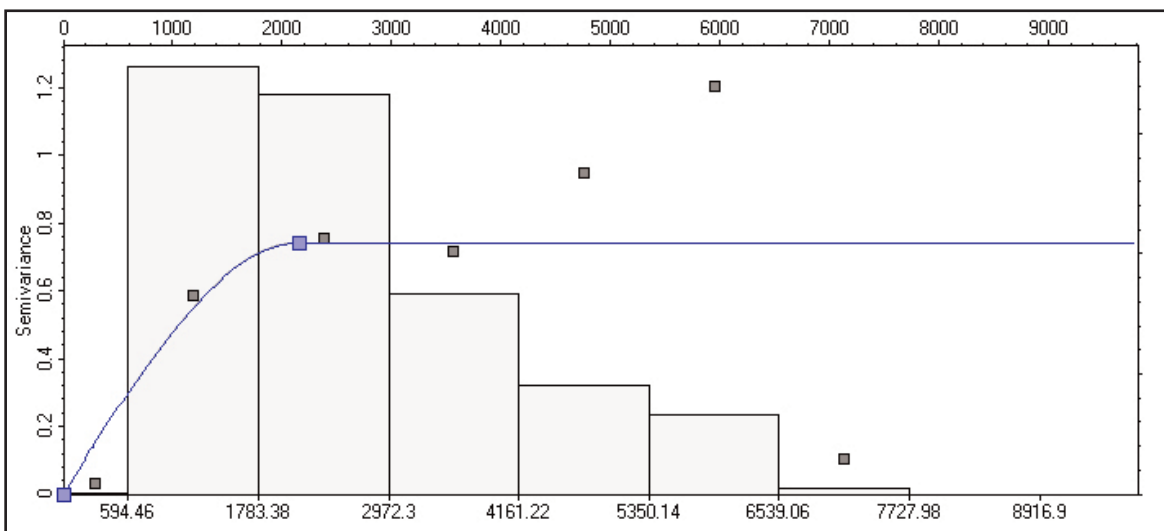
### **Karot Çatlak Bilgisinin (17 kuyu) Sahaya Yayýlmasý**

Bu bölümde, karot çatlak analizi yapýlan 17 kuyu ile çalýþýlmýptýr. Upscale edilerek kuyularda gözlenen üretim bilgileriyle katkı modele aktarýlan çatlak yoðunluðu, çatlak açýklýðý, çatlak gözenekliliði ve çatlak geçirgenlikleri olup turulmuþtut (Þekil 6-8).

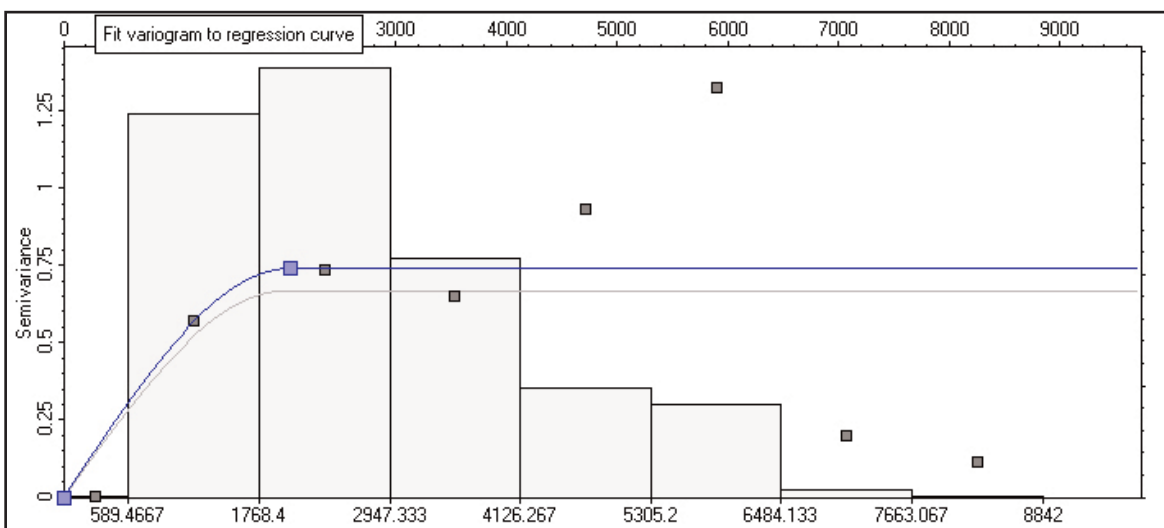
Olup turulan variogram modelleri baz alýarak, çatlak bilgisi Sequential Gaussian Simulation yöntemi ile sahaya daðýtýlmýptýr. Her bir çatlak logu için 20'per adet realization yapýlmýþ, bu realizationlardan histogramý en doðru ve sahayý en iyi karakterize eden daðýlýmlar seçilmüptir (Þekil 9 ve 10).

### **Fissure Index Map**

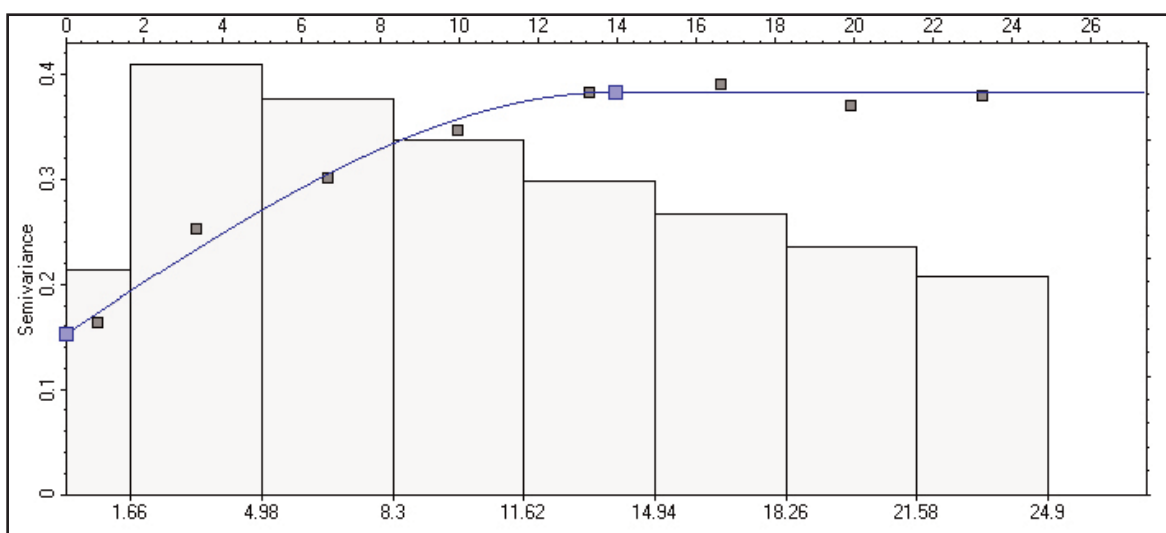
Çatlak karakterizasyonu çalýþmalarýna katmak amacýyla, kuyularýn üretim dübüm hýzý, GOR artýþ hýzý, kuyudan ilk gaz gelip ile maksimum gaz geliparasýnda geçen zaman ve kuyunun maksimum debi deðeri para-



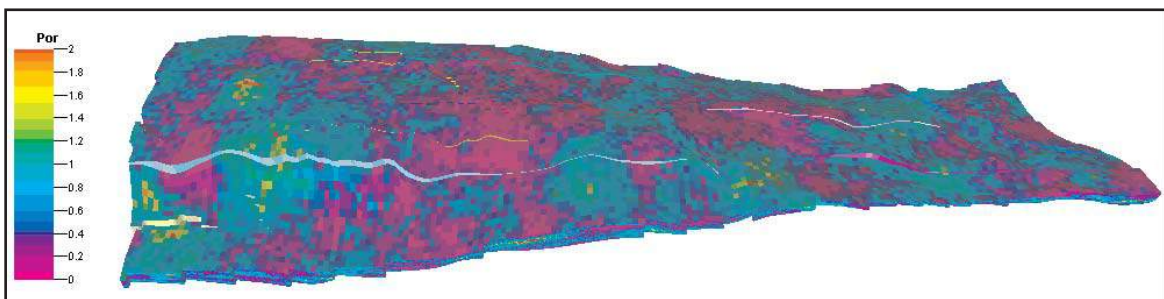
**Þekil 6.** Çatlak yoðunluðunun major yönündeki variogram modeli.



**Þekil 7.** Çatlak yoðunluðunun minor yönündeki variogram modeli.



**Þekil 8.** Çatlak yoðunluðunun dikey yöndeki variogram modeli.



**Þekil 9.** Çatlak gözenekliliði daðýlmýný gösteren model.

metrelerinin kullanýlarak, saha geneli için, istatistiksel bir daðýlmýla oluþturulan çatlaklanma haritasýdýr (Þekil 11) (Babadaðý ve dið., 2008).

#### Çatlak Modelinin Ana Modele Aktarýlmasý

Çatlak modeli oluþturulurken, kullanýlan jeolojik 3B gridde tek zon kullanýmý olduðu için, ana model ile çatlak modeli arasýnda X ve Y yönlerinde uyum olsa da, Z yönünde grid blok sayýsýndaki deðiþiklik sebebiyle uyum yakalanamamýþtýr. Bu nedenle, çatlak modeli oluþturmak için uygulanan yöntemler ana model üzerinde tekrarlanmýþtýr.

Karot çatlak analizi yapýlan 17 adet kuyudan herhangi biri T-U-E zonlarýný kesmediðinden, bu zonlar için programýn herhangi bir tahmin yapmasýna veya deðer atamasýna izin verilmemiþ; böylece çatlak daðýlmý güvenilirliðinin en yüksek seviyede olmasý saðlanmýþtýr.

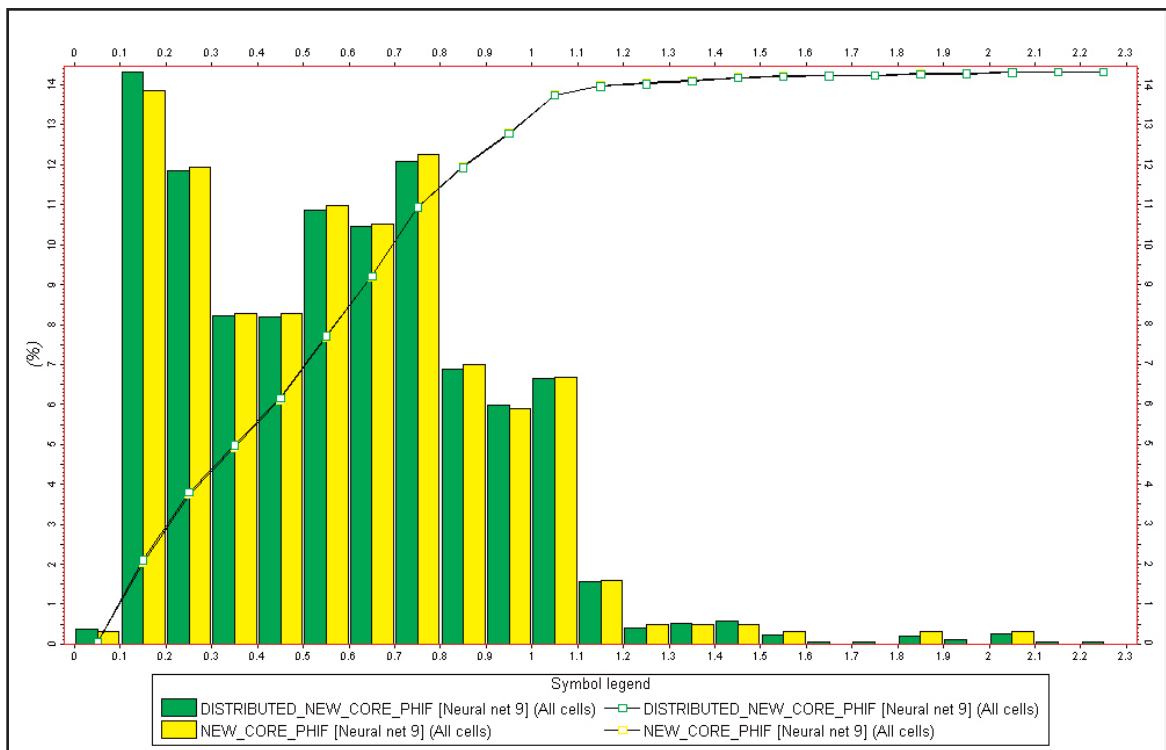
Kýlcal çatlak modeli, ana modele aktarýlýrken de, tüm zonlar tek bir zon gibi

düþünürek SGS iplemi yürütülmüþtür.

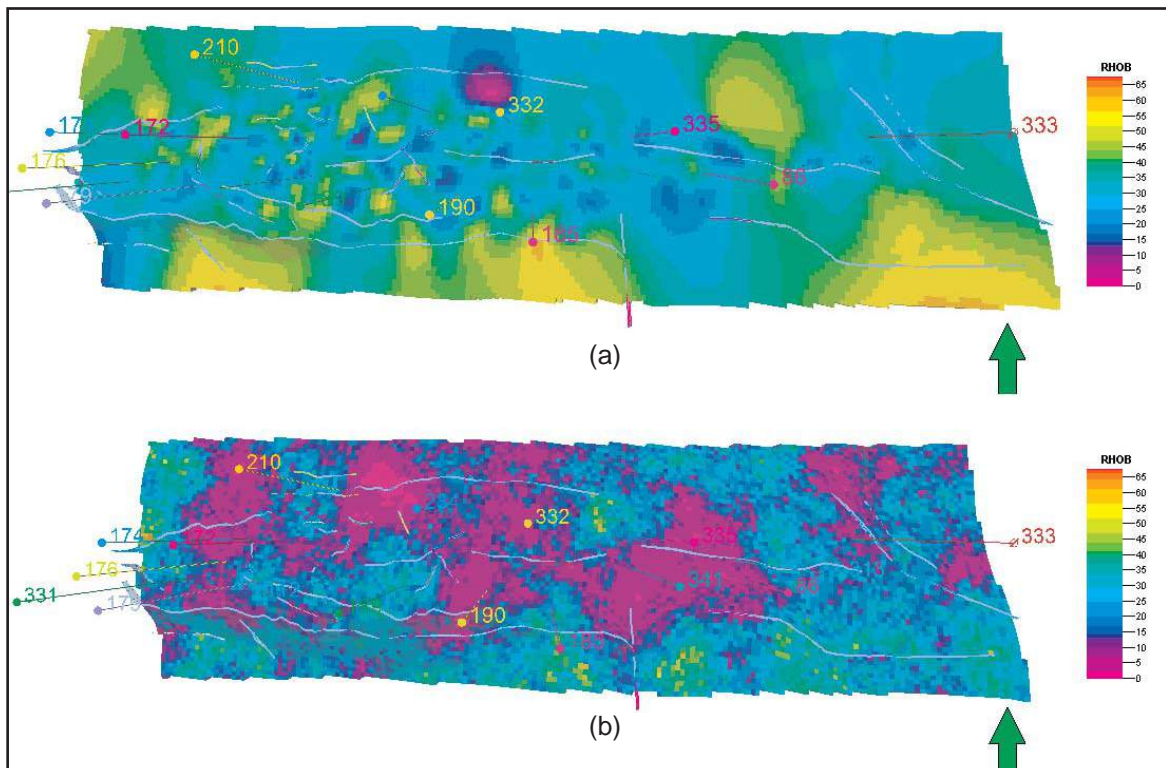
Veri analizi kýsmýnda filtrelenerek dýþparýda býrakýlan T ve U fasiyeslerinin çatlak yoðunluðu, çatlak gözenekliliði ve çatlak geçirgenliði modelleri için  $H1/F$  fasiyesinin modelleri baz alýnmýþtýr. Buna göre  $T$  fasiyesinin çatlak modeli için  $H1/F$  fasiyesinin çatlak modellerinin her birinde ortalama deðer 1/10 ile çarpýlmýþtýr.  $T$  fasiyesinden daha kesif olduðundan  $U$  fasiyesi için bu deðer 1/20'dir.

Baty Raman sahasýnda çatlak yoðunluðun yüksek olduðu yerlerde çatlak gözenekliliðinin ve buna baðýlý olarak da geçirgenliðinin yüksek olduðu, çatlak geçirgenliðinin yüksek olduðu yerlerde de çatlak açýklýðýnýn yüksek olduðu düþüncesiyle hareket edilmiþtir. Tablo 3'te de bu parametrelerin birbirleriyle olan korelasyon katsayýlarý görülmektedir. Böyle bir baðýntýdan ve yüksek korelasyon katsayýlarýndan yola çýkýlarak SGS ile birlikte "collocated co-kriging" yöntemi de kullanýlmýþtýr.

**Batý Raman Sahasý Garzan Formasyonu'nun 3B Kýlcal Çatlak Modeli**



**Şekil 10.** Orjinal çatlak gözenekliliði deðerleri ile SGS yöntemiyle daðýtýlan çatlak gözenekliliði deðerlerinin çakýptýrýlmýþ histogramý.

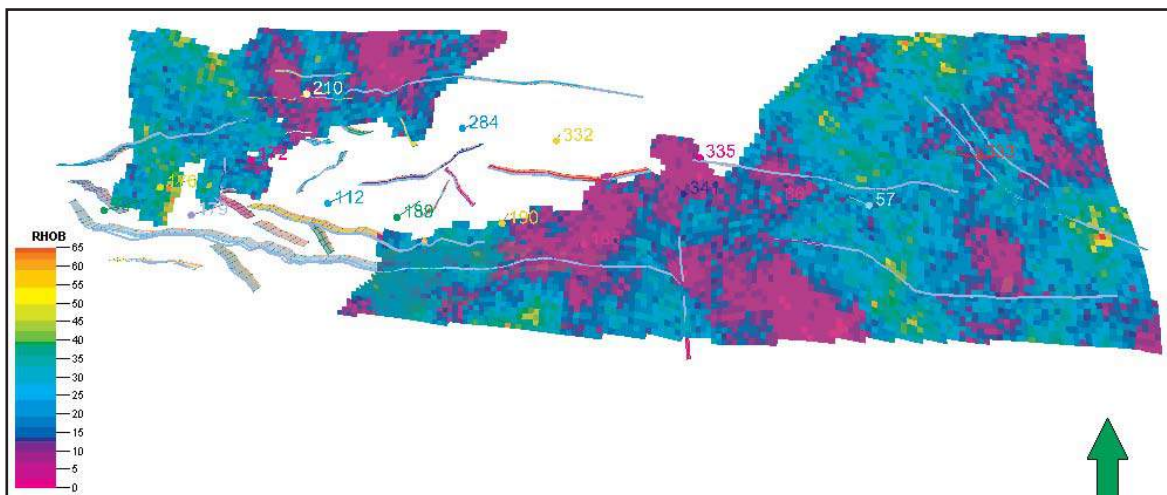


**Şekil 11.** (a) Fissure index haritasýnýn (b) çatlak yoðunuþluðu daðýlýmý ile karþýlaþtýrýlmasý.

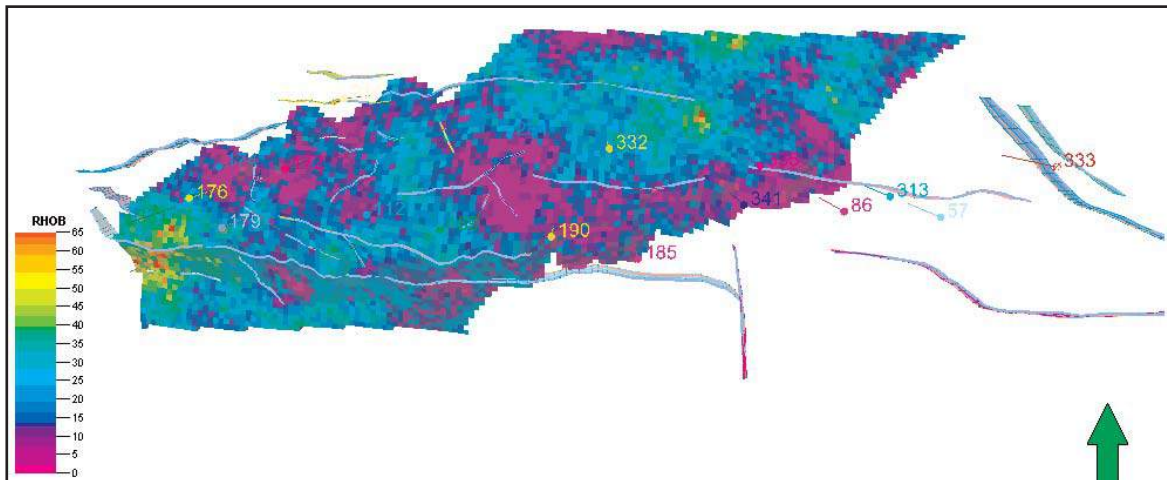
**Tablo 3.** Batý Raman sahasýnda karot çatlak analizi parametrelerinin birbirleriyle olan korelasyonları.

	Çatlak Yoðunluðu	Çatlak Açýklýðý	Çatlak Gözenekliliði	Çatlak Geçirgenliði
Çatlak Yoðunluðu	1.0000	0.0555	0.9738	0.7795
Çatlak Açýklýðý	0.0555	1.0000	0.2104	0.5159
Çatlak Gözenekliliði	0.9738	0.2104	1.0000	0.887
Çatlak Geçirgenliði	0.7795	0.5159	0.887	1.0000

Sonuç olarak, çatlak gözenekliliði Pekil 12, 13, 14, 15 ve 16'da çatlak yoðun- daðýtlýrken çatlak yoðunluðu; çatlak geçir- luðu daðýylýmlarý fasiyes bazýnda görülmekte- genliði daðýtlýrken çatlak gözenekliliði; çatlak dir. Buna göre, L2/G2 fasiyesi, çatlaklan- açýklýðý daðýtlýrken de çatlak geçirgenliði ikin-manýn en fazla görüldüðü fasiyestir. cil baðýl parametre olarak alýnmýþtýr. Böylece yapýlan daðýylýmlarda çatlak parametrelerinin birbirleriyle uyumlu olmalarý da saðlanmýþtýr.

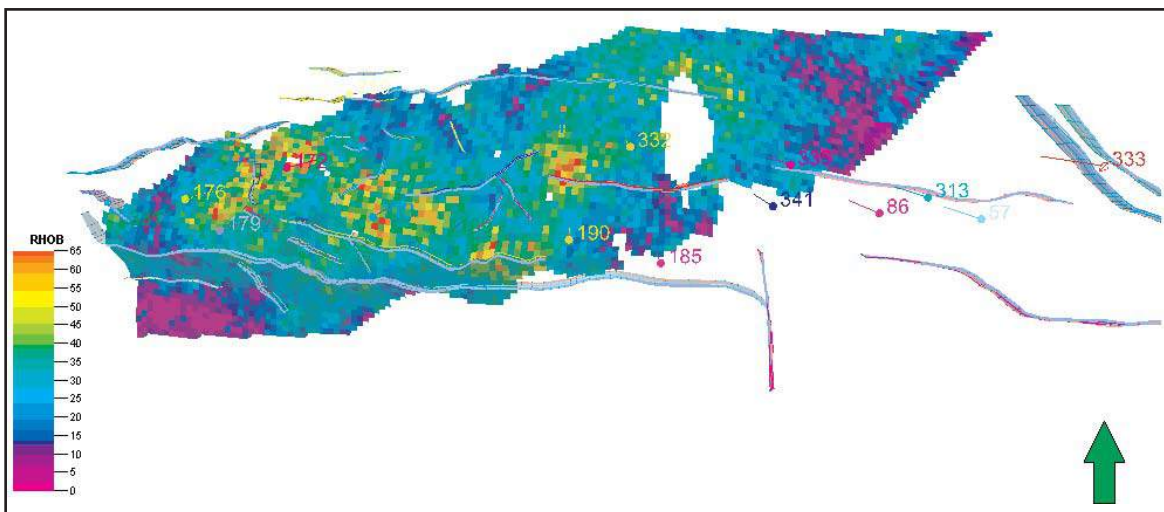


**Pekil 12.** H1/F fasiyesi çatlak yoðunluðu daðýylým modeli.

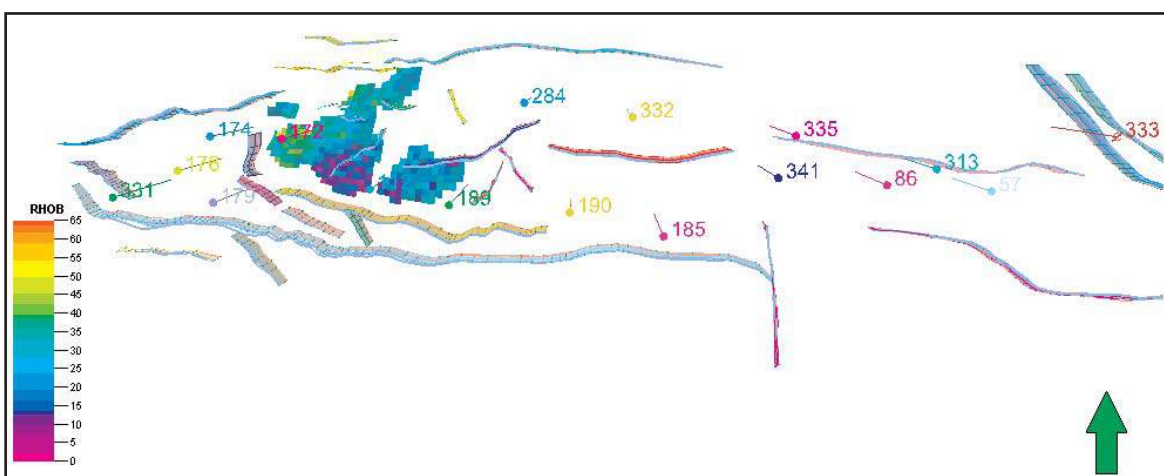


**Pekil 13.** K1/L1 fasiyesi çatlak yoðunluðu daðýylým modeli.

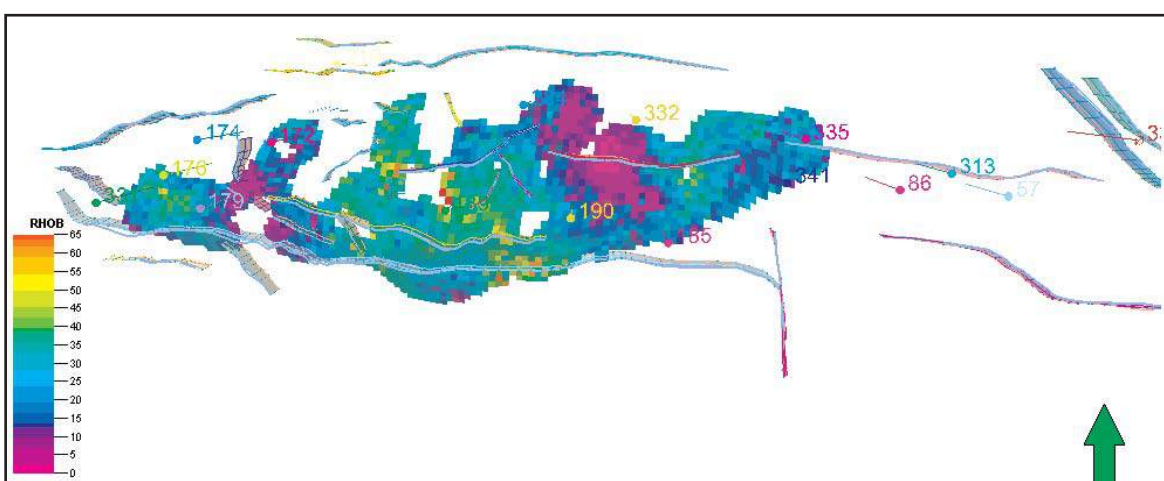
**Batý Raman Sahasý Garzan Formasyonu'nun 3B Kýlcal Çatlak Modeli**



**Þekil 14.** L2/G2 fasiyesi çatlak yoðunluðu daðýlým modeli.



**Þekil 15.** G3a fasiyesi çatlak yoðunluðu daðýlým modeli.



**Þekil 16.** G3 fasiyesi çatlak yoðunluðu daðýlým modeli.

## SONUÇLAR

1. Çatlak Modeli olup turulmaya baþlanmadan önce, karot çatlak analizi sonuçlarıýndan elde edilen çatlak yoðunluðu ve çatlak açýklýðý deðerlerinden çatlak gözenekliliði ve çatlak geçirgenliði deðerleri elde edilmiptir.

2. 17 kuyudan elde edilen karot çatlak analizi parametrelerini, "Yapay Sinir Aðlarý-Neural Network" yöntemi ile tüm sahaya yaymak için, çatlak duyarlılıkýðý olan CALI-DT-NPHI loglarıýndan oluþan bir log seti oluþturulmuþtur. Ancak NPHI logunun yetersiz sayýda olmasýndan dolayý, öncelikle, CALI-DT loglarıýndan Neural Network yöntemi ile eksik olan kuyularda NPHI logu türetilmüptir. Ancak bu yöntemle yapýlan çatlak daðýlýmýnýn bazý fasiyeslerde ve kuyu davranışýþlarýnda gerçekleri iyi yansýtmadýðý görülmüptür.

3. 17 adet kuyuda karotlardan elde edilen çatlak bilgisi ile çalýþýlmaya karar verilmiş ve upscale edilip modele aktarýlan çatlak loglarıýnýn, majör, minör ve dikey yönlerde variogram modelleri bulunmuş, SGS yöntemi ile sahaya daðýtýlmýþlardır.

4. Çatlak modeli oluþturulurken, kullanýlan jeolojik 3B gridde tek zon kullanýmý olduðu için, ana model ile çatlak modeli arasýnda X ve Y yönlerinde uyum olsa da, Z yönünde grid blok sayýsýndaki deðiþiklik sebebiyle uyum yakalanamamýþtýr. Bu nedenle, çatlak modeli oluþturmak için uygulanan yöntemler ana model üzerinde tekrarlanmýþtýr.

## KATKI BELÝRTME

Yazarlar, bu bildirinin yayýnlanmasına izin veren Türkiye Petrolleri Anonim Ortaklýðý'na (TPAO) teþekkürlerini sunarlar.

## REFERANSLAR

- Arslan Ý., Akýn S., Karakeçé Y. ve Korucu Ö., 2007, Is Batý Raman Oil Field a Triple Porosity System?: SPE 111146, presented at the 2007 SPE/AGE Reservoir Characterization and Simulation Conference, Abu Dhabi, U.A.E.
- Ayon, K. D. and Stewart R. R., 1997, Predicting Density Using Vs And Gardner's Relationship: CREWES Research Report, Volume 9.
- Babadaðý T., Þahin S., Kalfa U., Çelebioðlu D., Karabakal U. ve Topgüder N. N., 2008, Development of Heavy Oil

Fractured Carbonate Batý Raman Field: Evaluation of Steam Injection Potential and Improving Ongoing CO<sub>2</sub> Injection: SPE 115400, presented at the 2008 SPE Annual Technical Conference and Exhibition, Denver, Colorado, USA.

Beicip-Franlab, 1994, Batý Raman Field EOR Project, Phase II, Geological Model: TPAO, Üretim Daire Bþk., Rapor No: 153-1475.

Gardner, G. H. F., Gardner, L .W. and Gregory, A.R., 1974, Formation Velocity-The Diagnostic Basic For Stratigraphic Traps: Geophysics, Vol. 39, No: 6, pp. 770-780.

Korucu, Õ. ve Alper, M. Z., 2007, Üretim Sahalarýnda Cluster Analizi Töntemi ile Rezervuar Birimlerin Tesbit Edilmesi: B. Raman, Silivanka Sinan ve Raman Sahalarý Uygulamalarý: 16. Uluslararası Petrol ve Doðalgaz Kongresi (IPET-GAS'07), Ankara, Türkiye.

TPAO, 2006, Batý Raman Sahasý, Petrol Üretimini Artýrma Projesi, Ýlerleme Raporu-2: TP-URT-BR-06/007.

TPAO, 2007a, Batý Raman Sahasý, Petrol Üretimini Artýrma Projesi, Ýlerleme Raporu-3: TP-URT-BR-07/001.

TPAO, 2007b, Batý Raman Sahasý, Petrol Üretimini Artýrma Projesi, Ýlerleme Raporu-4: TP-URT-BR-07/002.

Türkmen, T. ve Çetinkaya, C., 2008, Batý Raman Sahasý 3D Rezervuar ve Çatlak Modelleme Çalýþmasý: TPAO, Üretim Daire Bþk., Rapor No: 237-2274

Van Golf-Racht, T., 1982, Fundamentals of Fractured Reservoir Engineering: Elsevier Science Ltd.



## SÝSMÝK YORUMDA HIZLAR VE DERÝNLÝK DÖNÜÞÜMÜ

### THE VELOCITY IN SEISMIC INTERPRETATION AND DEPTH CONVERSION

Atila SEFUNÇ ve Cengiz Tolga VUR

ZUEITINA OIL COMPANY, Tripoli, LIBYA

#### ÖZET

Son yýllarda, gelipen veri iþlem metotlary sismik hýzlarýn daha hassas tanýmlanabilmesi ve sismik yorumcunun yapýsal ve stratigrafik korelasyon iþleminde desteðinin alýnmasýna olanak vermektedir. Hidrokarbon aramacýlýðýnda kullanýlan farklý disiplinlerin bapýnda, jeofizik yöntemlerden en yaygýn olarak kullanýlan sismik yansýma yöntemidir. Çunkü bu metot kuyu bilgilerinin temsil edemeyeceði yeraltı birimleri hakkýnda 3 boyutlu bilgi sahibi olunmasýna olanak saðlar. Ancak, bu yöntem zaman boyutunda çalýþmakta ve elde edilen bilgilerin jeolojik açýdan anlam kazanmasý için derinlik boyutuna dönüþürülmesi gerekmektedir. Sismik yansýma yönteminden elde edilen zaman boyutundaki bilgiler, yeraltı hýz bilgisi desteði ile birleþtirilerek derinlik dönüpümü gerçeklestirilir ve böylece jeolojik birimler olarak ifade edebilme olanaðý elde edilir. Ancak, bunun için doðru hesaplanmýp hýz bilgisine ihtiyaç vardýr. Bu sebeple yeraltındaki formasyonlarýn hýz bilgisinin bir þekilde tanýmlanmasý gereklidir. Sismikte kullanýlan birden fazla hýz bilgisi vardýr. Bu hýzlardan hangisinin derinlik dönüpümünde kullanmasý gerektiðinin belirlenmesi gerekmektedir. Hýz bilgisi devreye girdiði zaman bu problem daha da karmaþýk bir hal alýr. Günümüzde hýz bilgisi üç farklý yolla elde edilir. Bunlar, Sismik verinin veri iþlem aþamasýnda elde edilen yýðma hýzlarý (RMS hýzlarý), Petrol, gaz amaçlý açýlan kuyular dan elde edilen VSP (vertical seismic profiling) ve sonik (DT) hýzlarý ile sismik modelleme yöntemleriyle elde edilen hýzlardýr.

Bu çalýþma petrol sektöründe edindiðimiz tecrübelerin bir derlemesi niteligidendir.

#### ABSTRACT

The recent developing data process methods allow to determine the seismic velocity more accurately and the seismic interpreter's participation for both structural and stratigraphic interpretation. Seismic reflection is the one of the most common geophysical methods used in hydrocarbon exploration activities. This distinguished method allows receiving more information about the ground units in three dimensions than the static well data. However, this method works in time domain and needs to be converted to depth domain to interpret geological features. The data received from seismic reflection method in time domain is merged with the correct velocity information to make depth conversion. That is why; the proper velocity information is needed to be able to succeed this conversion. The formation velocity information must be correctly determined for depth conversion. The depth conversion becomes more complicated when the velocity issue takes place. In seismic, there are many ways to obtain velocity information. It is important to decide which one of these ways is suppose to use for proper depth conversion. Nowadays, the velocity data was obtained in three ways during seismic modeling. First, the velocity stack data (RMS velocity) which is generated while seismic process. Second, the vertical seismic profile (VSP) data from oil and gas wells. The last one is sonic data (DT) which

## Sismik Yorumda Hýzlar ve Derinlik Dönüpümü

obtained while logging.

This work is a general review of our experience in oil exploration sector.

### GÝRÝÞ

Ýki ve üç boyutlu sismik yansýma yöntemlerinden elde edilen zaman boyutundaki bilgilerin derinlik boyutundaki jeolojik birimler olarak ifade edilebilmesi için doğru hesaplanması hýz bilgisine ihtiyaç vardýr. Yanlýþ hesaplanması hýz bilgisi, zaman boyutundan derinliðe hatalý dönüpümlere, dolayýsýyla hatalý formasyon tanýmlarýna ve prospekt seçimlerine yol açacaktır. Gündümüzde hýz bilgisi iki farklı yolla elde edilir.

- Yýðma hýzý bilgisi: Yansýmalý sismik yön teminden en pratik olarak elde edilen elde edilen hýz bilgisidir. Yeterli kuyu hýz bilgisinin olmadýðý sahalarda derinlik dönüpümünde yaygýn olarak kullanýlýr.

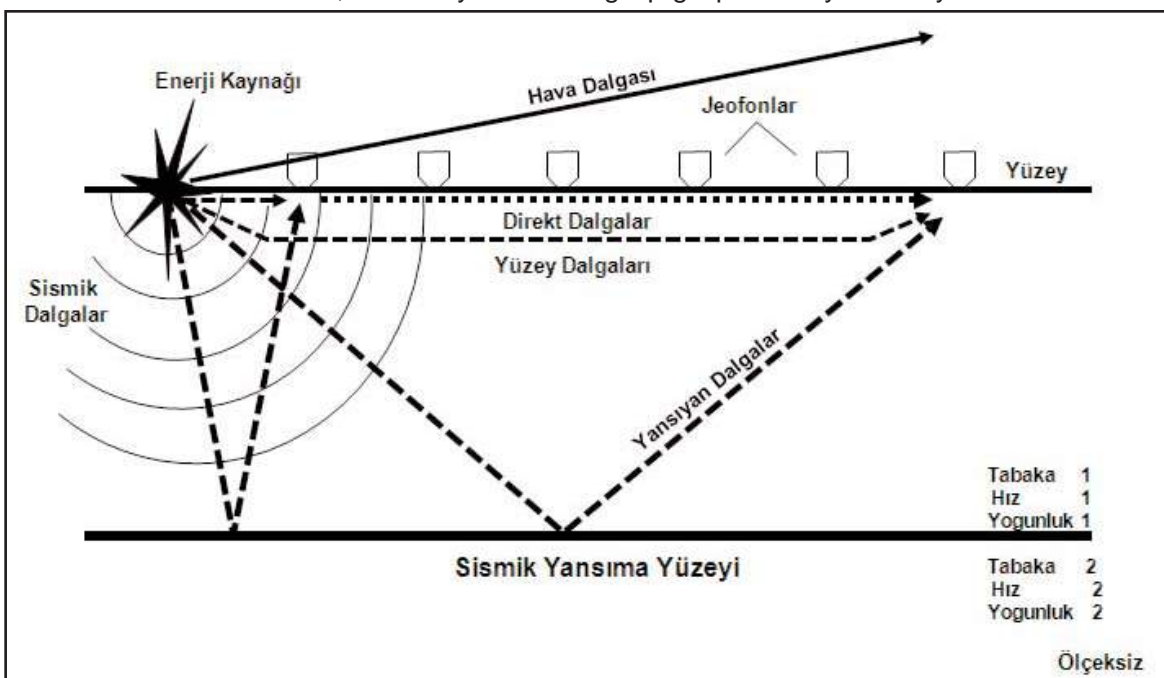
- VSP, Check-shot ve Sonik log yöntemi: Zaman boyutundan derinliðe geçip için gerekli olan hýz bilgisi, ilk olarak Sonik log yönteminden faydalananarak elde edilmistir. Ancak bu yöntem yansýma sismik yöntemi ile farklı frekanslarda çalýþmakta ve hýz farklýlýðý yaratmaktadır. Sonik yöntem formasyon içine okuma derinliði bir kaç cm ile sýnýrlýdýr. Ayrýca yüzeyi, sismik kesitleri kullanýlarak sismik muhafaza borusu etkisi, formasyon ara

hýzlarýný hesaplanmasýnda karþýlaþýlan diðer bir olumsuz etkendir.

VSP ve Check-shot petrol endüstrisinde kullanýlan en güvenilir yöntemdir. Çünkü bu yöntemde sismik yansýma yöntemine daha yakýn bir frekansta çalýþýldýðý için, frekans kaynaký hýz farklýlýðýndan kurtulmuþ olunur (Goetz at al., 1979). Ayrýca, elde edilen hýz bilgisi kuyu duvarýndaki genisleme ve çökmelere duyarýlý olmadýðý için hassas veri toplama tekniði gerektirmez.

### SÝSMÝK HIZ KAVRAMI

Yüzeyde kullanýlan bir enerji kaynaðýný ürettiði ses dalgalarý yeraltýndaki yansýtýcý yüzeylerden yansýyýp yine yüzeye belli bir düzene göre yerleþtirilmiş alýçýlara gelir ve kaydedilir. Bu kayýtlar cepitli veri-iplem teknikleri kullanýlarak yorumcularýn çalýþma yapabilecekleri hale getirilirler. Elde edilen sismik kesitte yatay eksen mesafe, düþey eksen sismik gidip-geliþ zamanýdýr. Bir baþka anlatýmla sismik gidip gelip zamanýný, yüzeyden apaðýya gidip belli bir yansýtýcý yüzeyden yansýyýp gelen ses dalgalarýn seyahat zamaný olarak tanýmlayabiliriz (Þekil 1). Dolayýsýyla yeraltýndaki belli bir yansýtýcý fonksiyonu olarak verebiliriz.



Þekil 1. Sismik Yansýma Metodu'nun uygulanmasý.

Figure 1. An application of Seismic Reflection Metod.

liriz. Fakat zamanda yapýlan bu tanýmlamanýn gerçek boyut olan derinliðe, þu veya bu þekilde mümkün olduðunca doðru bir þekilde dönüptürülmesi gerekir. Bunun için yeraltýndaki formasyonlarýn hýz bilgisine ihtiyaç vardýr. Hýz bilgisinden bahsedilince problem daha da karmaþýk bir hal almaktadýr. Çünkü sismikte birden fazla hýz vardýr. Bu hýzlardan hangisini derinlik dönüpümünde kullanýlmamasý gerektiðine karar verilmelidir. Bu sebeple sismikte mevcut hýzlar tanýtýlacaktýr.

## SÝSMÝK HIZLAR

Uygulamalý sismik çalýpmalar da hýz konusu çok önemlidir. Bu bölümde kýsaca sismik verilerden jeolojik yapýnýn belirlenebilmesi için kullanýlan deðiþik hýzlar anlatýlacaktýr. Bunun için kuyularda yapýlan doðrudan ölçmeler ve sismik zaman-uzakýk verilerinden yeterli sonuçlar veren yöntemler gelipmiþtir. Yüksek katlamalý veri toplama uygulamalarýn 6-8 km'ye varan açýlýmlarla kayýt alýndýðýndan daha doðru hýz hesaplamalarý yapýlabilmektedir.

Yeraltý jeolojik yapýlarýnýn sismik kesitlerde tanýmý iki þekilde yapýlmaktadır. Birinci olarak gidip-geliþ zaman haritalarý ile yapýlýr. Geçmiþ yýllarda, kuyular zaman haritalarýndan öne riþirdi. Ancak, son yýllarda veri iþlemde gelip hýz modellemeleri sayesinde gerçek hýzlara yakýn hýzlar elde edilmektedir. Bu sebeple zaman kesitlerinden derinlik kesitlerine dönüpüm yaygýn olarak kullanýlmaya baþlan-

mýptýr. Yeraltý hýz bilgisi iki þekilde elde edilebilir. Bunlardan birincisi kuyularda gerçekleþtirilen VSP, check-shot ve sonik hýz bilgilerinden faydalanyýlýr. Diðeri ise veri iþlem aþamasýnda elde edilen yýðma ve migrasyon hýzlarýdýr. Þimdi sismikte kullandýðýmýz hýzlarý detaylandýralým.

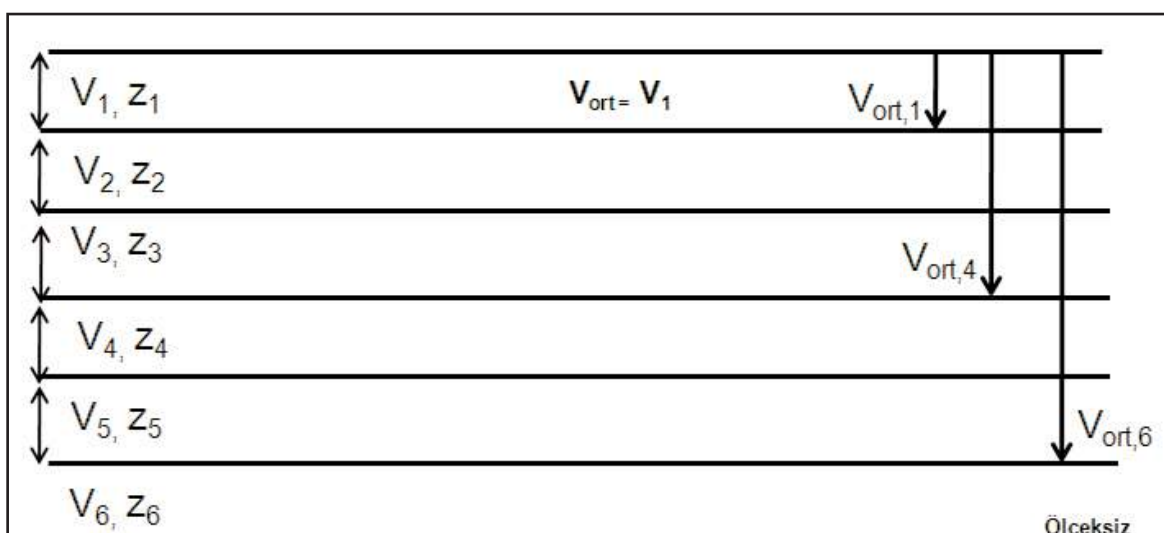
### Ortalama Hýz (Average Velocity-Vort)

Sismik dalgalar yüzeyden "Z" derinliðindeki tabakaya kadar "t" zamanýnda ulaþýrlar. "Z" derinliðinin "t" zamanýna bölünmesiyle bulunan deðere Ortalama Hýz denir (Þekil 2). Sismik kesitlerde ise gidip-geliþ "t" zamanýnýn yarýsýdýr. Ortalama hýz açýlan kuyu sonrası kuyudan elde edilen sonik, VSP ve Check-Shot hýz bilgilerinden veya veri iþlemde elde edilen yýðma ( $V_{RMS}$ ) hýzlarýndan  $V_{RMS} = V_{Ort}$ ) hesaplanabilmektedir. En doðru ve gerçek hýz bilgisini VSP-Checkshot verisinden elde edilebilir. Ancak, bu tür hýz bilgilerinin olmadýðý yerlerde ise sismik kesitlerdeki  $V_{RMS}$  hýzlarý  $V_{Ort}$  gibi kullanılabilmektedir.

$$V_{ort} = \frac{Z}{t} \quad (1)$$

(1) no'lú formül tek tabaka olduðu durumlarda geçerlidir.

Eðer "z" derinliðindeki tabakadan önce  $z_1, z_2, \dots, z_n$  derinliðine sahip bu tabakalarýn bir ýondeki zamanlarý  $t_1, t_2, \dots, t_n$  ise ortalama hýz;



**Þekil 2.** Tabakalý ortamlarda ortalama hýz.

**Figure 2.** Average velocity in sedimentary environment.

## Sismik Yorumda Hýzlar ve Derinlik Dönüpümü

$$V_{ort} = \frac{Z_1 + Z_2 + Z_3 + \dots + Z_n}{t_1 + t_2 + t_3 + \dots + t_n} \quad (2)$$

Bütün hýz hesaplamalarýndaki zamanlar ve derinlikler bir indirgeme düzlemi olan sismik datumdan itibaren alýnan düzeltilmip deðerlerdir.

### Ara Hýz (Interval Velocity-Vint)

Farklý iki derinlikteki ( $Z_1, Z_2$ ) tabakalarý zamanlarý da birbirinden farklý ise ( $t_1, t_2$ ), bu  $\Delta Z$  aralýðýndaki hýza ara hýz denir. Bu hýz sismik yansýmaya neden olan hýz olarak tanýmlanýr. Ara hýzlar kuyudan elde edilen sonik ve checkshot kuyu bilgilerine gore tanýmlanýr.

$$V_{mt} = \frac{Z_2 - Z_1}{t_2 - t_1} \quad (3)$$

### Anlýk Hýz (Instantaneous Velocity)

Eðer sismik hýz derinlikle sürekli deðiþiyor-sa (3) baðýntýyla verilen ara hýzdan sismik dalganýn her an için anlýk hýz hesaplanýr. Eðer  $Z_2 - Z_1$  derinlik farký çok küçük seçilirse kalýnlýðý  $\Delta Z$  olan tabaka elde edilir.  $t_2 - t_1$  zaman farký da At gibi küçük zaman olacaktır.

$dz = Z_2 - Z_1$  (tabakalar arasý derinlik farký)

$dt = t_2 - t_1$  (tabakalar arasýndaki zaman farký)

Anlýk hýzý derinliðin zamana göre türevi olarakta tanýmlayabiliriz.

$$d_m = \frac{dz}{dt} \quad (4)$$

### Kök Ortalama Kare Hýzý (Root-Mean-Square Velocity, Vrms)

Yeraltýnýn birden fazla tabakalý olmasý durumunda Dix yaklaþýmý ile elde edilerek hesaplanan hýza "Kök Ortalama Kare Hýz" (Root Mean Square Velocity, Vrms) denir. Bütün yansýtýcýlarýn yatay ve hýzýn dýþeþ doðrultuda deðiþtiði yerlerde, yýðma hýzý yaklaþýk olarak "RMS" hýzýdýr. Sismik kalitenin iyi olduðu ve tektonik olaylarýn yoðun olmadýðý yerlerde RMS hýzlarý gerçek hýzlara yakýn hýzlardýr. RMS hýzý bir tabakanýn derinliðini hesaplamada kullanýlan hýzdýr. Gündümüzde sismik yansýma yöntemi uygulamalarýnda kaynak-alýcý uzaklýðý 6-8 km arasýnda deðiþmektedir. Gidip-geliþ zamanlarý bundan

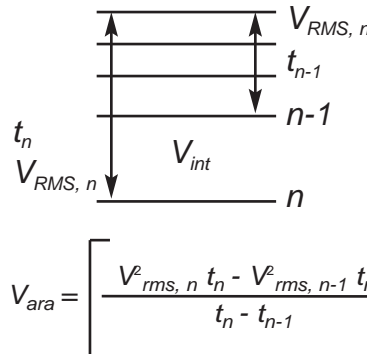
dolayý Dix yönteminde daha doðru olarak gözlenmektedir. Gren'in uyguladýðý 1938 yöntemi ancak tek tabaka için doðrudur.

Yeraltýnda yer alan tabakalarýn yatay olmasý halinde n'inci tabakaya kadar olan hýza  $V_{rms}$  hýzý denir.

$$V_{rms}^2 = \frac{V_1^2 \Delta t_1 + V_2^2 \Delta t_2 + \dots + V_n^2 \Delta t_n}{\Delta t_1 + \Delta t_2 + \dots + \Delta t_n} \quad (5)$$

$V_{rms}$  hýzýný yeraltýndaki bir tabakanýn derinliðini hesaplamada kullandýðýmýz bir hýz olarak da görebiliriz ve derinlik dönüpümelerinde yagýn olarak kullanýlýr.

Dix's (1955), ara yýlýnda, ara hýzlardan RMS hýzlarýný, RMS hýzlarýndan da ara hýzlarý bulmak için geliþtirilmiş bir baðýntýdýr ve aþaðýdaki gibi verilir.



$$V_{ara} = \left[ \frac{V_{rms, n}^2 t_n - V_{rms, n-1}^2 t_{n-1}}{t_n - t_{n-1}} \right]^{1/2} \quad (6)$$

Dix's eþitliði ile elde edilen ara hýzlarýn saðlýklý kullanýlabilmesi için yeraltýndaki tabakalarýn paralel ve hýz analizi zaman deðerlerinin 200 msn'den daha sýk yapýlmamýþ olmasý gereklidir. Bunlarýn dýþýnda yeraltýndaki çebitli ýþýn yollarýný bozucu etkiler (faylar, yersel mercekler, yakýn yüzeydeki yanal ve düþey hýz deðiþiklikleri)  $V_{rms}$  hesaplamalarý etkileyecedeðinden Dix's eþitliði ile hesaplanan ara hýzlardan elde edilen derinlik doðru olmayacaktır. Bütün bu olumsuzluklara raðmen, kuyu hýz bilgilerinin olmadýðý veya çok az olduðu hallerde, hata paylarý dikkate alarak Dix'in eþitliðini kullanmak tercih edilebilir.

### Sismik Hýzlarýn Önemi

Tabakalý arz içinde elastik dalgalarýn hangi hýzlarla yayýldýðýný bilinmesi, sismik veri íþlem analizinde önemli yer tutmaktadır. Ayrýca, gelipen veri íþlem metodalarýnýn uygunlaşmasý neticesi ile sismik hýzlarýn daha has-

sas bulunabilmesi, sismik yorumcunun doğru yorum yapmasýna olanak saðlamaktadýr. Veri iblem uygulamalarýnda doğru seçilen yýðma (stack) hýzlarýnýn sismik yoruma katkýsy,

- S/G oraný yüksek, iyi birleþtirilmip sismik izler,

- Stratigrafik- litolojik çalýþmalar için da-ha hassas olarak tanýmlanmýþ ara hýzlar,

- Derinlik dönüpümde kullanýlabilir hýzlar beklinde görülmektedir. Bulunan ara hýz bilgileri ve eðer varsa yakýndaki bir kuyudan alýnan jeolojik bilgilerle korale edilerek deðerlendirilmesi aþaðýdaki jeolojik parametreler hakkýnda faydalý bilgiler verir.

- Stratigrafik deðiþimlerin belirlenmesi,
- Litolojik birim ayýrýmlarýnýn yapýlabiliði mesi,

- Resif içinin tanýmýnýn yapýlması,
- Kum-þeyl oraný belirlenmesi,
- Yüksek basýnçlı þeyl kütelerinin belirlenmesi,
- Porozite ve yoðunluklarýnýn tahmini,
- Akýpkan niteliðinin belirlenmesi.

Schneider (1971)'e göre, ara hýz hesaplamaþýnda hata miktarlarýnýn, litolojik tahminlerde %10, stratigrafik tahminlerde ise %3 civarýnda olmasý gerektiðini ortaya koymuþtur. Sismik yorumcularýn, derinlik hesaplarýnda civarda bulunan kuyulara ait her türlü hýz bilgisini (VSP, checkshot veya sonik,) dikkate alarak derinlik hesaplarý yapmalarýnda fayda vardýr. Arama ve rezervuar için sadece sismik verinin kaliteli olmasý yeterli deðildir. Doðru bir kuyu korelasyonu ile derinlik dönüpümü iyi bir yorum için zorunludur.

## NÝÇÝN DERÝNLÝK?

Geçmiþ yýllarda sismik yorum sonucunda elde edilen zaman haritasýndan tanýmlanan prospekt üzerinde, sadece önerilen kuyunun formasyon giriþleri ve son derinliði hesaplanýrdý. Fakat 1980'li yýllara kadar zaman haritalarýndan önerilen kuyularýn daha sonra derinlik haritalarýndan önerilmesi zorunlu olmuþtur. Bu zorunluluðun nedenlerini:

- Petrol-gaz üretimi yapýlacak prospekt alanýnýn belirlenmesi,
- Açıylacak kuyularýn, açýlmýþ eski kuyularla olan derinlik iliþkisinin saptanmasý,
- Derinlik haritasýndan prospektin olasý petrol/su dokunaðýnýn saptanmasý ve çevrede yer alan üretim sahalarýna ait

petrol/su dokunaklarý ile karþýlaþtýrýlmasý,

- Prospektin ekonomik analizinin olasý derinlik haritasýndan elde edilen veriler temel alýnarak yapýlmasý,

- Basen analizinde kullanýlmasý beklinde söylenebilir.

Genelde sismik yorumlar zaman ortamýnda daha hýzlý bir bekilde yapýlýr. Stratigrafik yorumun zaman ortamýnda yapýlmasý gerekir. Çünkü zaman ortamýnda yapýlar deðiþmesine karþýn stratigrafik özelliðini korur veya diðer bir tanýmla deðiþen yapýsý ile ayný kalýr.

Yapýsal yorumda zaman ortamý çok risklidir. Bunun baþýþca nedeni de yüksek hýzlý tabakalarýn zaman kesitlerinde anomaliler oluþturarak hatalý yorumlara neden olmasýdýr. Derinlik dönüpümü, zaman ortamýnda oluþan yapýsal belirsizlikleri ortadan kaldýrýr. Eðer zaman ortamýnda yorum yapýyorsak bu riskleri yorumcu olarak kabul etmiþ oluruz. Hýz anomalisi olduðunda basit bir jeolojik model zaman ortamýnda karmaþýk hale gelebilir.

Derinlik dönüpümü sadece hýz anomalilerini ortadan kaldırmak amacýyla yapýlmaz. Bunun dýþýnda yapýnýn büyülüðünün hesaplanmasıýnda, rezervuar çalýþmalarýnda, ekonomik hesaplamalarda, jeoloji ve mühendislik rezervuar modelleme çalýþmalarý ile petrol-su kontaðýnýn tanýmlanmasýnda derinlik haritalarýndan yararlanýlýr. Sismik zaman ortamýndan derinliðe geçiþte derinlik dönüpümü için hýz modellemesi gereklidir. Derinlik dönüpümde yetersiz hýz bilgisi varsa sahte (pseudo) kuyu hýz bilgileri ile çalýþma alanýný da oluþturabilir. Hýz modellemesi için eðim fonksiyonlarý kullanýlarak doðru V(z) eðrileri elde edilebilir. Bu çalýþmalarda bölgeler jeolojik eðilimlerin hýza olan etkisini de göz önüne alarak daha doðru hýz seçilebilir. Sahte kuyularýn diðer bir faydasýda hýz konturlarýnýn daha doðru yayýlmýný saðlar.

## Derinlik Hesaplamalarýnda Kabuller ve Hatalar

Derinlik haritalarý hidrokarbon aramalarýnda önemli bir sonuçtur. Derinlik haritalarýnýn doðruluðunun baðlý olduðu iki önemli faktör vardýr. Bunlarý doðru sismik yorum ve doðru hýz seçimi olarak tanýmlayabiliriz. Derinlik haritalarýnýn doðru olmasý için öncelikle sismik kesitte takip edilen seviyenin doðru

## Sismik Yorumda Hýzlar ve Derinlik Dönüpümü

yorumlanmýþ olmasý gerekir. Sismik seviyenin doðru yorumlanması sismik kalite ile doðru orantýlýdýr.

Ýkinci olarak da çalýþma alanýnda yeterli ve doðru hýz bilgisine (VSP, checkshot veya sonik log) sahip olmamýz gerekir. Geçmiþte geleneksel yöntemlerle (Dix dönüpümü ve bozuþuma uðramýþ sismik izler ile) elde edilen hýzlarla baþarýlý derinlik dönüpümleri elde edilememiþtir. Derinlik dönüpümünde yorumcunun hangi hýz modelinin ve derinlik imaj tekniðinin kullanýldýðýný bilmesi gerekir. Çunkü yorum bu bilgiler dikkate alýnarak yapýlmalydýr. Son yýllarda sismik iz modellemesinde (ray tracing modelling) meydana gelen gelipmeler nedeniyle doðru hýz seçimi mümkün olabilmektedir. Bu hýzlarý PSTM (yýðma öncesi zaman göç iplemi) verisi ile derinlik dönüpümüne veya ön yýðma derinlik migrasyonunda PSDM (yýðma öncesi derinlik göç iplemi) kullanýlmaktadýr. Bilhassa deniz verilerinin derinlik dönüpümünde kullanýlan yýðma hýzlarý ile gerçek hýzlara yakýr hýzlar elde edilmektedir (Furniss, 2000).

Gidip-geliþ zaman haritalarýndan derinlik haritalarýna geçerken bazý kabuller yapýlmasy zorunludur. Eðer çalýþma sahasý içinde yeterli kuyu hýz bilgisi yoksa kullanýlan hýz verisi sismik kesitlerde kullanýlan yýðma hýzlarýdýr. Daha önce açýlmýþ olan kuyunun sonik veya checkshot hýz bilgisi kuyu üzerinden geçen ayný noktadaki migrasyon öncesi yýðma hýzlarý ile karþýlaþtýrarak bir hýz ilþki saptanabilir. Bu hýz bilgisi de derinlik dönüpümünde doðru hýza yaklaþýlmasýný saðlar. Hýz yanýtanýmlandýðýnda zaman ortamýndan derinlik ortamýna geçerken yapýsal çözümlemelerde hatalarýn olupmasýna neden olur. Dübey derinlik hesaplamaþalarýnda olupacak sorunlar yanal hýz deðipiminden dolayý olupacak sorunlardan daha azdýr. Hýz yanal olarak çok deðipken olduðundan dolayý petrol aramalarýnda sismik hat boyunca birçok doðrultuda hýz hesaplanýr. Üç boyutlu sismik meto-

dun yaygýnlaþmasý ile hýz hesaplamaþalarý daha gerçeðe yakýn tanýmlanabilmektedir.

Tablo 1'deki örnek incelenirse herhangi bir seviyenin 2000 msn deki gidip-geliþ zamanýndaki yapacaðýmýz %1'lük bir hata 20 msn'dir. Ancak, bu hata yorumcular tarafýndan pek yapýlmaz. Yapýlsa bile hemen farkedilir ve düzeltme olanaðý vardýr. Ancak, ayný %1'lük hatayý 3000 m/sn'lik ortalama hýzda yaparsak bu miktar 30 m/sn' ye karþýlýk gelmektedir. Bu miktardaki bir hatanýn hýz seçiminde fark edilmemesi normaldir. Ancak, bu miktardaki hýzýn derinlik hesaplamaþasýndaki etkisinin ne kadar önemli olduðunu Tablo 1'deki örnekte görülmektedir. Bundan dolayý hýz seçiminde dikkatli olunmalýdýr.

Derinlik hesaplamaþalarýnda kullanýlan ikinci bir hýz daha vardýr. Bu hýzda kók kare ortalama hýzdýr ( $V_{\text{root mean square}}$ ,  $V_{\text{rms}}$ ). Burada hýzýn derinlikle deðipimi yatay tabakalarýn hýzlarý ile gösterilir ve bu hýzlar sabit kabul edilir. Yer içindeki gerçek tabakalarýn hýz fonksiyonunun buna uyduðu var sayýlýr. Bu durumda sismik ýþýnlar ara yüzeylerde kýrýlmaktadýrlar. Dix (1955) tabakalý ortamýn yol-zaman baðýntýsýna olan etkisini ortalama hýz ( $V_{\text{ort}}$ ) yerine  $V_{\text{rms}}$  ile karþýlanabileceðini ispatlamýþtýr. Ancak yanal hýz deðipimlerinin etkin olduðu ortamlarda Dix hýzlarý, sismik hýzlara eþit olmadýðýný dikkate almalýyýz (Cameron, 2006).

Hýzýn derinlikle deðipimi çepitli yaklaþýmlarla hesaplanýr. Uygulamada ara yüzeye kadar ortalama hýz saptamaktadýr. Bu gerçeklikte ilk akla gelen ve en kolay olan yöntemdir. Bunun için eryüzü ile yansýtýcý ara yüzey arasýndaki bütün tabakalarýn hýzlarýnýn bir ortalama sabit  $V_{\text{ort}}$  hýzyyla karþýlanabileceði var sayýlýr.  $V_{\text{rt}}$  hýzý derinliðin veya zamanýn bir fonksiyonudur. Zaman kesitinden gerçek jeolojik yapýya geçerken her ara yüzeye kadar ortalama hýz hesaplanýr. Bu uygulamada genelde yaygýn olarak kullanýlan bir yön-

**Tablo 1.** Gidip-geliþ zamanýnýn derinlik hesaplamaþasýna etkisi.

	Gidip-Geliþ Zamaný (msn)	Ortalama Hýz (m/s)	Derinlik (m)	Derinlik Hatasý (m)
Orjinal Model	2000	3000	3000	0
%1 Gidip-Geliþ Zamaný Hatasý	1980	3000	2970	-30
%1 Ortalama Hýz Hatasý	2000	2970	2970	-30

temdir.

Derinlik dönüpümünde olasý hatalar bu pekilde sýralanabilir. Bilindiði gibi derinlik hesaplanmasýndaki kullandýðýmýz temel formül:

$DERÝNLÝK = (Ortalama Hýz) \times (Gidip-Geliþ tarý)$  derinliðe, eðime baðlý olarað deðiþebilir. Zamaný/2 dir.

Eðer derinlik hesaplamasýnda yýðma hýzlar kullanýlýyorsa yapýlacak olasý hatalar bunlardýr:

#### **Yýðma Hýzýnýn Seçimi**

Yýðma hýzlarýnýn seçiminde veri-iþlem sýrasýnda olupacak hatalarýn baþýcaya neden hatalar olupabilir. lerinden en önemlileri gürültü ve tekrarlý yansýmalardýr. Gürültülü sismik veriden (S/G oraný düþük) saðlýklý doðru hýz seçimi yapıþ-(Checkshot) Hýzlarýnýn Etkisi masý zordur. Ayný zorluk tekrarlý yansýmalarýn kayýt edildiði sismik veride de söz konusudur. Bu tür hýz hatalarýnýn oraný sahalara göre lerinden farklý çýkmaktadýr. Bu fark gerçek deðiþmekle birlikte S/G oraný yüksek olmasýna raðmen yýðma hýz seçiminde hata olupabilir.

#### **Yýðma Hýzý= RMS Hýzý = Ortalama Hýz**

##### **Kabulünün Etkileri**

Yýðma hýzý, RMS hýzý ve ortalama hýzý birbirine eþit olduðunun kabul edilmesi halinde derinlik hesaplamalarýnda bazý hatalara neden olabilir. Yýðma hýzýndan RMS ara hýzýna geçip (6) no'lu denklemde verilen "Dix" formülü ile olur.

Bazý durumlarda RMS hýzýnýn yýðma hýzý log yönteminden elde edilen hýz deðerleri na eþit kabul edilmesi Dix formülüne uymayabilir. Örneðin çalýþma alaný içinde bulunan bir kuyunun sonik logundan hesaplanan ara hýz, RMS ara hýzý ile yýðma ara hýzlarýndan farklý olabilir. Bu durum derinlik dönüpümünde hatalara neden olur.

#### **$V_{int}$ Yýðma Hýzý> $V_{int}$ RMS hýzý> $V_{int}$ Kuyu Hýzý Kabulü**

Kuyu, yýðma ve RMS hýzlarýný birbiriyle karþýlaþtýrarak anizotropi nedeniyle olupacak hata miktarý ortaya çýkabilir. Bu tür hesaplamalar jeolojiye ve derinlik dikkate alýnarak veri iþlem merkezlerinde hesaplanýr.

#### **Uzak Açıylýmýn Sinyale Olan Olumsuz Etkisi**

Yýðma hýzýnýn veri-iþlemdeki seçiminde Ortak Yansýma Noktasýndan (OYN) yansýma hýzlarýný takip ettiði yollarda saçýlmasý hata-

lara neden olabilir. Yeraltýnda eðimli tabakalarдан yansýyan sinyalın yansýdýðý ortamýn gerçek hýzýndan daha yüksek bir hýzla yýðma olmasý derinlik hesaplamasýnda yüksek hatalara neden olabilir. Hatanýn miktarhassa Güney Doðu Anadolu'daki bindirme kuþaklarýnda bu tür durumlarla karþýlaþýlabilir.

#### **Anizotropi**

Yöne baðlý deðiþen anizotropinin neden olduðu hýz farklýklarýný sinyal yoluna olan

#### **Sonik Log ve Kuyu Kontrol Atýþý**

##### **Hýzlarýnýn Etkisi**

Kuyu kontrol atýþlarý yöntemi kullanýlarak elde edilen hýz deðerleri sonik log hýz deðerlerini kullanýlarak farklılık göstermektedir. Bu fark gerçek veriler üzerindeki uygulamalar sonucunda ortalama %8-9 civarýnda sonik hýzlarýný kuyu kontrol atýþlarý yöntemi hýzlarýndan yüksek olduðu saptanmýþtýr. Bu farklýlýðýn önemli bir

bölümü yöntemlerdeki frekans farklýlýðýndan kaynaklanmaktadır. Ayryca, sonuçlara kuyu bozukluklar sebebiyle olup yanýþ sonik okumalarýnýn sebep olabileceði düþünülmektedir.

Bu sebeple daha kaliteli zaman-derinlik dönüpümleri için; checkshot yöntemi kullanýlarak hesaplanan hýz deðerleri ile sonik karþýlaþtýrmalýdýr. Sonik log yönteminin kaçýrdýðý veya yanýþ hesapladýðý zonlar belirlenmelii ve sismik yansýma yöntemi ile yakýn检查点上进行校验。在使用时，应确保所选的声波速度与通过声波测井方法计算出的速度相匹配。如果两者之间存在差异，则可能需要进行重新校准或调整参数以获得更准确的结果。

#### **ZAMAN HARÝTALARINDAN DERÝNLÝK HARÝTALARINA DÖNÜPÜM**

Gidip-geliþ zaman haritalarýndan derinlik haritalarýna dönüpüm için deðiþik yöntemler uygulanýr. Yaygýn olarak kullanýlan yöntemler bunlardır:

#### **Sabit Hýz ile Derinlik Dönüpümü**

Gidip-geliþ zaman haritalarýndan derinlik haritalarýna geçerken seçeceðimiz hýz çok önemlidir. Genelde yorumcu fazla riske girmeden sabit hýz kullanarak derinliðe geçebilir. Bunun baþýcaya nedeni çalýþtýðý sahada

## Sismik Yorumda Hýzlar ve Derinlik Dönüpümü

yeterli kuyu hýz bilgisinin olmamasýdýr. Amaç lanýmý. derinliðe geçerken zaman haritalarýndan farkýý olarak hýzýn zaman haritasýna yaptýðý etkiy dalañýlarak derinlik çevrimi yapýlýr. Elde görmektir. Yani derinlik dönüpümün gerçek jeolojiyi yansýtmasý beklenir. Sonuç olarak derinlik dönüpümünde kullandýðýmýz sabit hýzlý dönüpüm bizi çok yanýþýp yorumlara götürürebilir. Bu açýdan sabit hýzla derinliðe dönüpürmüþ derinlik haritasýný yeraltı jeolojisini yansýtmada yetersiz olduðunu söyleyebiliriz. Çünkü derinlik haritamýzýn zaman haritasýndan tek farký zaman deðerinin sabit bir deðerle çarpýlmasy sonucu elde edilen derinliktir. Kontur eðrilerinde hiçbir deðiþiklik olmayacaktýr. Hýz gerçek jeolojide deðiþkendir. Genelde bilgisayarlarýn yaygın olmadýðý dönemlerde kullanýlan bu yöntemle yüksek oranda kuru kuyu delinmiptir (Fink, 1999).

### Deðiþken Hýz ile Derinlik Dönüpümü

Eðer zaman haritalarýndan derinlik haritasýna dönüpüm yapýlacaksa mutlaka deðiþken hýz kullanmalýyýz. Tabi ki bu durumda hangi hýzlarla yapýlacaðý sorusuyla karþýlaþýrýz. Bu durumda üç hýz seçeneðimiz vardýr:

- VSP, Checkshot veya Sonik hýzlarý,
- 2B'lu veya 3B'lu ön yýðma zaman migrasyon (PSTM) hýzlarý,
- Kuyu ve yýðma hýzlarýnýn beraber kul-

Yukarýdaki hýz seçeneklerinden faydalý olarak hýzýn zaman haritasýna yaptýðý etkiy dalañýlarak derinlik çevrimi yapýlýr. Elde ettiiðimiz derinlik haritasý, yeraltına bakýþ açýsýnda büyük deðiþikliklere neden olabilir. Zaman haritamýzdaki küçük atýmlý faylar derinlik haritalarýnda artabilir. Bunun tam terside olabilir. Bu durumda tanýmlanan prospektin yapýsal konumunda çarpýcý deðiþiklikler olabilir. Yapý büyüyebilir de, küçülebilir de. Bu durum hýzýn yanal anlamdaki deðiþim miktarýna baðlýdýr. Eðer yanal hýz deðiþimi fazla ise derinlik haritasý zaman haritasýndan çok farklılda çýkabilir. Bunun tersi bir durumda ise yani yanal hýz deðiþimi az ise derinlik haritasý ile zaman haritasý arasýnda az farklılıkla neden olabilir. Þekil 3 ve 4'deki zaman haritalarýnýn farklı ortalama hýzlaraya göre yapýlan derinlik dönüpümelerinde derinlik haritasýnda meydana gelen deðiþimleri görmekteyiz.

Derinlik haritalarýna dönüpümde faylarýmýzýn atýmlarý deðiþime uðrayabilir. Fay dýþey atýmlarý azalabilir veya artabilir. Bunun titizlikle incelenmesi gereklidir. Örneðin elinizdeki 3B'lu sismik verinin zaman ve derinlik dönüpüm küpü mevcut olsun. Bu durumda her ikisini de deðerlendirip zaman ve derinlik haritalarý arasýnda karþýlaþtýrma yapmak yorumu katký saðlar.



**Þekil 3.** Zaman haritasýndan derinlik haritasýna geçiþte ortalama hýzýn trend etkisi.

**Figure 3.** The trend effect of average velocity in the case of transition from the time map to depth map.



**Pekil 4.** Zaman haritasýndan derinlik haritasýna geçiþte ortalama hýzýn trend etkisi.

**Figure 4.** The trend effect of average velocity in the case of transition from the time map to depth map.

Yýðma kesitlerinden yapýlan yapýsal harita- larla migrasyonlu kesitlerle yapýlan haritalar tektonik trend içinde yer almaktadýr. B1 arasında alansal farklılık vardýr. Sismik kuyusu sakin ortamda yani platformda yer yorumlarýmýz migrasyonlu kesitler üzerinden almasýna karþýn C1 kuyusu bindirme yapmalýyýz. Migrasyonlu haritalar yapýsal haritalardan daha küçük olacaktýr (Pekil 5).

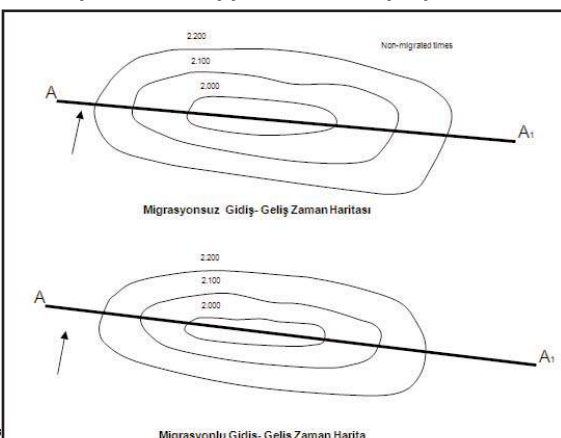
#### DERÝNLÝK DÖNÜÞÜMLERÝNDE KORELÂSYONLARI

Derinlik dönüpünde en önemli faktör hýzlarýn doðru saptanmasýdýr. Bunun içinde çalýþma alanýnda yeterli hýz bilgisinin olmasý gereklidir. Genelde üretim sahalarý dýþýnda yeterli hýz bilgisi bulmak olanaksýzdýr. Bundan dolayý yer alan kuyularýn hýz bilgisi jeoloji ile beraber yorumlanarak olasý hýz eðilimleri ve sahte kuyular (pseuoda kuyular) olup turulur. Bunu iki örnekle açýklayalým. Birinci örnek de kuyular arasýndaki uzaklýlarýn fazla olmasý halinde çevrede yer alan kuyularýn hýzlarýnýn dikkate alarak sahte kuyu noktalarýn da olasý hýzlar belirleyebiliriz. Hýz haritalarýnda hýz ve rilerinin ebit aralýklý daðýlýmý idealdir (Pekil 6). Bunu saðlamak için sahte kuyu noktalarýnda tanýmladýýmýz bu tür hýzlarla elde edilen hýz haritalarý ile hýz daðýlýmýný dengelemeye çalýþýrýz (Pekil 7).

Pekil 8'de ise güneydoðu Anadolu da sýk olarak karþýlabýþýmýz eðilimlere benzeyen bir örnek üzerinde eðilim-jeoloji ve hýz iliþkisini inceleyelim.

- B1 ve C1 kuyularý birbirinden farklı iki kuyaðýnda yorumlarýmýz migrasyonlu kuyularýnýn fazla olmasýndan dolayý ortalama hýz daha yüksektir.

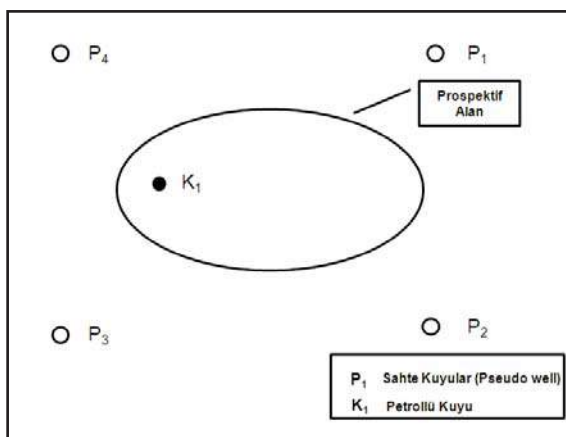
- A1 ve B1 kuyularý arasýnda ise doðrultu atýmlý bir fay vardýr. A1 kuyusu düþük blokta yer almaktadýr. Böyle durumlarda A1 kuyusunda formasyon kalýnlýklarýnýn fazla olmasýndan dolayý ortalama hýz yüksektir.



**Pekil 5.** Migrasyonsuz ve migrasyonlu kesitlerden oluþan zaman haritalarýndaki farklılıklar.

**Figure 5.** The differences between migrated and unmigrated sections in time-scale maps.

## Sismik Yorumda Hýzlar ve Derinlik Dönüpümü



**Þekil 6.** Zaman haritasýndan derinlik haritasýna geçiþte hýz verisi etkisi.

**Figure 6.** The effect of velocity data in the case of transition from the time map to depth map.

- C1, D2 ve D3 kuyularý ayný bindirme kuþaðýnda yer aldýðýndan ortalama hýzlarý birbirine yakýndýr.

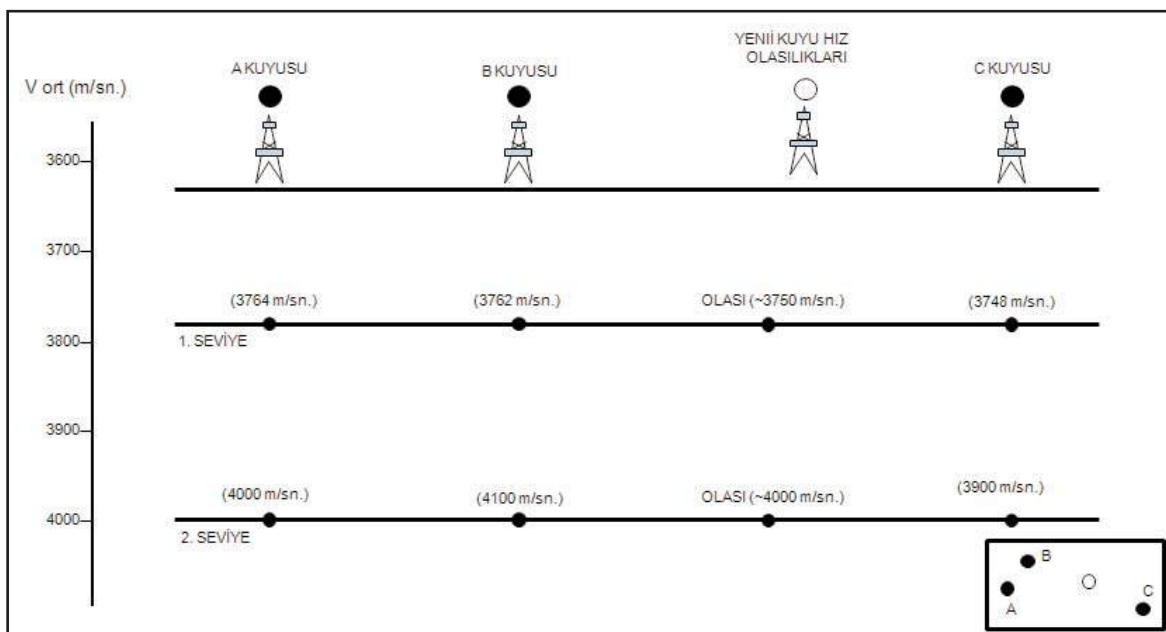
- E1 ile C1, D1 ve D2 eðilimleri arasýnda hýzlarý etkileyen en önemli faktör allokonton olarak tanýmladýðýmýz jeolojik karmaþýklarýn ortalama hýzýn artmasýna neden olmasýdýr.

## DERÝNLÝK MIGRASYONU (DEPTH MIGRATION) VE ÖN YÝÐMA DERÝNLÝK MÝGRASYONU (PRE-STACK DEPTH MIGRATION)

Derinlik dönüpümünde göç iþlemi önemli bir yer tutar. Bundan dolayý kýsaca göç iþlemine deðinmekte bir büyük fayda vardýr. Göçün tanýmýný sismik bilgilerin, yansýma ve saçýlmalarýný (diffraction) doðru yerlerine yerleþtirilmelerini içeren bir ters iþlemdir. Buna gerek duyulmasýný nedeni deðiþken hýzlarýn ve eðimli yüzeylerin bulunmasý olaylarýn yüzeyde kayýt edildikleri yerlerin yer altýndaki yerlerinden farký olmasýdýr.

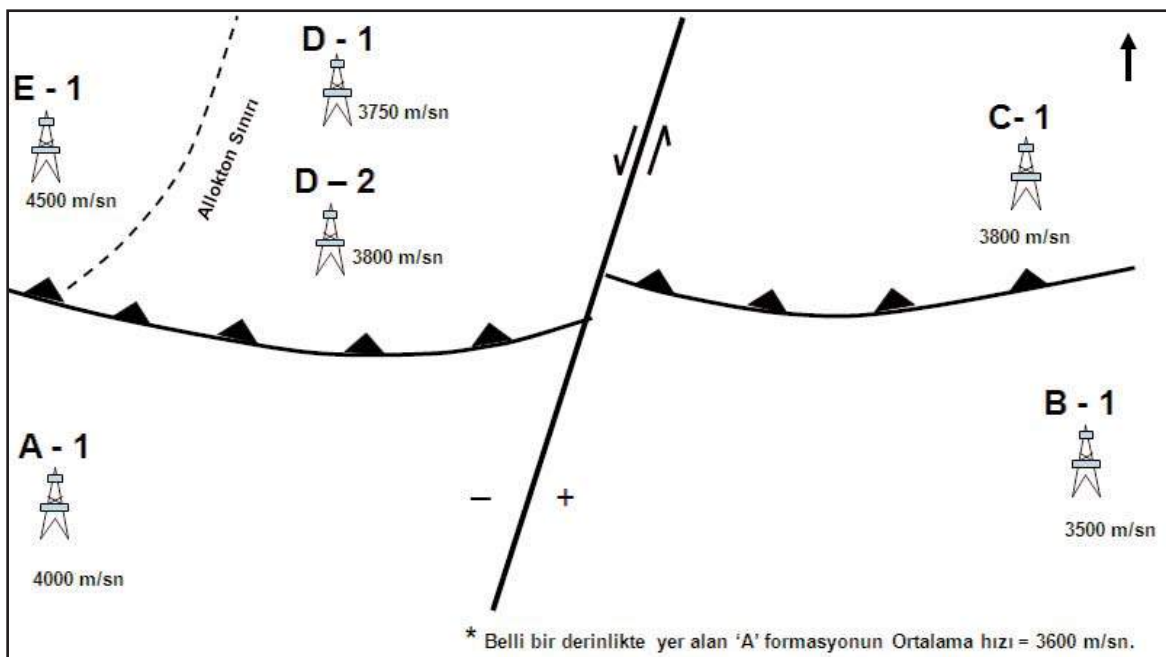
Sismik veri iþlemde yer basit olarak yatay tabakalardan oluþtuðu varsayıýlýr. Yeraltýndan gelen yansýma ortak noktasýný atýp ve alýcý arasýnda düþünüller. Bunun yanýnda yeraltýndaki tabakalarý ara hýzlarýný da yatay olarak fazla deðiþmediðini kabul ederiz. Sismik zaman migrasyon ile yansýyan noktalary gerçek yerine taþýmayý amaçlarýz.

Zaman ortamýnda (dömeninde) göç iþlemi ile izleri geometrik olarak doðru yere taþýdýktan sonra birleþtirme (stack) iþlemi ile sismik kesit oluþturulur. Bu migrasyona ön yýðma zaman migrasyonu (PSTM) denir. Bu iþlemenin en belirgin özellikleri öncelikle yansýyan izleri doðru yerine taþýdýktan ve yýðma (stack) yapýktan sonra migrasyon iþlemi uygulanmasý ile



**Þekil 7.** Derinlik dönüpümelerinde kuyular arasý olasý ortalama hýz tahminleri.

**Figure 7.** The average velocity estimations in depth conversion between the potential wells.



**Şekil 8.** Farklı tektonik trendlerdeki kuyu hızları arasındaki ilişkiler.

**Figure 8.** The relation between the different tectonic wells' velocities.

sinyal/gürültü kalitesini artıran bir uygulamadır, ayrıca yanal hız değişimlerinin olduğu yerlerde yýðýþm öncesi göç iplemi sismik kesit kalitesini artırmaktadır. PSTM'dan sonra mevcut kuyu verilerinin derinliklerinden ve hız modellemelerinden elde edilen hızlar kullanılarak PSDM derinlik dönüpümü yapýlýr.

PSDM son yýllarda yaygýn olarak kullanýlan bir uygulamadır. Öncelikle sismik kesitin kalitesini olumlu yönde etkilemesi sismik yorumu büyük katýý saðlamýþtýr. Bilhassa tuz domlarýnýn tanýmlanmasýnda PSTM ve PSDM büyük katýý saðlamýþtýr.

#### TEKTONÝK VE JEOLOJÝNÝN HIZLARA ETKÝSÝ Jeolojinin Neden Olduğu Sismik Yansýmaya Bozucu Etkisi

Jeoloji, bazen sismik verileri etkiliyerek bazý gerçek dýþý etkilere neden olabilir. Bu durum sismik yorumu olumsuz etkilediði gibi bu anomalilerin jeolojik yapýnýn niteliðini tanýmlamada yorumu katýý yaptýðý da bir gerçekdir. Bu etkilerden baþýcasý hız değişimlerinin neden olduğu anomalilerdir.

Hız etkisinin sismik kesitte yaptýðý bozucu etkiler yatay ve düþey yönde görülebilir. Sismik kesitte bozulmanýn nedenlerini;

- Yanal ve düþey fasiyes değişimleri,
- Karmaþýklar,
- Bindirme kuþaklarında meydana gelen sıkýþma,
- Rezervuarlardaki gaz varlýðý olarak sıralayabiliriz.

#### Diyapirik Kapanlary ile ilgili Hız Anomalileri

Üzerine gelen çökellerden daha az yoðunluða sahip çökellerin, yoðunluk farký tuz domlarýnýn tanýmlanmasýnda PSTM ve PSDM hızı yoðunluðu  $2.03 \text{ g/cm}^3$ 'tür. Yeni çökelmeli kil ve kumlarýn yoðunluðu ise tuzdan daha azdır. Ancak, bunlar gömülme ile daha fazla yoðunluk kazanýrlar. Yaklaşık olarak 800-1200 metreden daha fazla gömülmeleri durumunda tuzlar diyapirik harekete baþlar, bazý durumlarda yeryüzüne ulaþýp büyük erime çukurlarý oluþtururlar (Tüysüz, 1998).

Tuzun gravitesi düþük olmasýna rağmen bir hız yaklaþýk  $4500-4600 \text{ m/sn}$  arasında değişir. Ses dalgalarý tuz içerisinde, civarýndaki kayaçlara oranla yüksek olduðundan daha hızýlý hareket ederler. Bundan dolayý tuz kütlesinin altýndaki tabakalardan yansýyan sinyaller, alýcýlara daha çabuk ulaþacaðýndan

## Sismik Yorumda Hýzlar ve Derinlik Dönüpümü

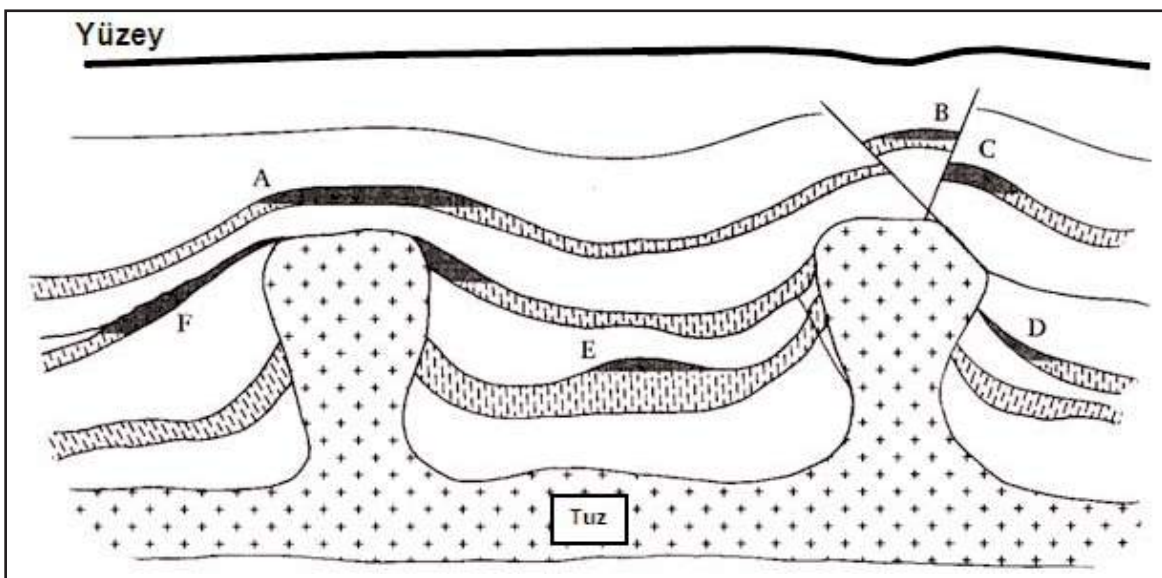
sismik kesitlerde hýz çekmesine (velocity pull-up) neden olur (Pekil 10). Veri íblem merkezlerinde uygulanan derinlik dönüpümü ile bu etki giderilir. Hýz çekmesi tuzlarýn tanýmýnda yardýmcý bir unsur olarak nitelenebilir (Us, 2005).

### Resifler ve Hýz Anomalileri

Resifler ilk olupþma ortamlarý ve kayaç özelliklerini olaraðýnýn öðer kayaç gruplarýndan farklı özellikler gösterirler. Resifler olupþum mekanizmasý olarak bulunduklarý yerde gelipme gösterirler ve tablaþma

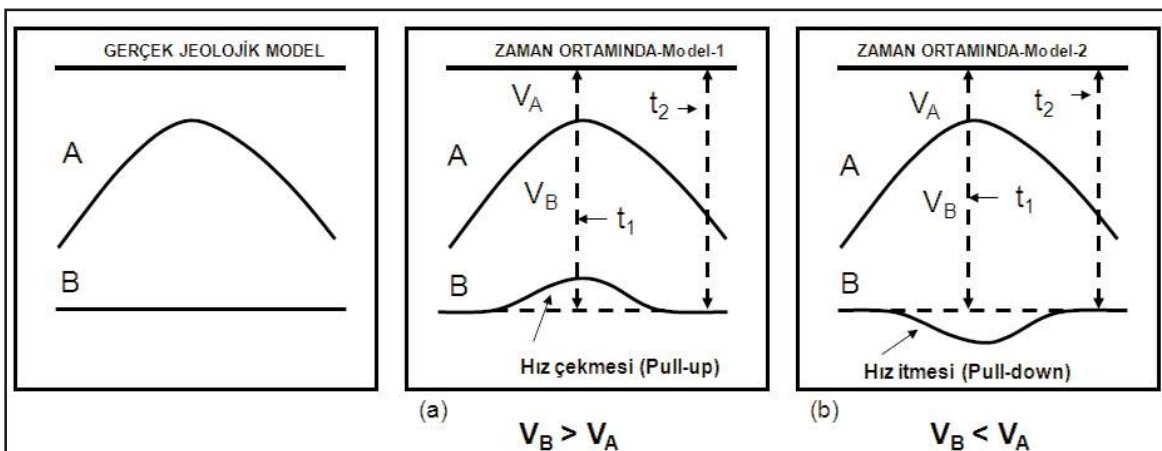
ozellikleri farklıdır. Baslangýç poroziteleri %60-80 arasýnda deðiþir. Resif olupþumunun hemen ardýndan üzerleri geçirimsiz bir çamurla örtülmelidir. Aksi halde çimentolama poroziteyi yok eder (Tüysüz, 1989). Resifler dünyada önemli hazne ve kaynak kayalarý oluþtururlar. Resiflerde varþýklarý nedeniyle ani fasiyes ve hýz deðiþikliði görülür. Resifler, çevrelerinde yer alan kayaçlara göre yüksek veya düþük hýzlý olabilirler.

Resifi oluþtururan kayaçlar, çevresinde þeyl oraný yüksek kayaçlar olursa yüksek hýzlý,



**Pekil 9.** Diyapirik kývrýmlarda hidrokarbon kapanlarý (A- Dom kapaný, B ve C- Fay kapaný, D ve F- Kama kapaný, E- Antiklinal kapaný).

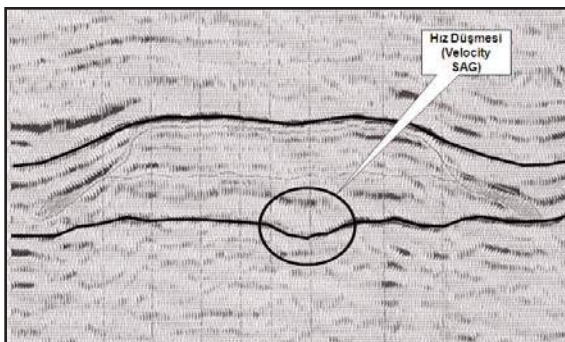
**Figure 9.** Hydrocarbon traps in the diapiric fold (A- Dome Trap, B&C- Fault traps, D&F- Pinchout, E- Anticlinal traps).



**Pekil 10.** Hýz farkýýklarýnýn zaman kesitlerinde oluþturduklarý hýz anomalileri.

**Figure 10.** The velocity anomalies in time cross-sections due to velocity differences.

kireçtaşý veya dolomit olursa düþük hýzlý olarak tanýmlanýr. Her iki durumda sismik kesitlerde hýz anomalisine neden olur. Resif, çevresindeki kayaçlara oranla daha yüksek hýza sahipse hýz çekmesi (pull-up), resifin çevresinde resife göre daha düþük hýzlý sedimanlar varsa hýz düþmesi( pull-down veya velocity sag) olacaktır. Bu durum sismik yorum açısından bir sorun gibi görülse de resifin tanýmlanmasýnda yorumcuya yardımýcý olur (Þekil 11). Hýz düþmesi aynı zamanda alansal yüksek poroziteyi gösterir.



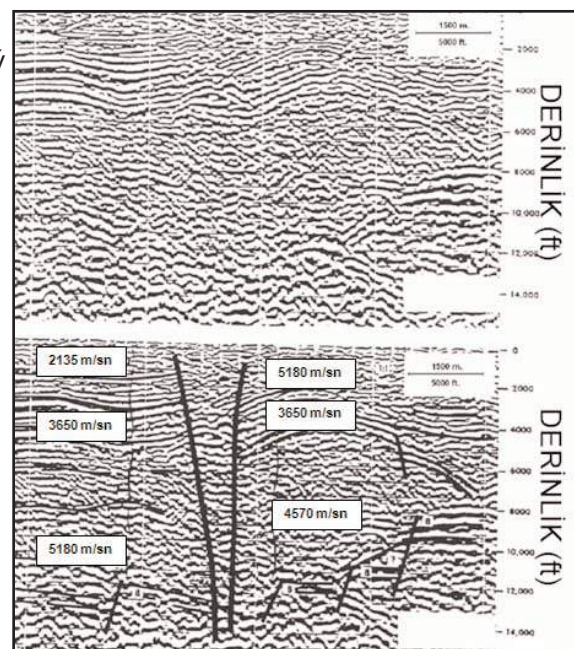
**Þekil 11.** Ýntisar "A" reefinden geçen sismik kesit, Libya (Elag ve dið., 1999).

**Figure 11.** Seismic cross-section of the Intisar "A" reef, Libya (Elag et al., 1999).

#### Doðrultu atýmlý faylarýn Neden Olduðu Deðipken Ortalama Hýzlar

Doðrultu atýmlý faylarýn her iki yanýnda deðipken formasyon kalýnlýklarýna ve litolojilerine baðlý olarak formasyon ara hýzlarýnýnda meydana gelen farklýlýklar fayýn her iki yanýnda farklı ortalama hýzlara neden olabilir. Doðrultu atýmlý faylarýn en önemli özellîði düþbeý ve yatay yöndeki atým nedeniyle fayýn her iki tarafýnda oluþturduðu farklý formasyon meydana gelen farklýlýklarýdýr. Bilindiði gibi formasyon kalýnlýk-lama hýzlary birbirile korele ederken dikkatli larynýn ve litolojilerinin deðipken olmasý farklý olmayýz. Ara hýzlara ve dolayýsýyla farklı ortalama hýzlara neden olacaktýr. Þekil 12'de Kýzyldeniz'den bir örnekte (Lowell et al., 1975) doðrultu atýmlý bir fayýn her iki tarafýnda saptanan hýzlarda farklılýklar olduðu görülmektedir. Çok kýsa bir mesafede meydana gelen bu hýz farklýlýklarýn gidip-gelip zaman harita-laryndan derinlik haritalarýna dönüpümde hatalara neden olabilir. Bu sorun fayýn her iki tarafýndaki hýz bilgilerinin birbirinden baðýmsýz düþünerek haritalanmasý ile daha doðru

derinlik haritalarý elde edilebilir. Böylece fayýn her iki tarafýndaki derinliklerini daha doðru tanýmlanmasý ile hidrokarbon aramalarýnda önemli potansiyel sunan burulma fay tektoniði de doðru olarak tanýmlanmýþ olur. Bu tür durumlarla doðrultu atýmlý faylarýn bulunduðu her yerde karþýlaþabiliriz.



**Þekil 12.** Doðrultu atýmlý fayýn iki tarafýndaki litoloji deðipiminden kaynaklanan yanal hýz deðipimi (Lowell, 2000).

**Figure 12.** Seismic section shows a fault zone suspected of wrench motion on the basis of mismatched seismic reflections and velocities (Lowell, 2000).

Yanal atýmlý faylarýn her iki yanýnda oluþan farklı kalýnlýklara sahip formasyonlara ait ortaklýk-lama hýzlary birbirile korele ederken dikkatli larynýn ve litolojilerinin deðipken olmasý farklý olmayýz.

Diðer bir taným fayýn her iki tarafýndan yer alan hýzlary birbirinin devamýný gibi düþündüðümüzde derinlik hesaplamalarýnda hata yapabiliriz. Bunun en önemli nedeni farklı ara hýzlara sahip formasyonlarýn kalýnlýklarýn farklý olmasýdýr. Doðrultu atýmlý faylarýn farklı olmasýdýr. Doðrultu atýmlý faylarýn en önemli özellîði düþbeý ve yatay yöndeki atým nedeniyle fayýn her iki tarafýndan oluþturduðu farklı ara hýzlar ve ortalama hýzlardýr. Fayýn her iki tarafýndaki hýzlar birbirile korele etmek hata getirir. Eðer fayýn her iki tarafýnda

## Sismik Yorumda Hýzlar ve Derinlik Dönüpümü

büyük hýz farklılıklarý varsa fayýn her iki lerde, kalýn yüksek hýza sahip formasyonlarýn tarafýný birbirinden baðýmsýz düþünerek ayrý bulunduðu yerlerde) kaynaklanan görünürlük ayrı haritalanmalydýr.

### Fay Gölgesi (Fault Shadow)

Fay gölgesi, hýz farklılıklarýndan dolayý ýþpýnýn zaman kesitlerinde olup, normal fayýn ön bloðunda meydana getirdikleri gerçek olmayan yansýmalar olarak tanýmlanýr. Normal bir fayýn üst bloðundaki yansýmalarýn fayýn hareketinden dolayý genelde fay düzlemine doðru kývrýlmalar (Þekil 13). Bu kývrýlmalar doðal olabildiði gibi tamamen yüksek hýzlý formasyonlardan (tuz, bindirmelerde, yüksek hýz deðiþimlerinin olduðu yer-

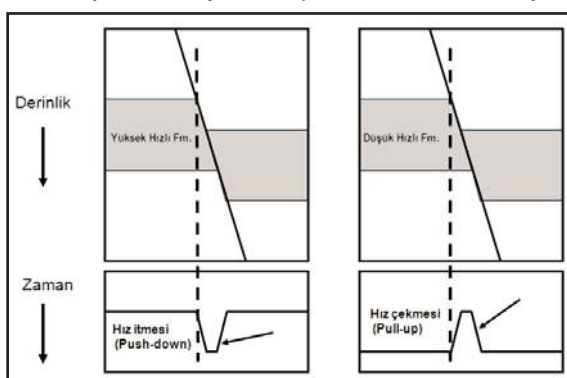
Bu durum sismik yorumcuyu yanýltýr. Bu sorunun çözümü zaman kesitlerinin derinlik etkileşimlerine dönüpümü ile giderilir.

### Karmaþýk Jeolojilerin Neden Olduðu Hýz Sorunu ve Yoruma Etkisi

Hýz etkileyen karmaþýk jeolojiyi iki þekilde tanımlarýz. Birincisi yüzeyde yer alan yüksek hýzlý formasyonlar (kireçtaþý, bazalt vb.), ikincisini ise allokontonlar olarak tanımlayabiliriz. Ayrýca, bindirme kuþaklarýndaki ters faylanmalar sismik ýþpýn yolunu olumsuz etkilemesinden dolayý hýz tanýmýnda ciddi sorunlar yaþanmaktadır.

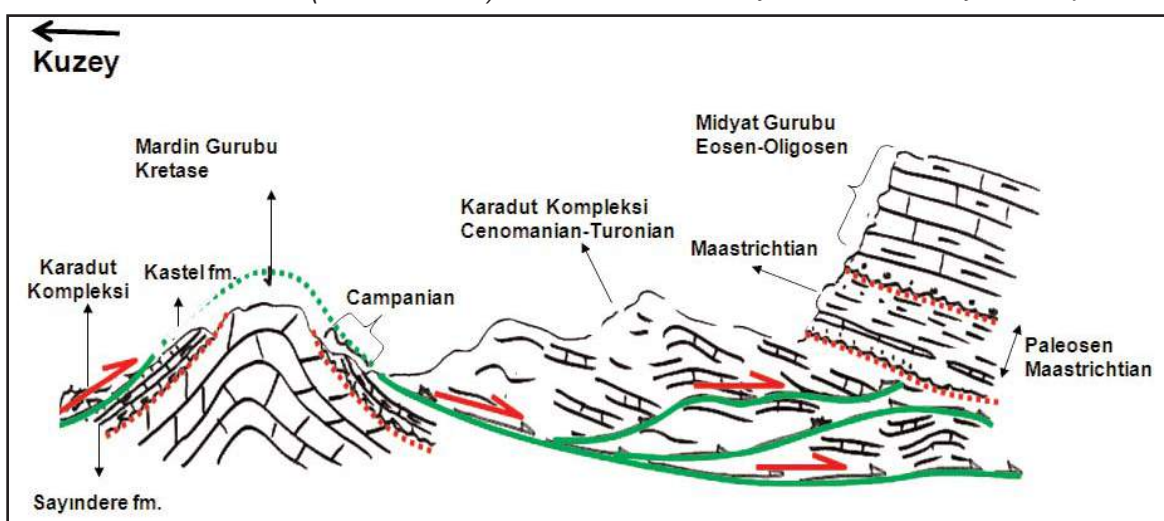
Þekil 14'de Adýyaman bölgesinden geçen genelleþtirilmüş jeolojik kesitinde yüzeyde yer alan allokontonlarý görmekteyiz. Alloktonlarýn jeolojik yapýsýndan dolayý içlerinde belirli bir tabakaþma söz konusu deðildir. Kompleks bir yapýya sahiptirler. Bu durum ýþoma hýz seçiminde sorun yaratýr. Bu tür formasyonlarla kaplı alanlarda derinlik dönüpümü sorunlu olur. Þekil 15'de ise allokontonlarýn derinde olmasý yine sismik hýz seçimini olumsuz etkileyen faktörlerin baþýnda gelir.

Yüksek hýzlý formasyonlarýn gömülü olmasý halinde yapýlar zaman kesitlerindeki gerçek görünümlerinden farklılık gösterirler. Þekil 16'daki modelde yüksek hýzlý ara tabakaný zaman ortamýnda olup turduðu



**Þekil 13.** Hýz farklılıklarýnýn zaman kesitlerinde oluþturduklarý hýz anomalileri (Fay gölgesi).

**Figure 13.** The velocity anomalies in time cross-sections due to velocity differences (Fault shadow).

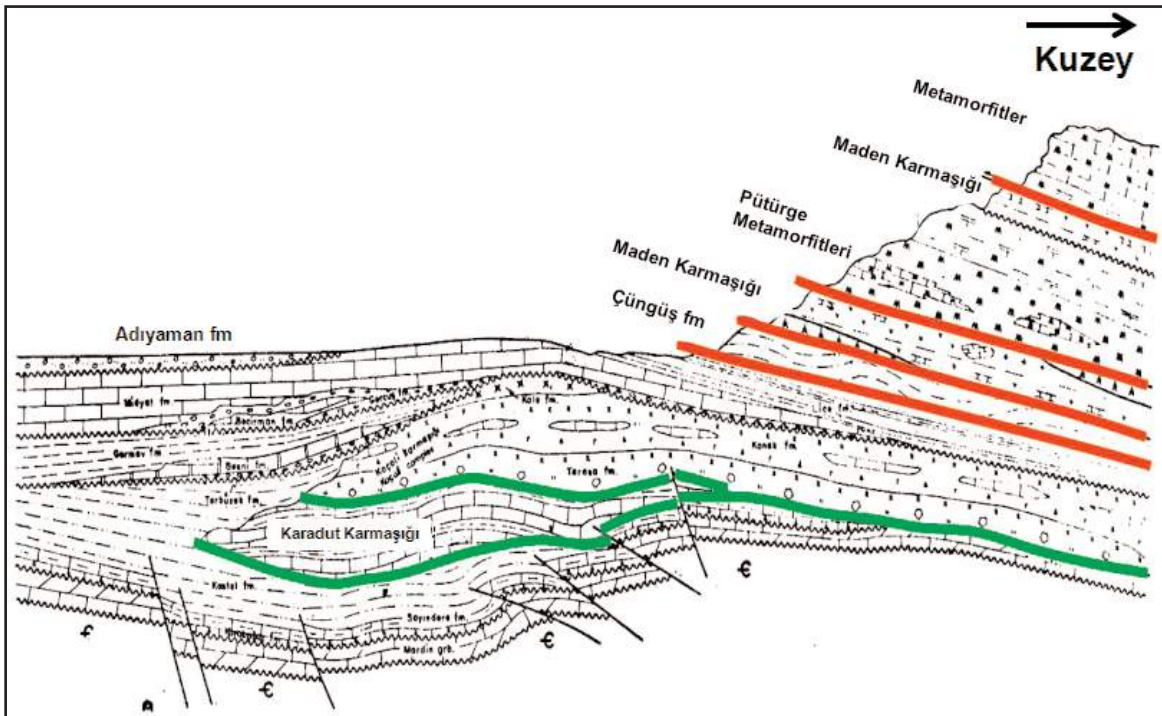


**Þekil 14.** Batý Adýyaman genelleþtirilmiş ön kesiti, Güneydoðu Türkiye (Perinçek, 1998).

**Figure 14.** Generalized geological cross section of the west of Adýyaman, South East Turkey (Perinçek, 1998).

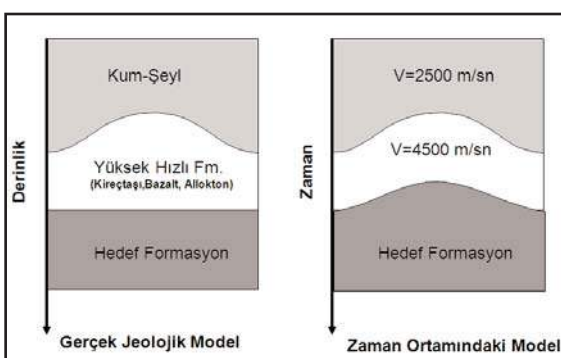
hýz anomalisi görülmektedir. Birçok tecrübe býlýmý ile bu tuzaða düþümüptür. Baþarýý bir derinlik dönüpümü ile gizlenmiþ yapýlarý ve potansiyel rezervleri ortaya çýkartýlabılır. Bu sorun Ön Yýðma Derinlik Migrasyonu (PSDM) ile giderilir.

Ancak bazý sahalarda hýz terslenmesiyle (velocity inversion) karþýlaþmaktaýy. Hýzýn terslenmesi, hýzýn derinlikle azalmasý olara tanýmlayabiliriz. Bu durum derinlik dönüpümünde derinliklerinin hatalý hesaplamasýna neden olur. Bu tür hýzlara genelde



**Þekil 15.** Batý Adýyaman genelleþtirilmiş ön kesiti, Güneydoðu Türkiye (Perinçek, 1988).

**Figure 15.** Generalized geological cross section of the west of Adýyaman, South East Turkey (Perinçek, 1998).



**Þekil 16.** Ara yüksek hýzlý formasyonlarýn zaman ortamýna etkisi.

**Figure 16.** The effect of high-velocity formations on the time-scale case.

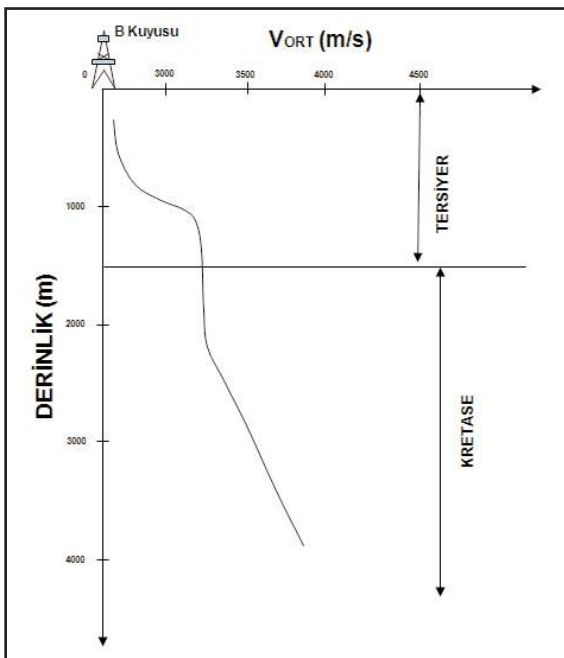
Sismik hýz genelde derinlikle doðru oranýlýdýr. Diðer bir tanýmla yüzeyden derine doðru artar. Bunu Þekil 17'de görmekteyiz.

Güneydoðu Anadolu'daki yüzeyin karmaþýk ve allokonlarla kaplý alanlarýnda rastlamaktaýy (Þekil 18).

Yeraltı jeolojisinin karmaþýk olduðu örneðin Güneydoðu'da yer alan Karadut, Koçali formasyonlarýnýn bulunduðu ortamlarda, ýþýn yolu modellemeleri yaparak ýýðma hýzlardan gerçek düþey ortalamaya hýzlarýn saptanmasýnda yanýlgýlarýn olduðu görülmüptür. Hýz yanýlgýlarý zamanlama yanýlgýlarýnýn sonuçlarýdýrlar. Zamanlama yanýlgýlarý göç ibleminde ve karmaþýk jeolojik yapýlarda ýþýn yolu bozulmalarýndan kaynaklanmaktadır. Ayrýca, karmaþýk jeolojik yapýlárýn bulunduðu bölgelerde ýýðma hýzýnýn  $V_{rms}$  hýzýna yaklaþýk eþit olmadýðýnýn geçerli olduðu kanýtlanmýptýr. Jeolojik bozukluklardan daha derindeki önemli ara yüzeylerin saptanmasýnda sorunlar vardýr. Saptamalar yanýlgý

## Sismik Yorumda Hýzlar ve Derinlik Dönüpümü

olmakta bazen ara yüzey fark edilemeyecektir (Blackbum, 1980). Karmabýk yapılarla ilgili olarak yapýlan model çalýþmalar sonucunda düþük hýz tabakasýndaki deðiþimlerin  $V_{rms}$  hýz saptamalarýnda yanýlgýlara yol açtýðý yanal görültüþtür. Düþük hýz tabakasý yanal deðiþimleri sismik açýlým boyutlarýna ulaþtýðýnda bu etki alanlarý daha da belirginleþir (Miller, 1974),



**Bekil 17.** Yüzeyden derine doðru artan hýz trendi.

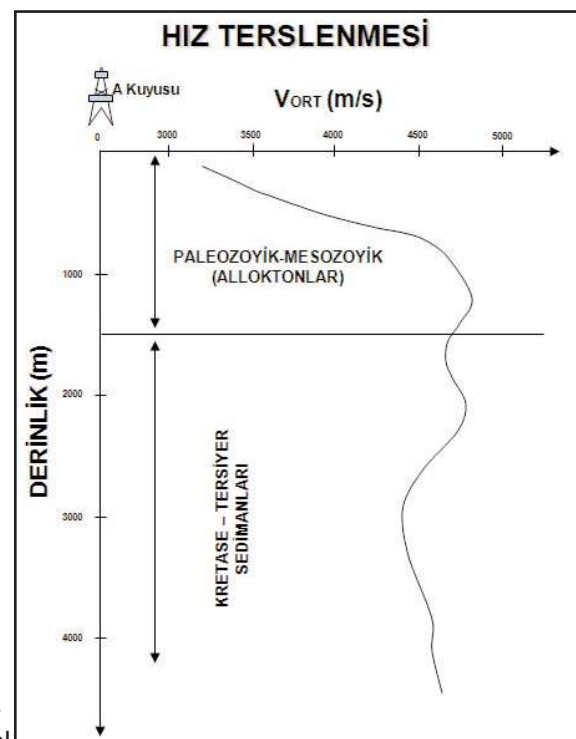
**Figure 17.** The increasing velocity trend from the surface to deep.

Ayrýca, düþük hýz tabakasýndaki deðiþimlerin  $V_{rms}$  hýzý saptamalarýnda yanýlgýlara yol açacaðýný gözlenmiþtir. Düþük hýz tabakasýnýn yanal deðiþimleri sismik açýlým boyutlarýna ulaþtýðýnda bu etki daha da belirginleþecektir.  $V_{rms}$  hýzýndaki yanýlgýlar ara hýzlarý da ayný düzeye etkilemektedir. Bunun için yýðmadan önce statik düzeltmelerin yapýlmamasý gereklidir.

## SONUÇLAR

Uygulamalý sismik çalýþmalarýnda hýzýn ne kadar önemli olduğunu gördük. Birden fazla farklı hýzýn bulunmasý derinlik dönüpümünde bizi yanýltabilir. Bunu önlemek için gerçek hýza yakýn hýzlarýn seçilmesinin önemi artmaktadır. Görüldüðü gibi prospektimizi direkt

olarak etkileyen baþlýca faktör hýzdýr. Zaman dönemde tanýmladýýmýz yapýnýn gerçek olup olmadýý ancak doðru hýz kullanarak karar verebiliriz. Bundan dolayý saha uygulamalarýndan baþlayarak veri işleme kadar doðru hýzýn tanýmlanmasý için gerekli olan verinin elde edilmesi gerekmektedir. Son ýýllarda yaygýnlaþan derinlik kesitlerinin yorumunun mutlaka zaman domenindeki sismik yorumla karþýlaþýrýlmasý gerekmektedir. Bu iki harita arasýndaki farklýlýðýn irdelemesi bizi doðru hýz seçimine dolayýsýyla geçek derinliðe götürürecektrir.



**Bekil 18.** Yüksek hýzlý formasyonlarýn (küreçtaþý ve bazalt vb.) ortalama hýza etkisi.

**Figure 18.** The effect of high-velocity formations on the average velocity.

## DEÐÝNÝLEN BELGELER

Elag, M. O. and Amara, F., 2009, Depositional Facies and Reservoir Characteristics of the Upper Sabil Formation in Concession 103A Field, Sirt Basin, Libya: Zueitina Oil Company, Türkiye 17. Uluslararası Petrol ve Doðalgaz Kongre ve Sergisi. Ankara, Türkiye.

- Etris, Edward L. et al., 2001, True Depth Conversion: More Than a Pretty Picture, CSEG, November.
- Fink. L., 1999, Some Fundamentals of Depth Conversion, Landmark.
- Furniss, A., 2000, An Integrated Pre-Stack Depth Migration workflow using Model-Based velocity estimation and refinement: Geohorizons Vol: I, n.1.
- H. Stewart Edgell, 1997, Significance of reef limestones as oil and gas reservoirs in the Middle East and North Africa: The 10<sup>th</sup> Edgeworth David symposium, held at the University of Sydney.
- Maria Cameron, 2006, University of California at Berkeley, Sergey Fomel, University of Texas at Austin, and James Sethian, University of California at Berkeley, Seismic velocity estimation and time to depth conversion of time-migrated images, SEG/New Orleans 2006 Annual Meeting.
- Miller., 1974, Stacking of Reflections from Complex Structures: Geophysics, V.34, 427-440.
- Perinçek. D., 1998, G. D. A. Jeolojisi Ölçülmüş jeolojik Kesitleri: Çanakkale Onsekiz Mart Üniversitesi.
- Sheriff, Robert E., 2006, Uygulamalý Jeofiziðinin Ansiklopedik Sözlüðü: TMMOB, Jeofizik Müh. Odası Yayýný, No: 7.
- Tüysüz. O, 2008, Petrol Jeolojisi Ders notları: I.T.Ü, Avrasya Yerbilimleri Enstitüsü.
- Us, A. E, 2005, Sismik yöntemler ve yorumlama giriþ: TMMOB, Jeofizik Müh. Odası Yayýný, No: 2.



## PALYNOMORPH AND FORAMINIFER CONTENT OF THE LOWER MIocene (AQUITANIAN) KAVAK FORMATION OUTCROPPING IN BURDUR AREA

### BURDUR ALANINDA YÜZLEK VEREN ALT MÝOSEN (AKÝTANÝYEN) KAVAK FORMASYONU'NUN PALÝNOMORF VE FORAMÝNÝFER ÝÇERÝKLERÝ

Mehmet Serkan AKKÝRAZ\*, Funda AKGÜN\*\* ve Sefer ÖRÇEN\*\*\*

\* Department of Geological Engineering, Dumlupýnar University, 43270, Kütahya, Turkey

\*\* Department of Geological Engineering, Dokuz Eylül University, 35160, Buca, Ýzmir, Turkey

\*\*\* Department of Geological Engineering, Yüzüncü Yýl University, Zeve Campus, Van,  
Turkey

#### ABSTRACT

Foraminiferal and palynological data recovered from the Kavak Formation of the Burdur area, paints out an Early Miocene (Aquitianian) age, based on the co-occurrence of stratigraphic markers such as *Lepidocyclina cf. dilatata*, *Longapertites retipiliatus*, *Plicatopollis plicatus* and *Plicatopollis hungaricus*. The sediments were deposited in a marginally marine environment under terrestrial influence, as indicated by the presence of palynomorphs and very rare dinocysts. The presence of *Longapertites retipiliatus* (Lepidocaryoidae) which is a back-mangrove element, suggests a coastal environment. The diversity of the angiosperm palynoflora, which forms the bulk of the assemblage, is thought to indicate a dense lowland vegetation cover. All palynological and foraminifer data describe that sea level oscillation occurred during the deposition of the Kavak Formation.

Palaeoclimatic conditions are warmer on the coastal environment, as evidenced by the presence of Lepidocaryoidae, than the upland environment where a mean annual temperature was in between 17.2 and 20.8 °C. Mean annual precipitation data indicate over 1000 mm under high rainfall during the Aquitanian.

**Keywords:** Turkey, Burdur area, Early Miocene, Palynomorph, Foraminifer, Palaeoclimate.

#### ÖZ

*Lepidocyclina cf. dilatata*, *Longapertites retipiliatus*, *Plicatopollis plicatus* ve *Plicatopollis hungaricus* gibi stratigrafik belirteç formlara göre, Burdur alanýnýn Kavak Formasyonu'ndan alýnan palinolojik ve foraminifer verileri, Erken Miyosen (Akitaniyen) yapýý belirtir. Tortullar, palynomorflar ve çok nadir olarak dinoflagellalarýn varlýðý ile karasal etki altýnda denizel ortamda depolanmýþtýr. Bir mangrove gerisi elemaný olan *Longapertites retipiliatus* (Lepidocaryoidae) varlýðý kýyý ortamý belirtir. Topluluðun büyük bir kýsmýný oluþtururan angiosperm palynofloranýn çépitliliði, yoðun bir alçak alan vejetasyon örtüsünü belirttiðini dübündürür. Tüm palinolojik ve foraminifer veriler, Kavak Formasyonu'nun çökelmaný süresince, deniz seviyesinde salýnýmlarýn meydana geldiðini göstermektedir. Kýyý ortamýndaki paleoiklimsel koþullar, Lepidocaryoidae'nin varlýðý ile, daðýk alanda ki 17.2 ile 20.8 °C'den daha sýcaktýr. Yýllýk ortalama yaðýþ miktarý 1000 mm'nin üzerinde olup Akitaniyen süresince yüksek yaðýþ miktarýný tanýmlamaktadýr.

**Anahtar Kelimeler:** Türkiye, Burdur alaný, Erken Miyosen, Palinomorf, Foraminifer, Paleoiklim.

## **INTRODUCTION**

The lignite-bearing Cenozoic sediments outcropping in a wide area can be put into the following order from west to east: the Kale-Tavas, Denizli, Çardak-Tokça, Burdur and Yıncusu (Figure 1) and northeast-southwest oriented basins which developed an imbricated basement, consisting of Mesozoic rocks of Lycian Nappes, Bey Daðlary Autochthon and Palaeocene-Eocene supra-allochthonus (Sözbilir, 2002) sediments (Figure 2).

The Palaeocene-Eocene supra-allochthonous sediments rest unconformably on the different tectonostratigraphic suites, such as the Lycian Nappes (Poisson, 1976; Özkaya, 1991; Þenel, 1991; Collins and Robertson, 1997, 1998, 1999), the Menderes Massif (Poisson, 1976; Özkaya, 1991; Özer et al., 2001) and the Bey Daðlary carbonate platform (Özkaya, 1991; Collins and Robertson, 1998).

On the other hand, tectonic development of the Oligo-Miocene sediments which unconformably overlie the supra-allochthonous sediment has been interpreted regarded as the sediments deosited in piggy-back basins (Akgün et al., 2000; Sözbilir, 2002; Gürer and Yílmaz, 2002) or molasse basins (Koçyiðit, 1984; Göktap et al., 1989; Yaðmurlu, 1994; Akgün and Sözbilir, 2001 ve 2005) (Figure 2). These basins are accepted as sequences of continental and shallow marine sediments of transition between palaeotectonic and neotectonic periods in western Turkey (Koçyiðit, 1984). In these basins, sedimentary sequences are described by interdependence between tectonism and sedimentation, the latter of which involves fining-and coarsening-upward sedimentary cycles. In some places, the sequences include reefoidal limestones.

Further northeast on the Burdur area (Figure 2), Oligo-Miocene rocks are represented by Acýgöl Group, consisting of a succession dominated by terrestrial to shallow marine deposits.

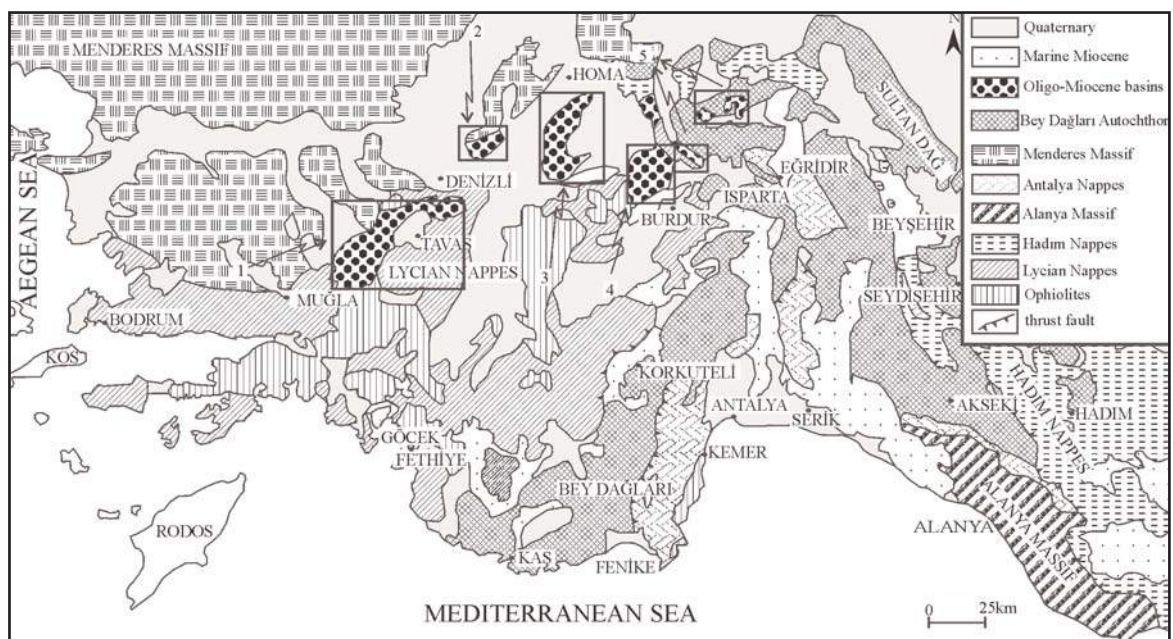
Field studies on northern part of the Burdur area were carried out around the Kavak village (Figure 3). In the area, pre-Eocene basement is represented by ophiolitic melange and olistostrome of the Lycian Nappes (Poisson, 1976). The uncormably

overlying Eocene Varsakyayla Formation is of about 270 m in thickness (Figure 4), and generally consists of sandstone, mudstone, and limestone alternation with lignite, deposited in the beach shallow shelf environment. In the area, the Acýgöl Group attains its maximum thickness about 1650 m and consists of two formations namely from bottom to top Saraycýk and Ardýçlý (Figure 4).

The Oligocene Saraycýk Formation described by Þenel (1997) has about 150 m total thickness, and is made up of sandstone and claystone, deposited in the terrestrial environment (Figure 4). The same unit has previously named as Küçükþöy Formation by Yalçýnkaya et al. (1986). The formation laterally and vertically grades into the Ardýçlý Formation, which is made up of thick polygenic conglomerates with recrystallized limestone lenses named as Delikarkasý Formation, deposited in the shallow shelf environment under terrestrial influence (Þenel, 1997) (Figure 4). The formation has been described by Yalçýnkaya et al. (1986) and its total thickness is about 1000-1500 m (Figure 4). The Oligocene sediments observed in the Burdur area were not suitable for palynological and foraminifer examinations because of their coarse -grained clastic nature.

The uncorformably overlying Kavak Formation has about 50 m total thickness, and is generally composed of conglomerate, sandstone, mudstone including lignite and reefoidal limestone, deposited in a beach shallow-shelf environment. The same unit was previously named as Atabey Formation by Yalçýnkaya et al. (1986). It has deformed fossil fragments, plant debris, lignite parts and reefal limestones, comprising coral colony, gastropods, bivalves and a rich benthic foraminifer assemblage (Figures 5-7). In the sequence, synsedimentary structures and small scale variations in grain sizes produced by variation of current velocities also occur (Figures 6 and 7). An Aquitanian age is proposed on the basis of *Lepidocyclus eulepidina*, *L. nephrolepidina*, *Miogypsinoides* sp., *Astrotrillina* sp., *Halkyardia* sp. and *Calcarina* sp. (Yalçýnkaya et al. 1986).

So far, palaeontological studies on the Oligo-Miocene sediments, observed in the



**Figure 1.** Simplified geological map of the Oligo-Miocene basins in SW Turkey showing five exposures of deposits; 1) Kale-Tavas, 2) Denizli, 3) Çardak-Tokça, 4) Budur, 5) Ýncesu (modified from Gutnic, 1977; Akgün and Sözbilir, 2001).

restricted areas, have mainly been focused on western Turkey (Thrace, Kale-Tavas, Çardak-Tokça, Yataðan, Ören, Ýncesu) (Gökcen, 1982; Hakyemez, 1989; Batý, 1996; Akgün and Sözbilir, 2001; Akkiraz and Akgün, 2005; Özcan et al., 2009; Akkiraz et al., in press). Akgün and Sözbilir (2001) determined an Aquitanian palynoflora from the Kale-Tavas basin fill corresponding to Benda's Kurbalýk assemblage. Additionally, Sancay et al. (2006) studied biostratigraphically Muþ basin (Ebulbahar and Keleþdere sections) using different fossils, planktonic foraminifera, nannoplankton, and palynomorphs, and described a rich palynomorphs assemblage from the Aquitanian.

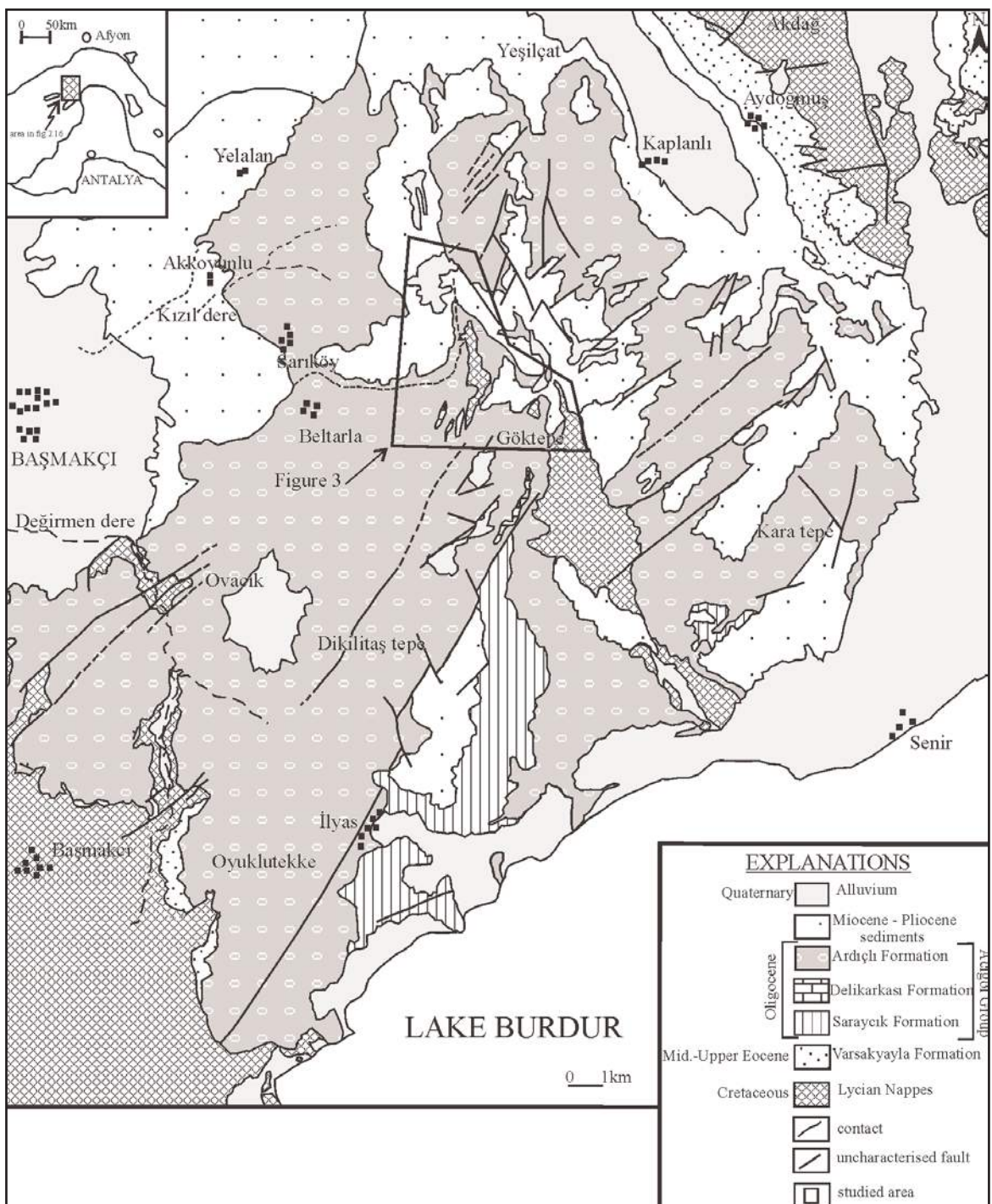
As indicated, Aquitanian palynoflora is limited on Turkey. For this, the study presents biostratigraphical and palaeoecological results of the Aquitanian Kavak Formation. The main objective of this study is to first provide palynological and foraminifer evidences from the formation, to calibrate palynological and benthic foraminifer results, to ascertain depositional environments, and to interpret qualitative palaeoclimatic conditions during the deposition of the Kavak Formation.

## MATERIAL AND METHODS

In this study, twenty-three palynological samples from two measured stratigraphical sections were collected from the Kavak Formation, consisting of shallow marine foraminifers and lignites which are rich in the palynomorphs (Figures 6 and 7). To determine the foraminifers, we obtained thirty-one samples. Additionally, small scaled cross sections were taken from the Kavak Formation as well (Figure 8). Ten grams of each sample were treated with HCl, HF and HNO<sub>3</sub> for the palynological preparations. The organic residue was screened through an 8 µm mesh screen and 2 and 6 slides per sample of the >8 µm fraction were prepared for transmitted light microscopy. Pollen counts were carried out at 400 X using an Olympus microscope. Palynological samples were counted between 94 and 198 grains for each specimen (Table 1). All species obtained have been schematized in the Plate 1.

To reconstruct the paleoenvironment of the Kavak Formation in western Anatolia, the statistical analyses were done using the PAST programme developed by Ryan et al. (1995). The unweighted pair-groups method (UPGMA) and Centroid clustering have been

**Palynomorph and Foraminifer Content of the Lower Miocene.....**

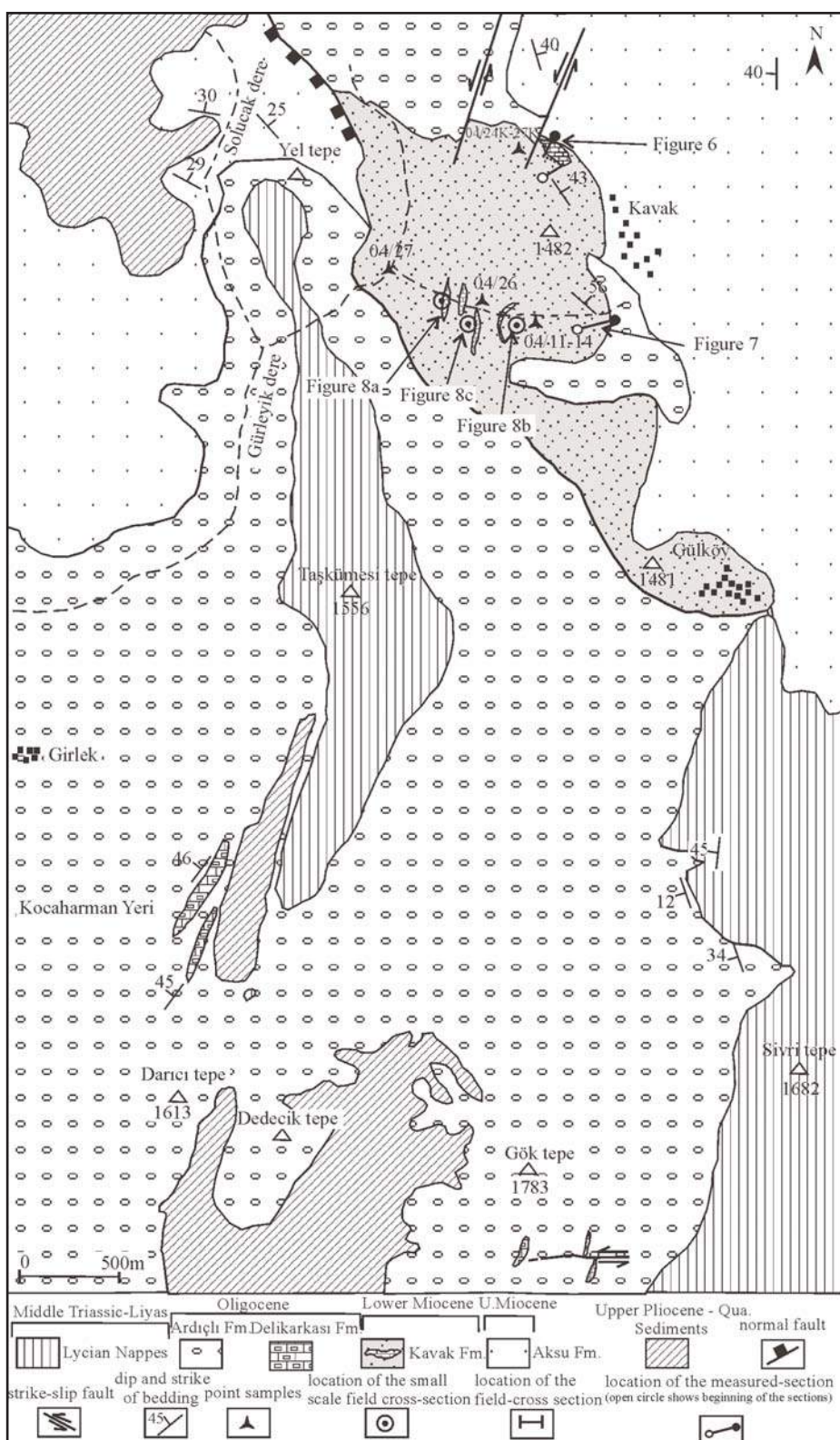


**Figure 2.** Geological map of the northern part of Lake Burdur (modified from Penel, 1997). See Figure 1 for location.

used by Kovach (1989). The similarity indexes used are Bray-Curtis Measure (Figure 10). Moreover, both samples and palaeocommunities have been applied to the non-metric multidimensional scaling (MDS), using the

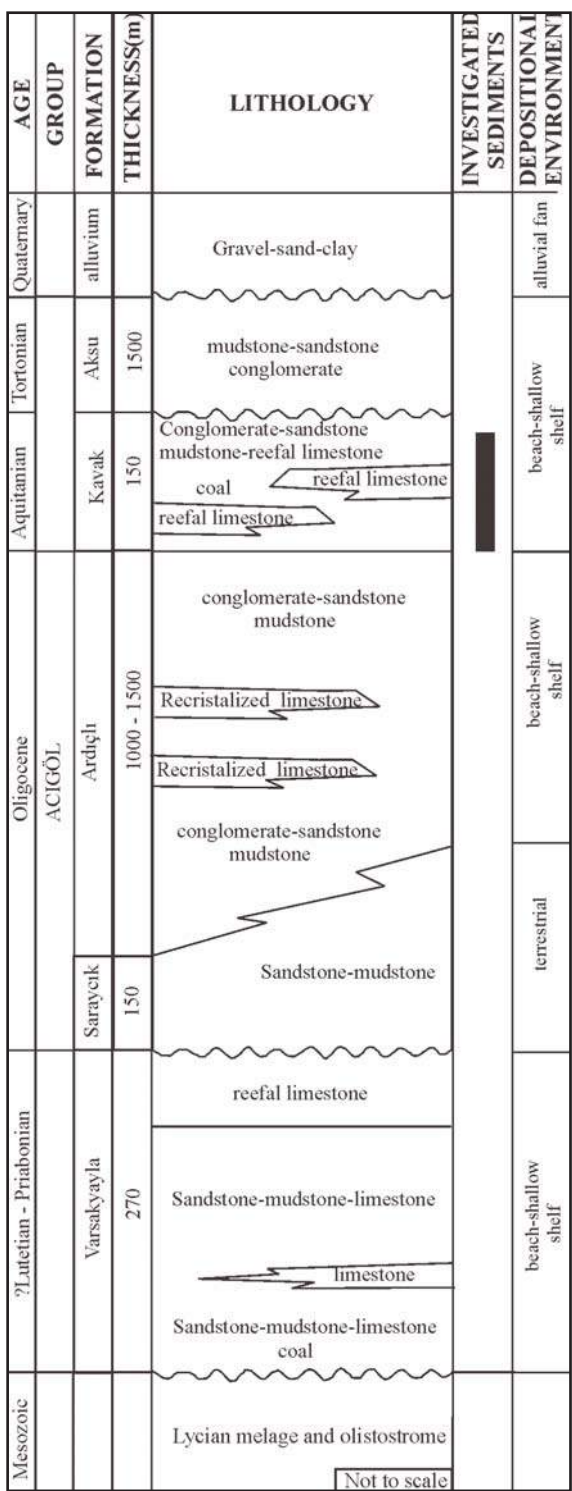
Euclidean distance (Figures 11 and 12). Thin sections were prepared to analyze the foraminiferal assemblages.

In addition, the palynoflora has also been analyzed quantitatively using the coexistence

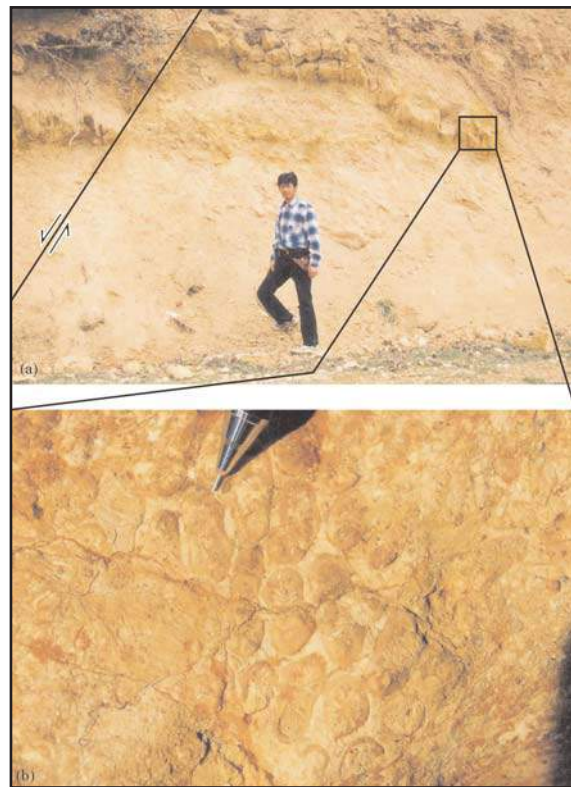


**Figure 3.** Geological map of surrounding Kavak Village. See figure 2 for location. Location of geological cross-sections, measured sections and point samples are indicated.

## **Palynomorph and Foraminifer Content of the Lower Miocene....**

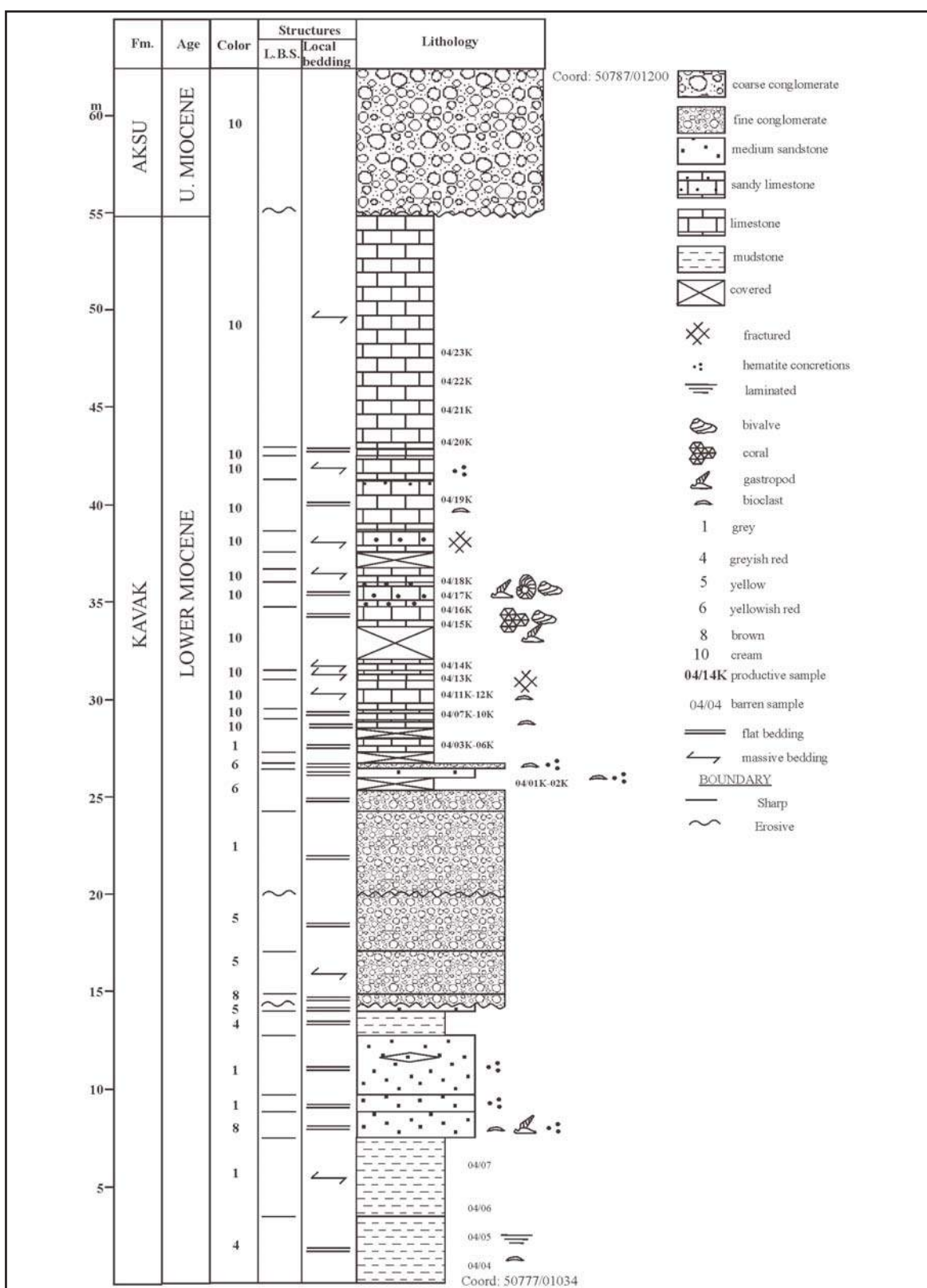


**Figure 4.** Generalized lithostratigraphic columnar section of the Burdur basin illustrating investigated sediments and inferred depositional environments of formations (Yalçýnkaya et al., 1986; Penel 1997).



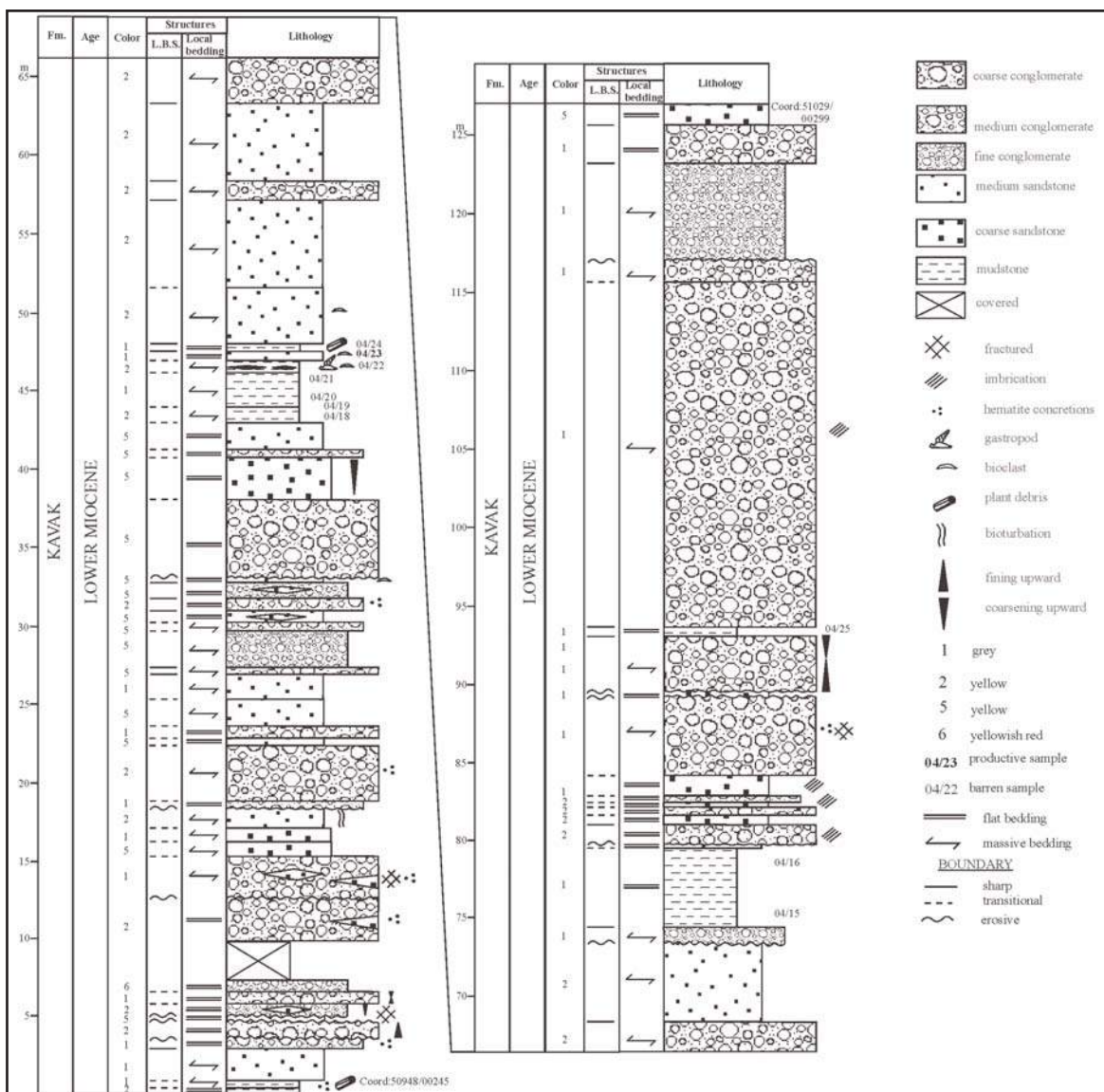
**Figure 5.** Field photographs showing (a) synsedimentary normal fault in the Kavak Formation (Coordinates: 50780/01150), (b) close-up view of limestone including coral colony (Coordinates: 50780/01150).

approach proposed by Mosbrugger and Utescher (1997) for climatic analysis. The aim of the coexistence approach is to find the intervals of various climate parameters for a given fossil flora in which a maximal number of nearest living relatives (NLR) of this flora may coexist. These coexistence intervals are considered the best description of the palaeoclimatic situation under which the fossil flora lived. The application of the coexistence approach is facilitated by use of a computer programme, ClimStat, and the Palaeoflora database. Our palynoflora has been analysed with respect to 4 climate parameters, MAT: mean annual temperature ( $^{\circ}\text{C}$ ), CMT: mean temperature of the coldest month ( $^{\circ}\text{C}$ ), WMT: mean temperature of the warmest month ( $^{\circ}\text{C}$ ) and MAP: mean annual precipitation (mm).



**Figure 6.** Measured section of the Kavak Formation northwestern part of the Kavak Village (see Figure 3 for location).

**Palynomorph and Foraminifer Content of the Lower Miocene.....**

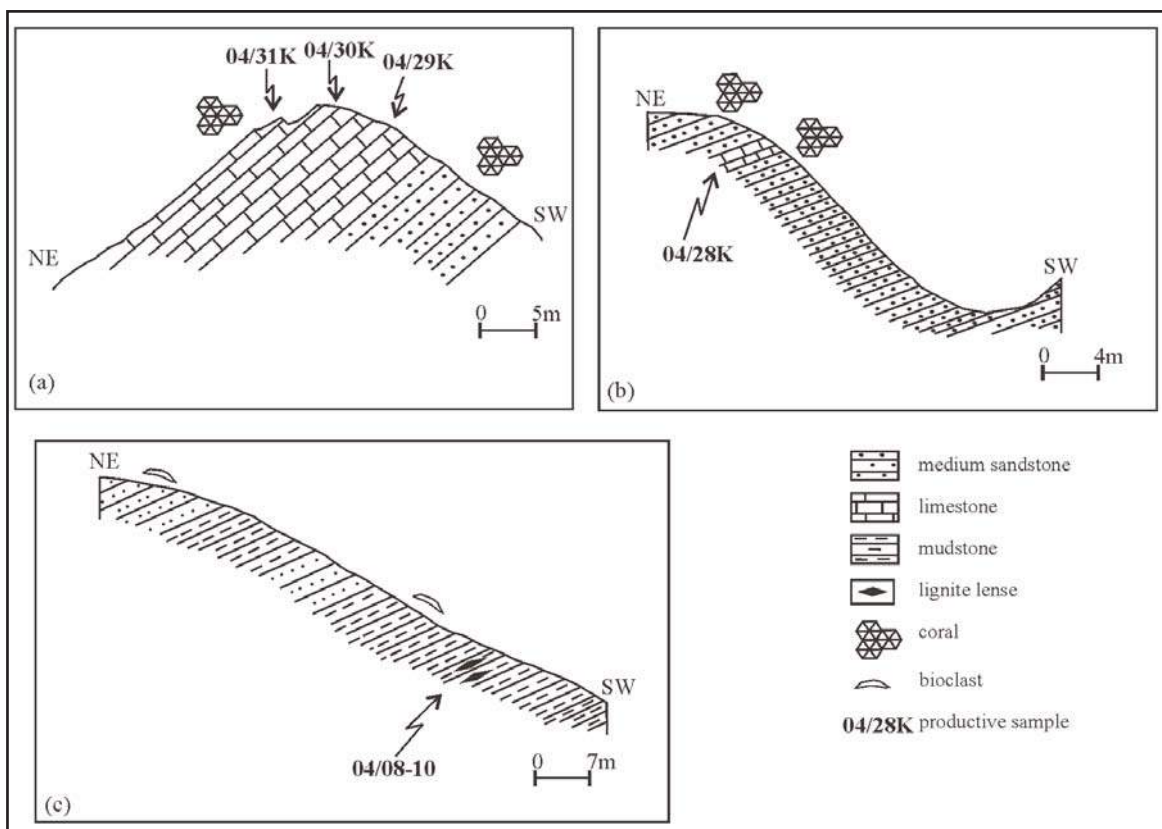


**Figure 7.** Measured section of the Kavak Formation southeastern part of Kavak Village (see Figure 3 for location).

#### FORAMINIFERA DATA

Thirty-one foraminifer samples were taken from the Kavak Formation (Figures 3, 6 and 8). Nevertheless, twenty-nine samples were productive with regard to foraminifer content (Figure 9). *Amphistegina* sp., *Heterostegina* sp., *Pararotalia* sp., Haurinidae and Rotaliididae occur nearly in all samples (Figure 9). The species of *Lepidocyclus* cf. *dilatata* and *Sphaerogypsina globulus* occur in the samples of 04/03K and 04/24K, respectively (Figure 9). On the basis of the foraminifer content, and also the presence of

*Lepidocyclus* cf. *dilatata*, the age of the Kavak Formation is of Early Miocene (Aquitanian) and consistent with previous record made by Yalçýnkaya et al. (1986). The genera *Archaias* sp. and *Astrotrillina* sp. occur together with *Lepidocyclus* cf. *dilatata* in the samples and their presence indicate a forereef environment. The limestones were accumulated in a carbonate shelf environment oriented towards an open marine environment.



**Figure 8.** Geological small cross-sections from the Kavak Formation.(a) Thick-bedded limestone including coral colony (Coordinates: 50242/00486), (b) medium to thick bedded sandstones with coral colony (Coordinates: 50500/00346), (c) coaly fine grained sediments (Coordinates: 50339/00380). See figure 3 for location.

#### PALYNOLOGICAL DATA

Twenty-three samples were taken from the Kavak Formation (Figures 3, 6, 7 and 8). Of which only five were suitable for palynological counting. The flora is represented by forty species (Figure 7; Table 1). Palynological counts range between 94 and 198 grains/specimen. The number of angiosperm pollen is always higher than gymnosperm and spores (Table 1). *Momipites punctatus* (30%), *Tricolpopollenites microhenrici* (3%) and *Tricolporopollenites cingulum* (8%) commonly present in Tertiary, occur very frequently in the palynomorph assemblage (Table 1). However, from the biostratigraphical point of view, there is no importance of these species. If we think about that relative percentages and diversities of spores were high during Oligocene, their percentages are represented by lower percentages in the assemblage (~1%). Conversely, *Momipites quietus* represented by higher percentages in Eocene and

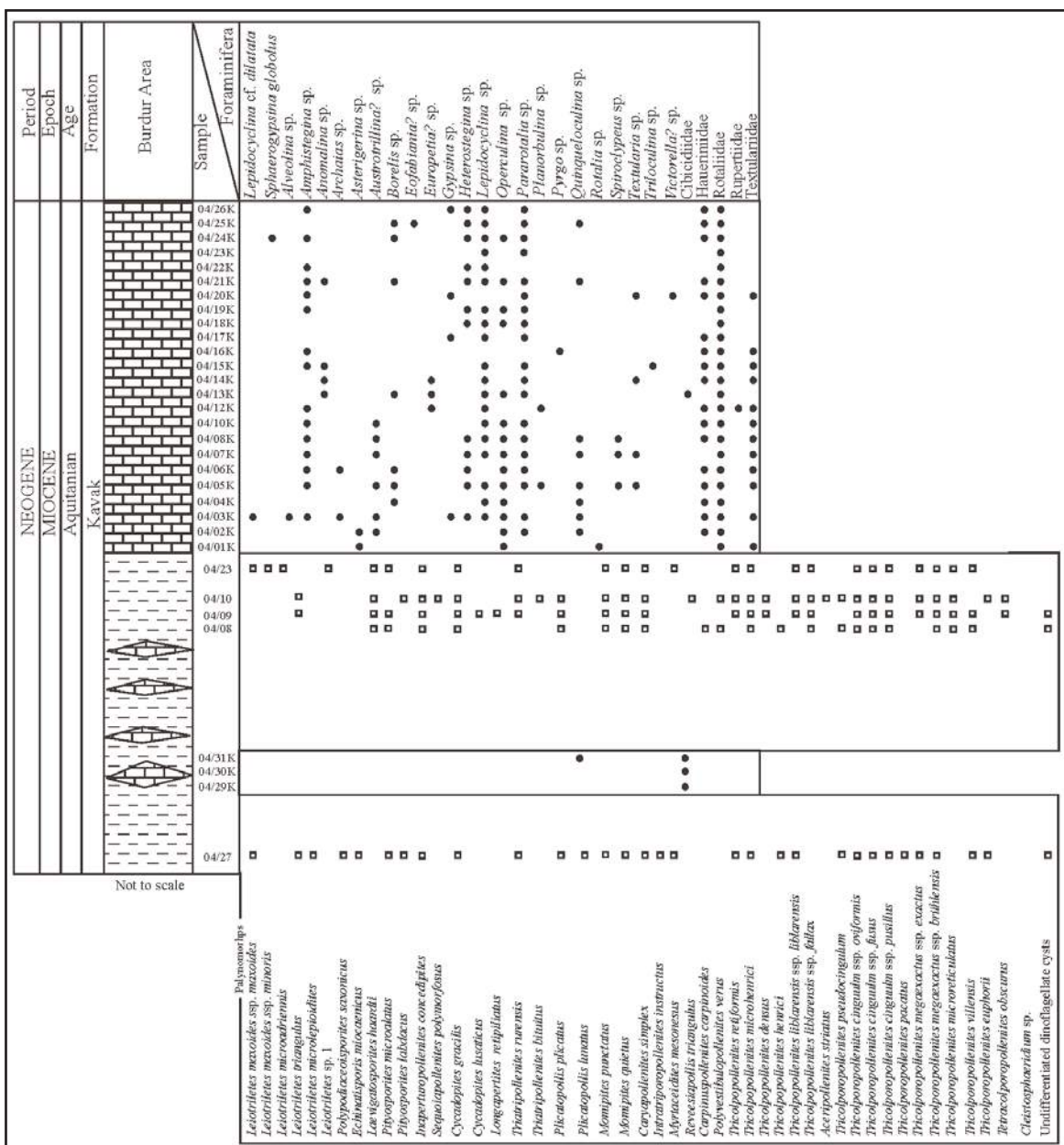
Oligocene sediments occurs in low frequencies in the assemblage. Additionally, *Longapertites retipiliatus* and some plicoid forms like *Plicatopollis plicatus* and *Plicatollis hungaricus*, which were regularly present in Eocene and Oligocene, also occur in the samples of the Kavak Formation (Table 1).

Furthermore, it is necessary to state that herbs such as Graminae, Chenopodiaceae, Compositae, Umbelliferae, which are represented by regularly and low percentages in Middle Miocene of western Turkey, do not occur in the assemblage. Previous works show that their percentages rise up to Upper Miocene and Pliocene in western Turkey. So the Kavak Formation should be older than Middle Miocene and should be an Early Miocene which is consistent with foraminifer dating. *Cleistosphaeridium* sp. and undifferentiated dinoflagellate cysts indicating a marine influence were determined in the assemblage as well.

**Palynomorph and Foraminifer Content of the Lower Miocene.....**

**Table 1.** Quantitative counting results of palynomorphs encountered in the Kavak formation of the Burdur basin.

TAXA		Palaeovegetation Types	Sample Numbers
		04/08 04/09 04/10 04/27	04/23
<b>SPORES</b>			
<i>Leitorites maxoides</i> ssp. <i>maxoides</i>	(Schizaceae: ? <i>Lygodium</i> )	3	18
<i>Leitorites maxoides</i> ssp. <i>minoris</i>	(Schizaceae: ? <i>Lygodium</i> )	2	1
<i>Leitorites microadiensis</i>	(Schizaceae: ? <i>Lygodium</i> )		
<i>Leitorites triangulius</i>		1	3
<i>Leitorites microleptoides</i>	(Dennstaedtiaceae: ? <i>Microlepia</i> )	4	1
<i>Leitorites</i> sp. 1	(Pteridaceae: <i>Pteris</i> )		
<i>Polyopodiacisporites saxonicus</i>	(Selaginella)	1	1
<i>Echinatisporis miocenicus</i>	(Polypodiaceae)		
<i>Laevizasporites haardti</i>		2	1
<b>GYMINOSPERMOUS</b>	(Pinaceae: <i>Pinus</i> haploxyylon type)	3	1
<i>Phylosporites microalans</i>	(Pinaceae: <i>Pinus</i> sylvestris type)	5	2
<i>Phylosporites tabacacis</i>		4	6
	Montane		
<b>ANGIOSPERMOS</b>			
<b>MONOCOTYLEDONEAE</b>			
<i>Inaperturopollenites concedicspis</i>	(Taxodiaceae)	3	7
<i>Septiatopollenites polyformosus</i>	(Taxodiaceae: <i>Sequoia</i> )	12	7
<i>Cyacadoptites gracilis</i>	(Cycadaceae: <i>Cycas</i> )	1	8
<i>Cyacadoptites lusitanicus</i>	(Cycadaceae: ? <i>Cycas</i> )	3	2
<i>Longaporites reticulatus</i>	(?Arecaceae: ? <i>Lepidozamia</i> ?)	2	3
<b>DICOTYLEDONEAE</b>			
<i>Triariopollenites riurenensis</i>	(Myricaceae: <i>Myrica</i> )	1	6
<i>Triariopollenites biutinus</i>	(Myricaceae: <i>Myrica</i> )	1	2
<i>Plicatopollenites gracilis</i>	(Juglandaceae)	2	7
<i>Cyatopollenites hungaricus</i>	(Juglandaceae)	2	1
<i>Longaporites reticulatus</i>	(Juglandaceae: <i>Engelhardia</i> )	70	5
<i>Momipites punctatus</i>	(Juglandaceae: <i>Engelhardia</i> )	63	5
<i>Momipites quinatus</i>	(Juglandaceae: <i>Carya</i> )	11	3
<i>Caryopollenites simplex</i>	(Tiliaceae: <i>Tilia</i> )	2	2
<i>Intratriloculopollenites instructus</i>	(Myrtaceae)	1	2
<i>Myriacitellites mexicanus</i>	(Sierculaceae: <i>Reevesia</i> )	1	1
<i>Revestapolites triangularis</i>	(Betulaceae: <i>Carpinus</i> )		
<i>Carpinopollenites carpinoidea</i>	(Betulaceae: <i>Alnus</i> )	1	1
<i>Polyvestulopollenites verus</i>	(Salicaceae: <i>Salix/Platanus</i> )	1	1
<i>Tricolporopollenites retiformis</i>	(Fagaceae: <i>Quercus</i> )	12	2
<i>Tricolporopollenites microbenzioni</i>	(Fagaceae: <i>Quercus</i> )	10	7
<i>Tricolporopollenites densis</i>	(Fagaceae: <i>Quercus</i> )	7	6
<i>Tricolporopollenites henrici</i>	(Fagaceae: <i>Quercus</i> )	1	1
<i>Tricolporopollenites libanensis</i> ssp. <i>libanensis</i>	(Fagaceae: <i>Quercus</i> )	21	1
<i>Tricolporopollenites libanensis</i> ssp. <i>fallax</i>	(Fagaceae: <i>Quercus</i> )	42	1
<i>Aceropollenites striatus</i>	(Aceraceae: <i>Acer</i> )	5	4
<i>Tricolporopollenites pseudocingulum</i>	(Anacardiaceae: <i>Rhus</i> )	5	2
<i>Tricolporopollenites cingulum</i> ssp. <i>uniformis</i>	(Fagaceae: <i>Castanea/Castanopsis/Lithocarpus/Pasania</i> )	4	2
<i>Tricolporopollenites cingulum</i> ssp. <i>fusus</i>	(Fagaceae: <i>Castanea/Castanopsis/Lithocarpus/Pasania</i> )	4	3
<i>Tricolporopollenites cingulum</i> ssp. <i>pusillus</i>	(Smilacaceae)	10	14
<i>Aceropollenites pacatus</i>	(Aceraceae)	14	3
<i>Tricolporopollenites megacecatus</i> ssp. <i>exactus</i>	(Cyrillaceae)	2	2
<i>Tricolporopollenites megacecatus</i> ssp. <i>brithensis</i>	(Oleaceae: <i>Olea/Fraxinus/Ligustrum</i> )	1	1
<i>Tricolporopollenites microreticulatus</i>	(Cupuliferae)	2	1
<i>Tricolporopollenites vilensis</i>	(Araliaceae)	3	1
<i>Tricolporopollenites euphorii</i>	(Sapotaceae)	1	1
<i>Tetracolporopollenites obscurus</i>		1	1
<b>INCERTAE CEDIS</b>			
<i>Cleistosphaeridium</i> sp.	Marine	1	1
Undifferentiated dinoflagellate cysts		2	1
Total		195	193
		122	94



**Figure 9.** Occurrence of palynomorphs and benthic foraminifers in the Kavak Formation (See figures 3, 6, 7 and 8 for locations of samples).

### PALAEOECOLOGY

To reconstruct the palaeoenvironment during the deposition of the Kavak Formation, definite ecological marker taxa have been selected from the published literature. The ecological characteristics of species have been grouped under generic headings, such as lowland-riparian (e.g. Myricaceae, Juglandaceae, Betulaceae) Swamp-freshwater elements (Schizaceae, Polyodiaceae, Taxodiaceae) (Table 1). The palynological

assemblage obtained is represented by low species diversification (Table 1). Swamp-freshwater elements are represented by high abundance of *Inaperturopollenites* concedipites (~5%) (See Table 1 for the numbers). Lowland-riparian elements consist mainly of *Momipites punctatus* (~53%) and *Tricolporopollenites cingulum* (~13%). Montane elements are made up of high percentages of *Tricolporopollenites microchenicci* (~9%). Back-magrove element *Longapertites*

### **Palynomorph and Foraminifer Content of the Lower Miocene.....**

retipiliatus has been described as a individual grains. Besides, marine palynomorphs *Cleistosphaeridium* sp. and undifferentiated dinoflagellate cysts have scarcely been reported in the samples as well (Table 1).

To reconstruct the palaeoenvironment, both samples and palaeocommunities have been applied to cluster analysis and MDS (Figures 10-12). The unweighted pair-group (UPGMA) Bray Curtis measure Cluster Analysis of samples and palaeocommunities defined both of the assemblages (Figure 10).

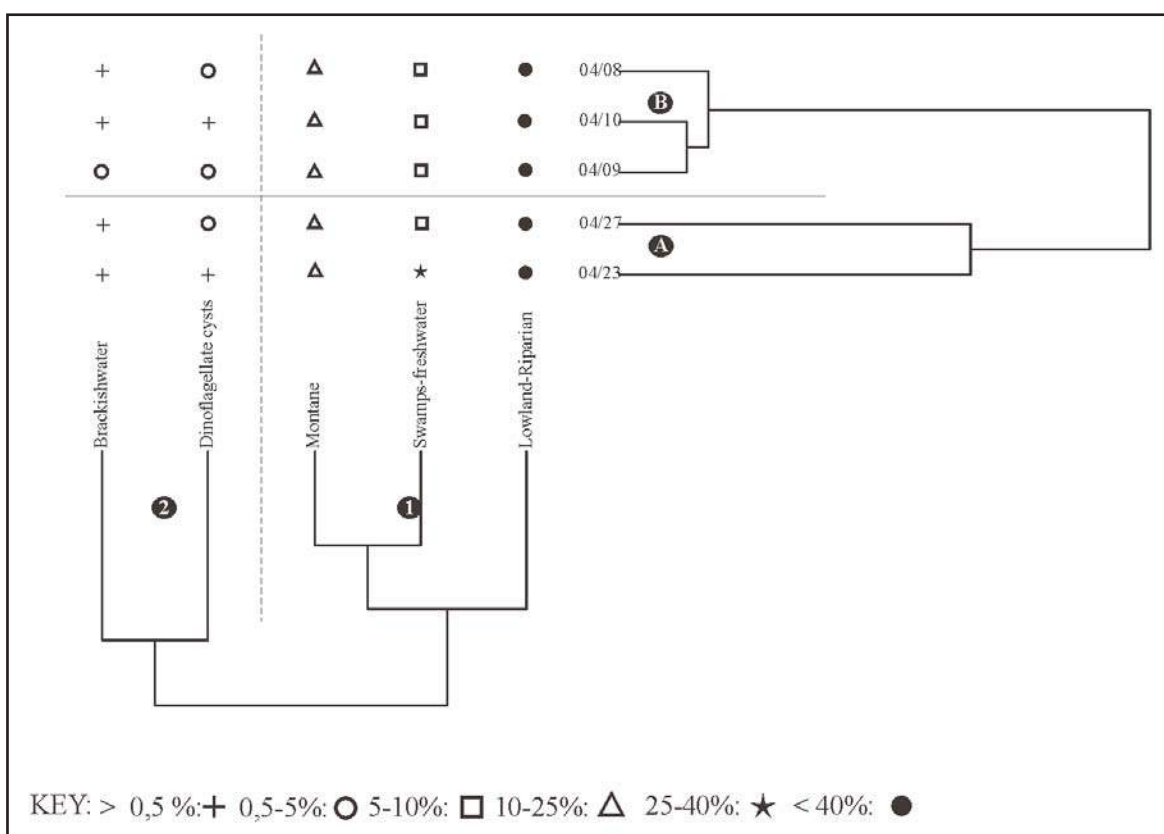
In the palaeocommunity dendrogram, assemblage 1 is made up of swamp-freshwater, lowland-riparian and montane elements (Figure 10). Assemblage 2 consists of brackish water elements and marine dinoflagellate cysts (Figure 10). In the sample dendrogram, cluster A is represented by a dominance of lowland-riparian elements and swamp-freshwater elements and absence of dinoflagellate cysts and brackish water elements corresponding to the palaeocommunity cluster 1

(Figure 10). Sample cluster B which is the equivalent of cluster 2 is characterized by presence of dinoflagellate cysts and brackish water elements indicating a marine condition (Figure 10).

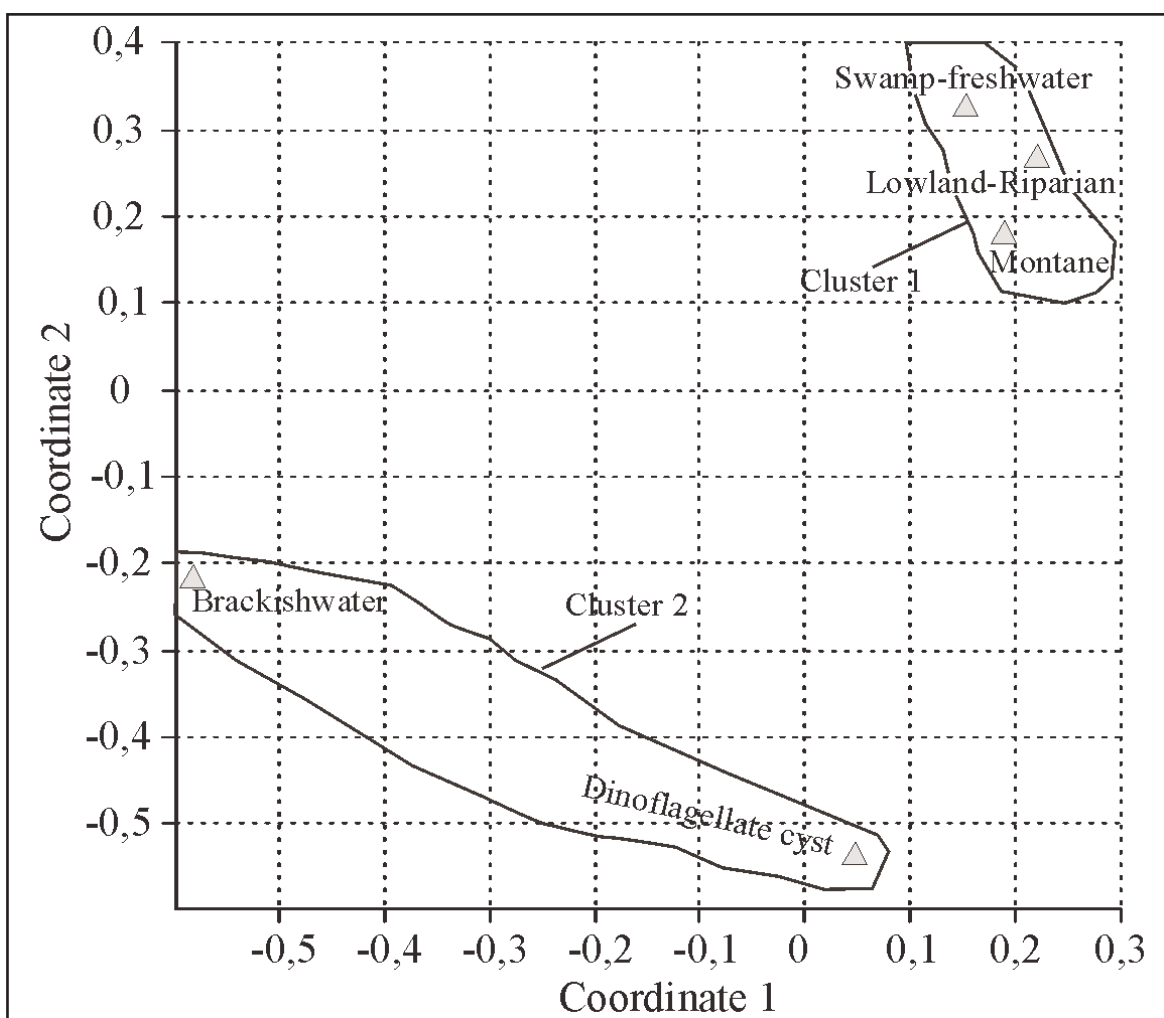
As well as cluster analysis, samples and palaeocommunities have also been applied to non-metric multidimensional scaling (MDS), and Euclidean distance method is used (Figures 11 and 12).

The palaeocommunities that are situated at the positive part of second axis (cluster 1) determine terrestrial conditions when compared to the cluster 2, which are located at the negative side of second axis (Figure 11). The samples located at the positive part of second axis correspond to cluster A and indicate relatively more marine conditions when compared to the samples that are situated at the negative part of second axis (Figure 12).

As given by the foraminifer data, the Kavak Formation includes well-preserved marine limestones containing benthic



**Figure 10.** Dendrograms for UPGMA cluster analysis of palaeocommunities (bottom) and samples (side), using Bray-Curtis measure (See figures. 3, 7 and 8 for the locations of the samples and table 1 for the relative percentages of species).



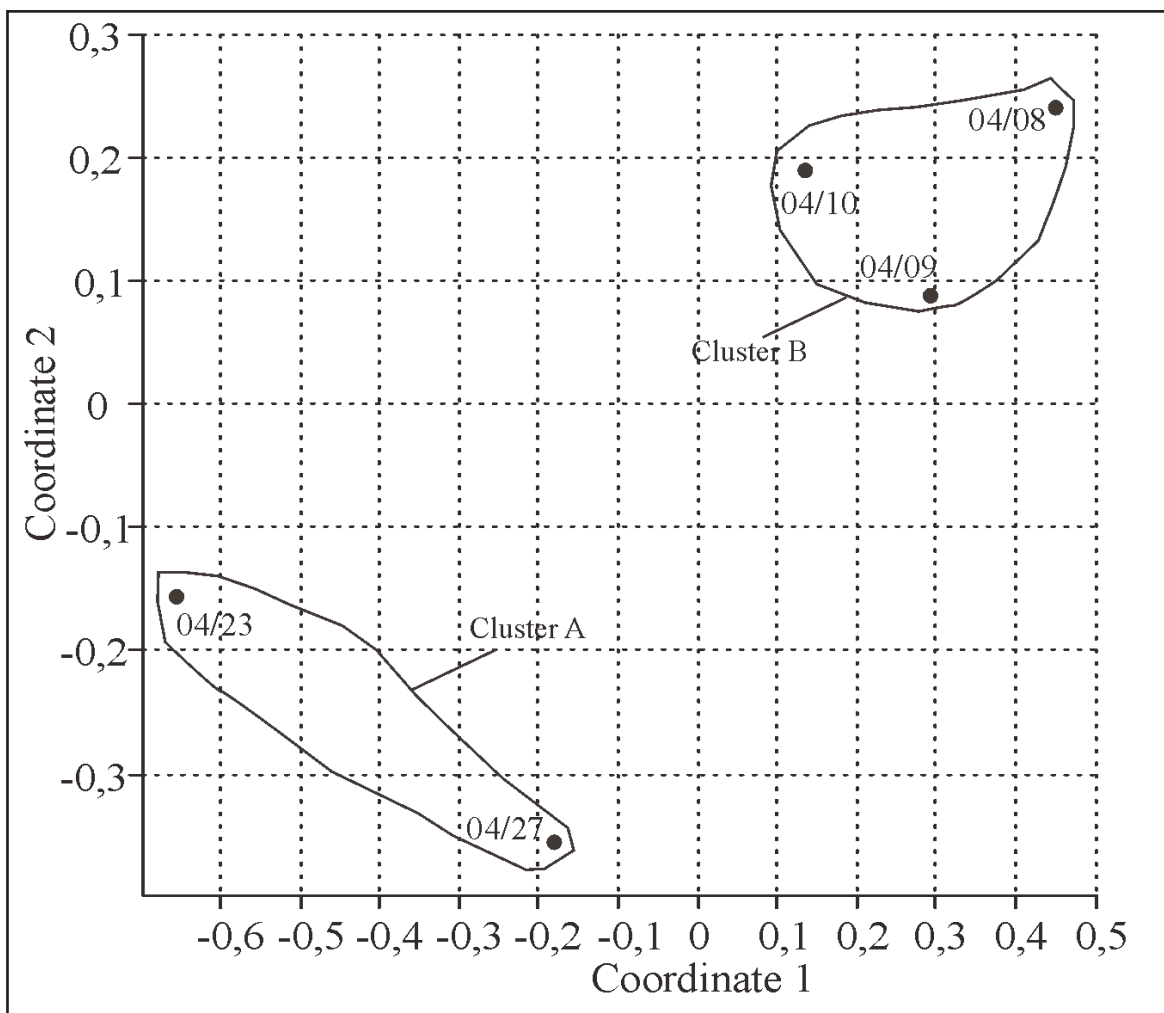
**Figure 11.** Scattergram of ecological groups ordination, from a two-dimensional MDS using the Euclidean distance. Stress= 0.1974. Groups identified on the cluster analysis diagram are indicated circled ecological groups.

foraminifers, corals, gastropods and bivalves. The foraminifer data indicate that the levels where the samples obtained were accumulated in a carbonate shelf environment oriented to the open marine environment.

When palaeovegetational and foraminiferal data have been schematized, it is clear to see the Early Miocene oscillation on the seal-level (Figure 13). The presence of marine limestones in the Kavak Formation indicates that the maximum sea-level conditions were obtained during deposition of the Kavak Formation (Figure 13).

#### PALEOCLIMATE

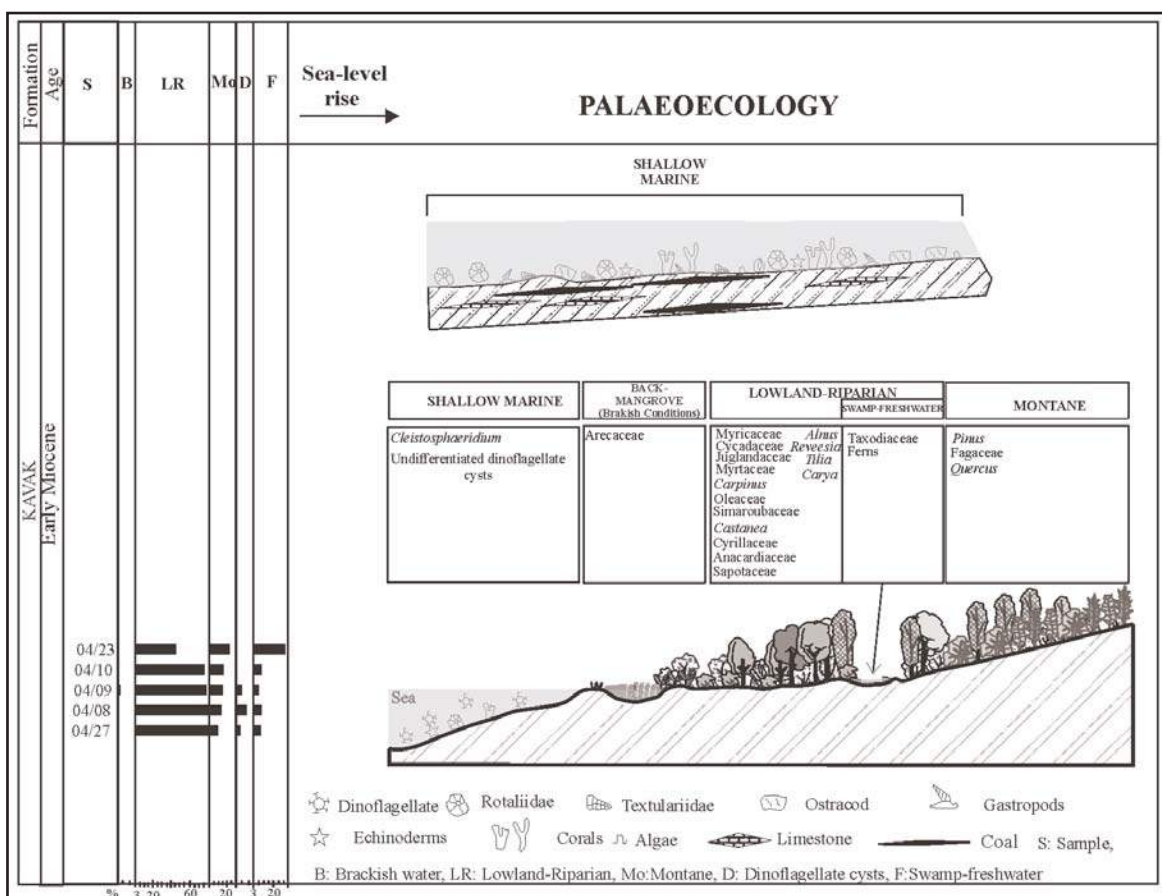
Forty species have been identified from the samples in the Kavak Formation. The palaeoclimatic reconstruction of the Kavak palynoflora relies on totally 17 taxa with known NLRs (Figure 14). The resulting coexistence interval for the MAT ranges from 17.2 to 20.8 °C with the borders of which range determined by *Trigonabalanus* and *Tilia*. The coexistence interval for the CMT from these data is between 5.5 and 13.3 °C determined by *Cycadaceae* and *Tilia*. The coexistence interval of the WMT is between 27.3 and 28.1 °C determined by *Cycadaceae* and *Myrica*. For the MAP, the coexistence approach yields values in between 1217 and 1355 mm determined by *Carpinus* and *Trigonabalanus*.



**Figure 12.** Scattergram of samples ordination, from a two-dimensional MDS using the Euclidean distance. Stress= 0.11 Groups identified on the cluster analysis diagram are indicated circled samples.

(Figure 14). In the assemblage, the palaeotropical elements ferns like *Leiotriletes* occur frequently in some samples. Sapotaceae occurs in the canopy. Data obtained indicate an evidence for altitudinal zones since the assemblage includes both a palm *Longapertites retipiliatus* (Lepidocaryoideae), indicating warmer and coastal area and *Pinus sylvestris* type, describing cooler upland area. As regards MAT, Lepidocaryoideae requires about 25°C at a minimum and its presence indicates MAT well above 20°C at least in lowland locations. Additionally, palaeotropical indicators (P) such as *Momipites*, *Reevesiapollenites triangulus*, *Tricolporopollenites euphorii*, *Tricolporopollenites megaexactus* ssp. *brühlensis*,

*Tricolporopollenites pseudocingulum* also take place in the assemblage. On the other hand, the arctotertiary elements (A) such as *Sequoiapollenites polyformosus*, *Plicatopollis plicatus*, *Caryapollenites simplex*, *Intratriporopollenites instructus*, *Carpinuspollenites carpinaoides*, *Polyvestibulopollenites verus*, *Tricolpopollenites liblarensis*, *T. densus*, *Tricolporopollenites cingulum*, *T. microreticulatus* and *Aceripollenites striatus* probably lived on hills. Although the climate data obtained has wide ranges, the climate was subtropical under high rainfall. The ratio in between palaeotropical and arctotertiary elements is represented by high percentages, and indicates a warm climate. These results are in accordance with the data



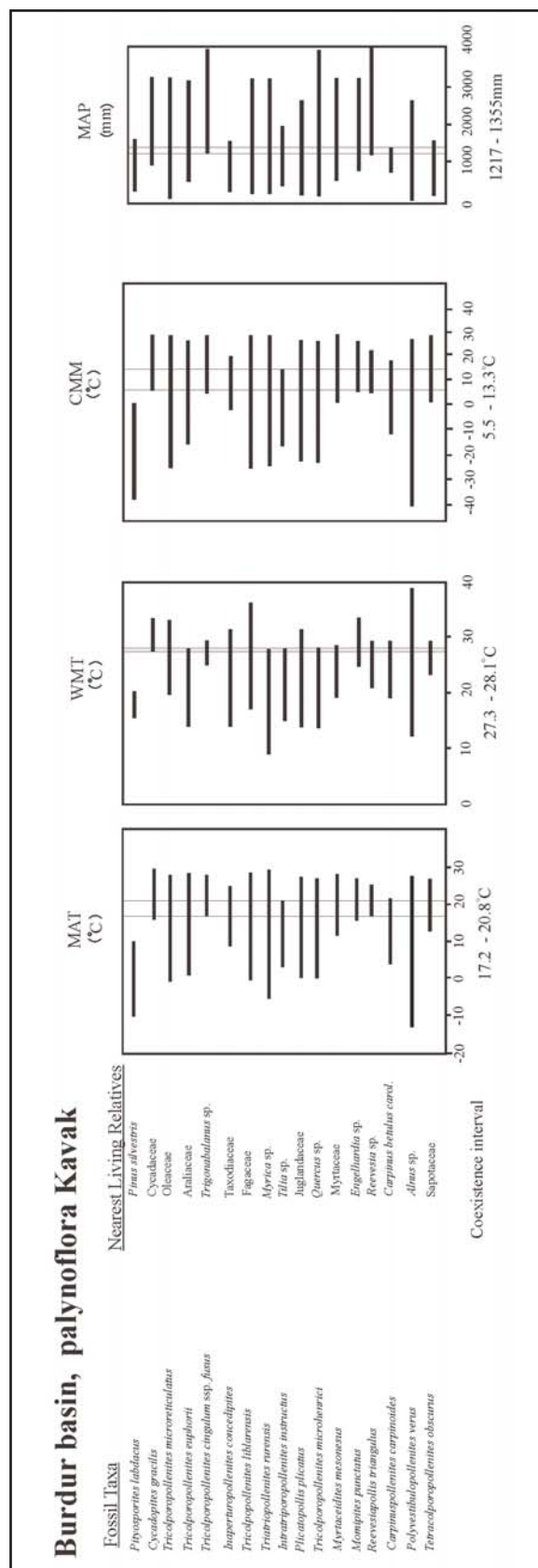
**Figure 13.** Palaeoenvironmental reconstruction of the Burdur Basin (Western Anatolia) during the deposition of coal-bearing Early Miocene Kavak Formation.

obtained from isotope records for Early Miocene (Buchardt, 1978; Yasamanov, 1982; Zachos et al., 2001)

According to Sancay et al. (2006), Oligo-Miocene sediments in eastern Turkey were deposited under temperate to subtropical climates, in which mean annual temperature differed from 15.6 to 21.3 °C. Akgün et al. (2007) have recorded warm climate conditions in the Early Miocene as well. According to Nagy (1990) and Planderová (1990), there was a warm subtropical climate during the Chattian and Aquitanian periods. It is clear that the Aquitanian was a warm period as indicated by palaeotropical elements. However, a decrease in temperature was estimated during the middle-late Aquitanian as evidenced from Nagy (1990) in the Hungarian Miocene and Planderová (1990) in eastern and central Europe. In contrast, Hochuli (1978) from Austrian Molasse and Kirchner (1984) from

Southern Bavarian Pitch Coal Mine recorded a warm phase during the early Aquitanian which is consistent with the data obtained in this study. Mosbrugger et al (2005) indicate that temperature increases during the early Miocene persisting to the Middle Miocene. Jimenez-Moreno et al. (2007) studied the Rubielos de Mora Basin and indicated high percentage of thermophilous taxa and diverse subarid flora in the pollen spectra points to a very dry subtropical climate with a marked seasonality. It is also necessary to indicate that the Neogene period shows a general trend of climatic deterioration. This climate trend was punctuated by global warmth during the Middle Miocene known to be warmer than any other time during the Neogene, but general climate deterioration resumed in the Late Miocene.

**Palynomorph and Foraminifer Content of the Lower Miocene.....**



**Figure 14.** Application of the Coexistence Approach to the Kavak palynoflora in the Burdur area. The shaded boxes mark the climatic requirements of the taxa, the vertical lines delimit the widths of the coexistence intervals (MAT: mean annual temperature, CMT: mean temperature of the coldest month, WMT: mean temperature of the warmest month, MAP: mean annual precipitation).

## CONCLUSIONS

Following results were reached in this study:

1. Foraminifer, palynological and previous foraminifer data obtained indicate an Aquitanian age for the Kavak Formation.

2. The presence of foraminifers, *Cleistosphaeridium* sp., undifferentiated dinoflagellate cysts and Lepidocaryoidae indicate that sedimentation took place in the shallow marine conditions under terrestrial influence as evidenced by well preserved palynomorphs. Besides, foraminifer and palynological evidences determine the sea-level oscillations during the deposition of the Kavak Formation. Palaeo-vegetational data obtained indicate that altitudinal zones occurred during the deposition of the Kavak Formation since it has Lepidocaryoidae on back-mangrove environment of coastal plain, swamp-freshwater and lowland-riparian elements on lowland location and *Quercus* and *Pinaceae* on the hills.

3. Palaeoclimate data obtained also indicate an evidence for altitudinal zones since the assemblage includes both a palm *Longapertites retipiliatus* (Lepidocaryoideae), indicating warmer and coastal area and *Pinus sylvestris* type, describing cooler upland area under high rainfall.

## ACKNOWLEDGMENTS

This study was supported by a research project grant from Scientific and Technical Research Council of Turkey (TÜBÝTAK grant code 101Y133) and Dokuz Eylül University, Graduate School of Natural and Applied Sciences (Project number: 02KB.FEN.046). The helps of Önder Kalkan and Yılmaz Rüzungâr are also appreciated who took part in the field works.

## REFERENCES

- Akgün, F. and Sözbilir, H., 2001, A palynostratigraphic approach to the SW Anatolian molasse basin: Kale-Tavas molasse and Denizli molasses: *Geodinamica Acta* 14, 71-93.
- Akgün, F., Kaya, T., Forsten, A. and Atalay, Z., 2000, Biostratigraphic data (Mammalia and Palynology) from the Upper Miocene Ýncesu Formation at Düzayla (Hafik Sivas, Central Anatolia): Turkish Journal of Earth Sciences 9, 57-67.
- Akgün, F., Kayseri, M. S. and Akkiraz, M. S., 2007, Palaeoclimatic evolution and vegetational changes during the Late Oligocene-Miocene period in western and central Anatolia (Turkey): Palaeogeography, Palaeoclimatology, Palaeoecology, 253, 56-90.
- Akkiraz, M. S., Akgün, F. and Örcen, S., in press, Stratigraphic and palaeoenvironmental analysis of the Early-“middle” Oligocene formations in the Ýncesu area on the northern part of the western Taurids, Isparta Province, Turkey: evidence from foraminifera and palynomorphs: *Journal of Asian Earth Sciences*.
- Akkiraz, M. S. and Akgün, F., 2005, Palynology and age of the Early Oligocene units in Çardak-Tokça basin, southwest Anatolia: Paleoecological implications: *Geobios* 38, 283-299.
- Batý, Z., 1996, Palynostratigraphy and Coal Petrography of the Upper Oligocene Lignites of the Northern Thrace Basin, NW Turkey: PhD Thesis, Middle East Technical University, Ankara, Turkey [unpublished].
- Buchardt, B., 1978, Oxygen isotope paleotemperatures from the Tertiary period in the North Sea area: *Nature*, 275, 121-123.
- Collins, A. S. and Robertson, A. H. F., 1997, The Lycian Melange, southwest Turkey: an emplaced accretionary complex: *Geology* 25, 255-258.
- Collins, A. S. and Robertson, A. H. F., 1998, Processes of Late Cretaceous to Late Miocene episodic thrust sheet translation in the Lycian Taurides, SW Turkey: *Journal of the Geological Society* 155, 759-772.
- Collins, A. S. and Robertson, A. H. F., 1999, Evolution of the Lycian allochthon, western Turkey, as a north-facing Late Palaeozoic to Mesozoic rift and passive continental margin: *Geological Journal* 34, 107-138.
- Gökçen, N., 1982. Denizli ve Muðla çevresi Neogen istifinin Ostrakod biyostratigrafisi: *Yerbilimleri* 9, 111-131.

***Palynomorph and Foraminifer Content of the Lower Miocene.....***

- Göktap, F., Çakmakölu, A., Tarý, E., Sütçü, Y. F. ve Sarýkaya, H., 1989, Çivril- Çardak Arasýnýn Jeolojisi [Geology of Çivril-Çardak Region]: Mineral Research and Exploration Institute of Turkey (MTA) Report 8701, 107p.
- Gutnic, M., 1977, Geologie du Taurus Pisidien au nord d'Isparta, Turkie. Principal resultats, extraits des notes de M. Gutnic entre 1964 et 1971 par O. Monod: Université du Paris-sud Orsay, p. 130.
- Gürer, Ö. F. and Yýlmaz, F., 2002, Geology of the Ören and surrounding regions, SW Turkey: Turkish Journal of Earth Science 11, 2-18.
- Hakyemez, H. Y., 1989, Geology and Stratigraphy of the Cainozoic sedimentary rocks in the Kale-Kurbalýk area: Bulletin Mineral Research Exploration Institute 109, 9-21.
- Hochuli, P. A., 1978, Palynologische untersuchungen im Oligosen der zentralen und westlichen Paratethys: Beiträge Paläontologie, Österreich 4, 1-132.
- Jimenez-Moreno, G., Fauquette, S., Suc, J.-P. and Aziz, H. A., 2007, Early Miocene repetitive vegetation and climatic changes in the lacustrine deposits of the Rubielos de Mora Basin (Teruel, NE Spain): Palaeogeography, Palaeoclimatology, Palaeoecology 250, 101-113.
- Kirchner, M., 1984, Die Oberoligozäne Mikroflora des Südbayerischen Pechkohlenreviers: Palaeontographica Abteilung B Ionnides, 192, 85-162.
- Koçyiðit, A., 1984, Tectono-stratigraphic characteristics of Hoyran Lake region (Isparta Bend). In: Tekeli, O., Göncüoðlu C. (Eds.), Geology of the Taurus belt: Proceedings International Symposium, pp. 53-67.
- Kovach, W. L., 1989, Comparisons of multivariate analytical techniques for the use in pre Quaternary plant paleoecology: Review of Palaeobotany and Palynology, 60, 255-282.
- Mosbrugger, V. and Utescher, T., 1997, The coexistence approach-a method for quantitative reconstructions of Tertiary terrestrial paleoclimate data using plant fossils. Palaeogeography, Palaeoclimatology, Palaeoecology 134, 61-86.
- Mosbrugger, V., Utescher, T. and Dilcher, D. L., 2005, Cenozoic continental climatic evolution of Central Europe: Proceedings of the National Academy of Sciences of the United States of America (PNAS) 102(42), 14964-14969.
- Nagy, E., 1990, Palynological correlation of the Neogene of the Central Paratethys: Geological Institute of Hungary, 1-126.
- Özkaya, I., 1991, Evolution of a Tertiary volcanic trough in SW Turkey-the Alakaya basin of the Lycian belt: Geologische Rundschau 80, 657-668.
- Özcan, E., Less, G., Báldi-Beke, M., Kollányi, K. and Acar, F., 2009, Oligo-Miocene Foraminiferal Record (Miogypsinidae, Lepidocylinidae and Nummulitidae) from the western Taurides (SW Turkey): biometry and implications for the Regional Geology: Journal of Asian Earth Sciences 34, 740-760.
- Özer, S., Sözbilir, H., Özkar, Ý., Toker, V. and Sarý, B., 2001, Stratigraphy of Upper Cretaceous-Palaeogene sequences in the southern and eastern Menderes Massif (western Turkey): International Journal of Earth Sciences 89, 852-866.
- Planderová, E., 1990, Miocene microflora of Slovak Central Paratethys and its biostratigraphical significance: Dioniz Stur Institute of Geology Bratislava, p. 144.
- Poisson, A., 1976, Essai d'interprétation d'une transversale Korkuteli-Denizli (Taurus ouest-anatolien-Turquie): Bulletin of the Geological Society of France 2, 499-509.
- Ryan, P. D., Harper, D. A. T. and Whalley, J. S. 1995, PALSTAT, Statistics for palaeontologists: Chapman & Hall, London (now Kluwer Academic Publishers).
- Sancay, R. H., Batý, Z., Ipýk, U., Kirici, S. and Akça N., 2006, Palynomorph, Foraminifera and Calcareous Nanoplankton Biostratigraphy of Oligo-Miocene Sediments in the Mup Basin, eastern Anatolia, Turkey: Turkish Journal of Earth Sciences, 15, 259-319.
- Sözbilir, H., 2002, Revised Stratigraphy and Facies Analysis of Palaeocene-Eocene Supra-allochthonous Sediments (Denizli,

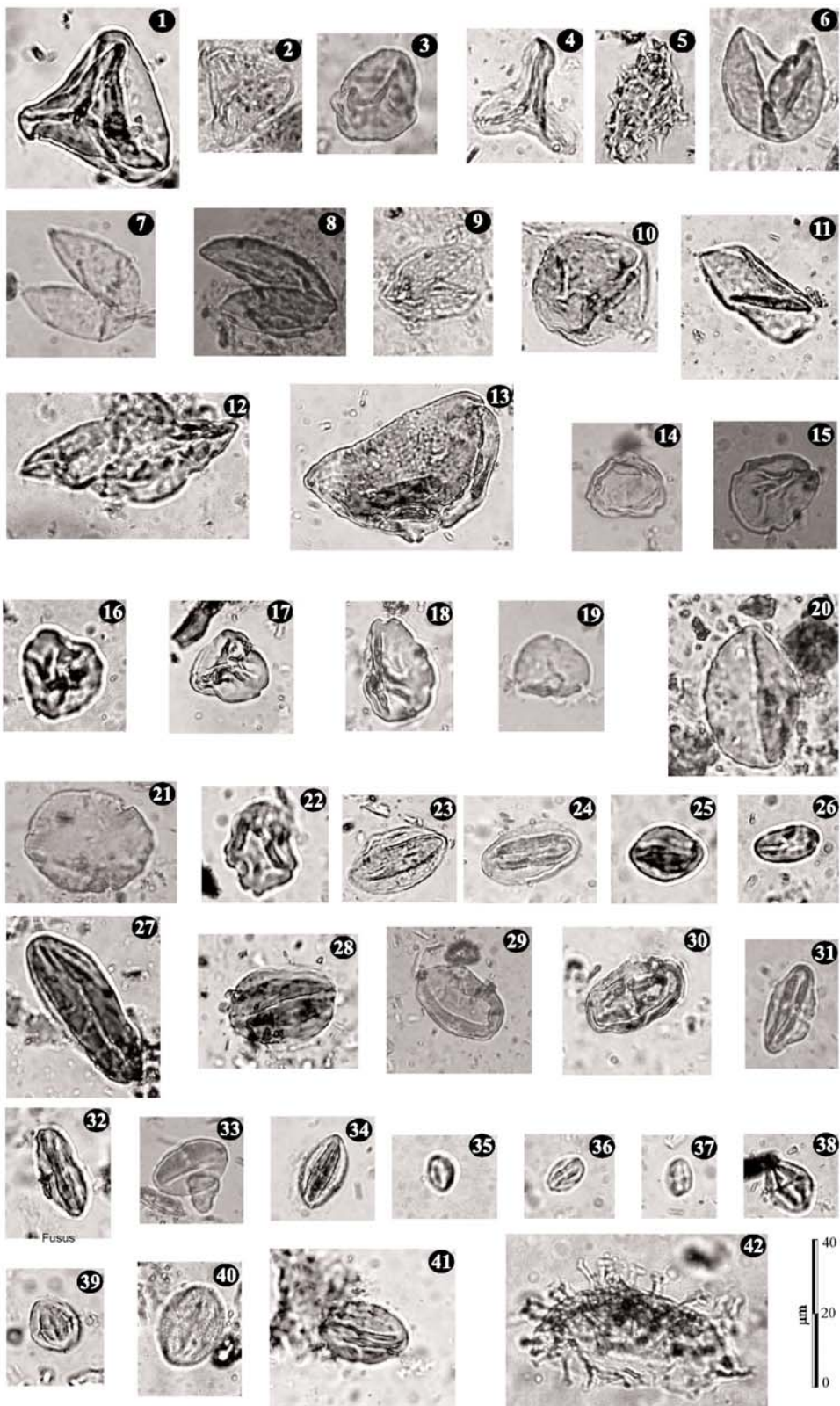
- SW Turkey) and their Tectonic Significance: Turkish Journal of Earth Sciences 11, 87-112.
- Sözbilir, H., 2005, Oligocene-Miocene extension in the Lycian orogen: evidence from the Lycian molasse basin, SW Turkey: Geodinamica Acta 18, 255-282.
- Þenel, M., 1991, Palaeocene-Eocene sediments interbedded with volcanics within the Lycian Nappes: Faralya formation: Mineral Research and Exploration Institute of Turkey Bulletin 113, 1-14.
- Þenel, M., 1997, 1/100 000 ölçekli Türkiye Jeoloji Haritalarý Denizli- J10 Paftasý: Maden Tetkik Arama Genel Müdürlüğü, 13, 1-16.
- Yaðmurlu, F., 1994, Isparta Kuzeyinde Yeralan Oligosen Yaþlý Molas Tipi Kýrýntýlý Tortullarýn Tektono-Sedimentler Özellikleri [Tectono-sedimentary characteristics of the molasse type clastic sediments (Oligocene) in the northern Isparta, Turkey]: Çukurova Üniversitesi, 15. Yýl sempozyumu, 241-252 (in Turkish with English abstract).
- Yalçýnkaya, S., Engin, A., Taner, K., Afþar, P., Dalkýlýç., H. and Özgönül, E., 1986, Batý Toroslarýn Jeolojisi [Geology of western Taurides]: Mineral Research and Exploration Institute of Turkey (MTA) Report, 7898, p. 132.
- Yasamanov, N. A., 1982, The problem of global changes in temperature regime of the earth's surface during Cenozoic time: Izvestiya AN SSSR, seriya geologicheskaya, 10, 106-110.
- Zachos, J., Pagani, M., Sloan, L., Thomas, E. and Billups, K., 2001, Trends, rhythms, and aberrations in Global Climate 65 Ma to present: Science 292, 686-693.

**PLATE 1**

Specimens are denoted by a sample number (e.g. 04/09). Photomicrographs are the same scale (see 40 micrometer bar in Plate).

- Figure 1.** *Leiotriletes triangulus* (Mürriger & Pflug ex Krutzsch) Krutzsch, sample 04/27.
- Figure 2.** *Leiotriletes microlepidoidites* Krutzsch, sample 04/08.
- Figure 3.** *Leiotriletes microadriennis* Krutzsch, sample 04/23.
- Figure 4.** *Leiotriletes* sp. 1, sample 04/09.
- Figure 5.** *Echinatisporis miocenicus* Krutzsch & Sontag in Krutzsch, sample 04/27.
- Figure 6.** *Inaperturopollenites hiatus* (Potonié) Pflug & Thomson in Thomson & Pflug sample 04/08.
- Figures 7-9.** *Inaperturopollenites concedipites* (Wodehouse) Krutzsch Figures 7, 8. Sample 04/09; Figures 9. Sample 04/08.
- Figure 10.** *Sequoia pollenites polymorfolosus* Thiergart, sample 04/10.
- Figure 11.** *Cycadopites gracilis* (Wodehouse) Krutzsch, sample 04/09.
- Figure 12.** *Cycadopites lusaticus* Krutzsch, sample 04/09.
- Figure 13.** *Longapertites retipilatus* Kar, sample 04/09.
- Figure 14.** *Triatriopollenites rurensis* Thomson & Pflug, sample 04/27.
- Figures 15-17.** *Plicatopollis plicatus* (Potonié) Krutzsch, Figure 15. sample 04/09 (Kavak); Figures 16, 17. sample 04/27.
- Figure 18.** *Plicatopollis hungaricus* Kedves, sample 04/27.
- Figure 19.** *Momipites punctatus* (Potonié) Nagy, sample 04/27.
- Figure 20.** *Caryapollenites simplex* (Potonié) Raatz ex Potonié, sample 04/09.
- Figure 21.** *Intratriporopollenites instructus* (Potonié) Thomson & Pflug, sample 04/27.
- Figure 22.** *Polyvestibulopollenites verus* (Potonié) Thomson & Pflug, sample 04/10.
- Figures 23, 24.** *Tricolpopollenites microhenrici*, sample 04/10.
- Figure 25.** *Tricolpopollenites densus* Pflug in Thomson & Pflug sample 04/10.
- Figure 26.** *Tricolpopollenites liblarensis* (Thomson in Potonié, Thomson & Thiergart) Thomson & Pflug ssp. fallax (Potonié) Thomson & Pflug, sample 04/10.
- Figure 27.** *Tricolpopollenites henrici* (Potonié) Thomson & Pflug, sample 04/08.
- Figure 28.** *Aceripollenites striatus* (Pflug) Thiele-Pfeiffer, sample 04/10.
- Figures 29, 30.** *Tricolporopollenites euphorii* (Potonié) Thomson & Pflug, Figure 29. sample 04/10; Figure 30. sample 04/27.
- Figures 31, 32.** *Tricolporopollenites cingulum* (Potonié) Thomson & Pflug ssp. fusus (Potonié) Thomson & Pflug, Fig. 31. sample 04/10; Fig. 32. sample 04/27.
- Figures 33, 34.** *Tricolporopollenites cingulum* (Potonié) Thomson & Pflug ssp. pusillus (Potonié) Thomson & Pflug, Figure 33. sample 04/10; Figure 34. sample 04/08.
- Figures 35-37.** *Tricolporopollenites cingulum* (Potonié) Thomson & Pflug ssp. oviformis (Potonié) Thomson & Pflug, Figure 35. sample 04/09; Figure 36. sample 04/27; Figure 37. sample 04/10.
- Figures 38, 39.** *Tricolporopollenites megaexactus* (Potonié) Thomson & Pflug ssp. exactus (Potonié) Thomson & Pflug, Figure 38. sample 04/09; Figure 39. sample 04/10.
- Figure 40.** *Tricolporopollenites microreticulatus* Pflug & Thomson in Thomson & Pflug, sample 04/09.
- Figure 41.** *Tricolporopollenites pacatus* Pflug in Thomson & Pflug, sample 04/27.
- Figure 42.** *Cleistopheridium* sp., sample 04/08.

PLATE 1



**PLATE 2**

Foraminifers described in the Kavak Formation are denoted by a sample number (e.g. 04/22).  
All photomicrographs have their own scales.

**Figures 1-2.** *Lepidocyclina* sp., Figure 1. sample 04/22K; Figure 2. sample 04/21K.

**Figure 3.** *Sphaerogypsina globulus* Reuss, sample 04/24K.

**Figures 4-5.** *Archaias* sp., Figure 4. sample 04/06K; Figure 5. sample 04/03K.

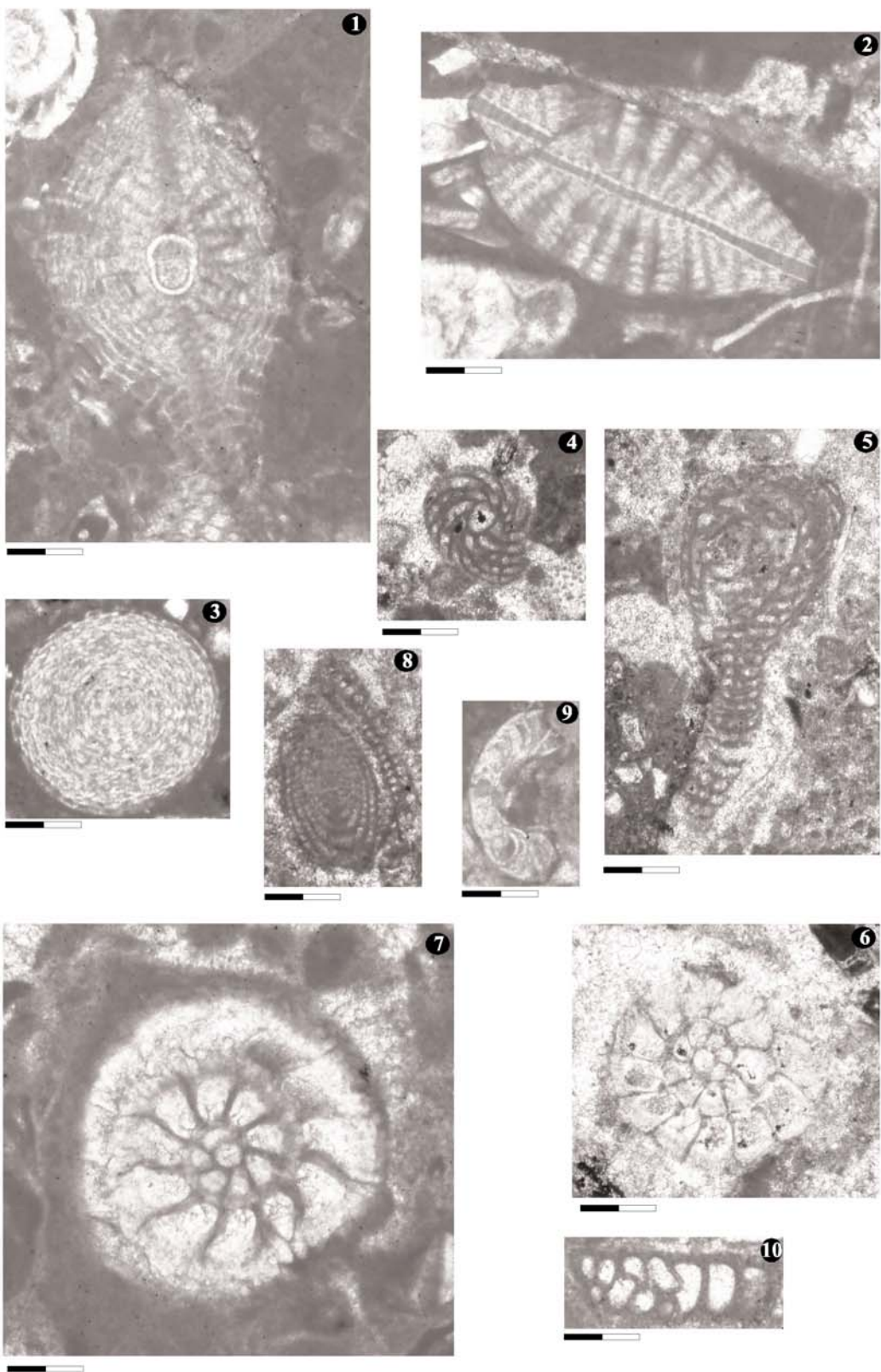
**Figures 6-7.** *Pararotalia* sp., Figure 6. sample 04/18K; Figure 4. Sample 04/23K.

**Figure 8.** *Borelis* sp., sample 04/03K.

**Figure 9.** *Eofabiania?* sp., sample 04/25K.

**Figure 10.** *Textulariidae*, sample 04/14K.

PLATE 2





## TÜRKİYE PETROL JEOOGLARI DERNEĞÝ BÜLTENÝ YAZIM KURALLARI

**1.** TPJD Bülteninde yer alacak makaleler abapýdaki niteliklerden en az birisini tapý malýdýr:

a) Yer bilimlerine, özellikle de petrol, doðalgaz ve jeotermal enerji konularýndan birine, yeni bir katkýsý bulunan araþtýrma.

b) Yerbilimleri alanýnda bilimsel yöntemlerle yapýlmýp özgün sonuçlarý olan bir çalýþma.

c) Yerbilimlerinin, özellikle petrol, doðalgaz ve jeotermal enerji konularýnda daha önce yapýlmýp çalýþmalarý eleþtirici bir yaklaþýmla ele alan, o konuda yeni bir görüp ortaya koyan eleþtiri derleme (critical review).

d) TPJD Bülteni'nin en son sayýsýnda yer alan herhangi bir yazýnýn, tümünün veya bir bölümünün eleþtirisini niteliðinde olan yazırlara Bülten'de yer verilir. Makale yazarýnýn eleþtiriçi cevaplamasý durumunda, cevap yazýsý ile eleþtiri yazýsý birlikte yayýnlanýr.

**2.** TPJD Bülteni yýlda 2 (iki) kez Haziran ve Aralýk aylarýnda yayýnlanýr.

**3.** TPJD Bülteni'nin yayýn dili Türkçe ve Ýngilizce'dir. Ýngilizce yazýlardá "Abstract" tan sonra Türkçe "Öz" bulunmalýdýr.

**4.** TPJD Bütteninde yayýnlanacak makalelerin, Türkçe olarak daha önce herhangi bir yerde yayýnlanmamýp olmasý þarttýr. Ancak, daha önce yabancý dilde yayýnlanmýp olan makaleler petrol, doðalgaz ve jeotermal enerji konularýnýn aramacýlýðýný doðrudar ilgilendiriyorsa Türkçe olarak TPJD Bülteni'nde yayýnlanabilir.

**5.** Yazar(lar) makalenin daha önce herhangi bir yerde yayýnlanmadýðýný yazýlý olarak bildirmek zorundadýr.

**6.** Yayýnlanacak makalelerin tüm haklarý TPJD' ye ait olup, makaleler geri gönderilmez. Yayýna kabul edilmeyen makaleler yazar(lar) geri gönderilir.

**7.** Makaleler 1 (bir) asýl 3 (üç) kopya olarak düzenlenip gönderilmelidir.

**8.** Türkçe gönderilecek makalelerin Baþýk ve Öz bölümlerinin ingilizceleri mutlaka verilmelidir. Yazar(lar)ýn adresleri -ünvanları

belirtilmeden- kuruluþ adlarýnda kýsaltma olmakþýzýn ve bapka dile çevrilmeden yazılımalýdýr. Adresler makalenin baþýk ve yazar(lar)ýn isimlerinden hemen sonraki satýrda verilmelidir.

**9.** TPJD Bulletinin gonderilecek makaleler abapýdaki baþýk sýrasýný izlemelidir.

### TÜRKÇE BAÞLIK ÝNGÝLÝZCE BAÞLIK

Yazar(lar)

### ÖZ

### ABSTRACT

300 sözcüðü geçmemelidir.

Anahtar sözcükler verilmelidir.

### GÝRÝP

### ANA METÝN

Bu baþýk kullanýlmaksýzýn ana metne geçilmemelidir.

### TARTIÞMA

Gerekli olduðu hallerde yapýlmalýdýr.

### SONUÇLAR

### KATKI BELÝRTME

### DEÐÝNÝLEN BELGELER

Deðinilen belgeler abapýdaki gibi olmalıdır:

### a) Periyodiklerdeki makaleler:

Yalcýn, N. ve Welte, D., 1988, The thermal evolution of sedimentary basins and significance for hydrocarbon generation: Türkiye Petrol Jeologlarý Derneði Bülteni, c.1, sayý. 1, s. 11-26.

### b) Sempozyum, özel basým, kitap, tez,

vs.:

Debois, D. ve Prade, H., 1988, Possibility theory: New York, Plenum Press, 263 s.

Yýlmaz, E. ve Duran, O., 1997, Güneydodu Anadolu Bölgesi Otokton ve Allokton Birimler Stratigrafi Adlama Sözlüðü (Leksikonu): TPAO Araþtýrma Merkezi Grubu Baþkanlýðý, Eðitim Yayýnlarý No. 31, 460 s.

Kuru, F., 1987, Mardin-Derik yoresi Üst Kretase yaþlý birimlerinin planktonik foraminiferalarla biyostratigrafi incelemesi: Yüksek lisans tezi, Ankara Üniversitesi Fen Fakültesi, Ankara, 107 s.

Kozlu H., 1987, Misis-Andýrýn dolaylarýnýn stratigrafisi ve yapýsal evrimi: Türkiye 7. Petrol Kongresi, Jeoloji Bildirileri, Ankara, s. 104-116

EKLER

**10.** “Pekil” ve “Tablo”lar metin içine konulabilir. Ancak, “Levha”lar mutlaka metnin sonundaki Ekler bölümüne konulmalıdır. Her türlü çizimin aslı gönderilmelidir.

Aksi durumlarda yayýn kabul edilmez.

## **“PEKILLER”**

Her türlü harita  
Her türlü kesit  
Korelasyon çizimleri  
Arazi fotoðraflarý

## “TABLOLAR”

Grafikler  
Denklemler  
Matematiksel ebitlikler  
Çizelgeler

## **“LEVHALAR”**

Her türlü fotomikrograf. Levhalardaki fotomikrograflar “Foto” olarak deðil, “**þekil**” olarak anýlmalýdýr. Þekil ve Figure sözcüklerinde “þ” ve “F” harfleri alt alta gelmeli þekil numaralarýndan sonra “.” ibareti konmalýdýr.

**11.** TPJD Bülteni'ne gönderilecek makaleler "Pekil", "Tablo" ve "Levha"lar dahil 40 sayfa ile sýnýrlandýrlýmýþtýr.

**12.** Makaleler 29.7x21 cm'lik A4 boyut-  
larýnda kaðýtlarýn bir yüzüne çift aralýklý olarak  
yazýlmalýdýr. Kaðýtlarýn çevresinde 2.5 cm  
boþluk býrakýlmalýdýr. "Bekil", "Tablo" ve  
"Levha"lar da A4 boyutlarynda olmalýdýr.

**13.** Sayfa numaralarында орнастырылған алғашқы тапсының көпелерине курбун калемле жазылмастырыңыз.

**14.** Çizimler siyah-beyaz basýlacak þekilde düzenlenmelidir. Tüm çizimlerde çizgisel ölçek kullanýlmalýdýr. Çizimlerde yazıý karakterinde standartlara dikkat edilmelidir.

15. TPJD Bülteni’nde yayýnlanmak üzere gönderilecek makaleler, biçim yönüyle Yayýn Sorumlusu ve Yayýn Kurulu taralýndan, bilimse içerik ve jeolojik uygulamalardaki sonuçlarý yönüyle de en az iki Makale inceleme Kurulu Üyesi tarafýndan incelenir. Makalenin hangi Makale inceleme Kurulu Üyeleri tarafýndan deðerlendirileceði Yayýn Sorumlusu ve Yayýn Kurulu Karar ile olur. Makaleler Yayýn Kurulu, Yayýn Sorumlusu, Makale inceleme Kurulu Üyesi ve TPJD Yönetim Kurulu Onayý ile yayýnlanýr.

**16.** Yazar(lar) ile Makale Ýnceleme Kurulu arasýnda makalenin yayýlmý ile ilgili olarak olupabilecek herhangi bir problem de Makale Ýnceleme Kurulu, Yayýn Sorumlusu, Yayýn Kurulu Üyelerinin yapacaðý ortak toplantıda çöðünluðun vereceði karar kesin ve nihai olur.

**17.** Makalelerin yayýnlamasýna karar verildikten ve yazar(lar) tarafýndan son düzeltmeleri yapýldýktan sonra makaleler bilgisayar ortamýnda yazýlmýþ olmalý ve word dosyasý (\*.doc) olarak düzenlenip email, disket veya CD de gönderilmelidir. Bütün çizimler (bekil, tablo ve levhalar) siyah-beyaz veya renkli, bekil ve tablo alt velveya üst yazılarý ile birlikte 155x215 mm'yi geçmeyecek bekilde bilgisayar ortamýnda \*.doc, \*.xls, \*.ppt, \*.cdr, \*.psd, \*.jpg, \*.bmp, \*.tif, \*.fh9 gibi dosya türlerinden birinde hazýrlanarak email, disket veya CD de gönderilmelidir. Bunun için word, excel, power point, adobe photoshop, corel-draw, corel photo-paint, freehand gibi programlar kullanýlaraç bekiller hazýrlanmalýdýr. Tüm çizimlerde çizgisel ölçek kullanýlmalýdýr. Cizimlerde yazı karakterinde standartlara

**18.** Makale göndermek için TPJD üyesi olma zorunluluğu yoktur.

---

## INSTRUCTIONS TO TAPG BULLETIN AUTHORS

---

**1.** Papers submitted to the "TAPG BULLETIN" should meet at least one of the following criteria:

- a) Original study in one oil the subdisciplines of earth science, especially oil, natural gas and geothermal energy explorations.
- b) Study which has original results obtained by using the scientific methods of earth sciences.
- c) Critical reviews of previously published papers, especially on oil, natural gas and geothermal energy.
- d) Discussions of all and/or part of papers published in the last TAPG Bulletin are encouraged, and are published as soon as possible along with the authors reply.

**2.** The TAPG Bulletin is published twice a year in June and December.

**3.** Languages of the TAPG Bulletin are Turkish and English. Papers written in English must have a Turkish abstract after the English abstract. Turkish abstract of papers in English will be prepared by TAPG if necessary.

**4.** Author(s) must submit a statement indicating that the paper has not been previously published in any bulletin, journal, etc..

**5.** All rights of papers reserved for the Turkish Association of Petroleum Geologists. If a paper is not accepted by the Editorial Board it will be sent back to the author(s).

**6.** Three (3) copies of manuscript must be submitted (one must be original).

**7.** English translation of titles and abstracts of papers in Turkish must be included. Addresses of author(s) should be written in the original language without any abbreviation, and any professional title. Addresses must be placed right after the title and authors name.

**8.** Papers are arranged accordingly:

**TITLE** (Turkish and English)

**AUTHOR(S)**

### **ABSTRACT**

(no more than 300 words, key words must be given, Turkish and English)

### **INTRODUCTION**

### **TEXT**

### **DISCUSSION** (if necessary)

### **CONCLUSIONS**

### **ACKNOWLEDGMENTS** (if included)

### **REFERENCES**

Only the references mentioned in the paper should be given in the references cited section.

Examples are shown below: .

**a) For papers in journals, serials, society proceedings, etc;**

Yalcýn, N. ve Welte, D., 1988, The thermal evolution of sedimentary basins and significance for hydrocarbon generation: Turkish Association of Petroleum Geologist Bulletin, v. 1, no. 1, pp. 12-26.

**b) For symposium, special publication, book, thesis, etc;**

Debois, D. and Prade, H., 1988, Possibility theory: New York, Plenum Press, 263 s.

Yýlmaz, E. ve Duran, O., 1997, Güneydodu Anadolu Bölgesi Otokton ve Allokton Birimler Stratigrafi Adlama Sözlüðü (Leksikonu): TPAO Arapýrma Merkezi Grubu Baþkanlýðý, Eðitim Yayýnlarý No. 31, 460 s.

Kuru, F., 1987, Mardin-Derik yoresi Üst Kretase yaþlý birimlerinin planktonik foraminiferalarla biyostratigrafi incelemesi: Yüksek lisans tezi, Ankara Üniversitesi Fen Fakültesi, Ankara, 107 s.

Kozlu H., 1987, Misis-Andýrýn dolaylarynýn stratigrafisi ve yapýsal evrimi: 8<sup>th</sup> Petroleum Congress of Turkey, Geology Proceedings, Ankara, pp. 104-116.

Same author's name must be written for each paper. Abbreviations must be avoided. If necessary, they should be in accordance with standards and abbreviations listed in "International list of Periodical Title Word Abbreviations" can be used.

### **APPENDIX**

**9. "Figures" and "Tables"** may be placed in the text but "**Plates**" must be placed in the Appendix.

**"FIGURES"**

All maps  
All sections  
Correlations  
Fields Photos

**"TABLES"**

Graphics  
Equations  
Mathematical equations

**"PLATES"**

All photomicrographs. Photomicrographs must be mentioned as "**Figures**", instead of "**Photos**", "**Figure**" and "**Pekil**" words should not be abbreviated, and should begin with a capital letter. "**F**" and "**p**" letters in words of "**Figure**" and "**Pekil**" must be lined up. After the figure number the colon of ":" must be used.

**10.** Manuscripts are limited to 40 pages including "Figures", "Tables", and "Plates". However TAPG Executive Committee has a right to modify this regulation.

**11.** Manuscripts must be typed on one side of the paper. 29.7x21 cm (A4), consistently double spaced (including references and figure captions), with only one space after periods.

**12.** All illustrations (figures, tables and plates) should be sent in black and white or color (no larger than 155x215 mm) in CD, cassette or by email in one of the following formats: doc, xls, ppt, cdr, psd, jpg, bmp, tif, fh9. We prefer to receive word, excel, power point, adobe photoshop, corel draw, corel photo paint and freehand programs. All illustrations should have scale bar. Photographs should be in good quality printed on glossy paper. Colored figures can not normally be accepted unless the reproduction cost is met by author(s). Figures should be submitted in final size to fit one or two columns "TAPG Bulletin" width, or broadside.

**13.** Manuscripts are reviewed by managing editor and publication board members for the suitability to be published. Manuscripts will be edited by two members of Editorial Board for the scientific content and the results of its geological application. Editors will be chosen by the managing editor and publication board.

**14.** Disagreements between authors and the editors are will be resolved in the meeting by the managing editor(s). The final decision will be made on common vote bases.



Kazım Karabekir Caddesi Kültür Çarşısı No:7/40 İskitler, Ankara-Türkiye  
T. 90312. 384 06 04 - 05 F. 90312. 384 06 10  
[www.majansoffset.com](http://www.majansoffset.com)

Basım Tarihi: Temmuz 2010



# TURKISH ASSOCIATION OF PETROLEUM GEOLOGISTS



# EYES UPON YOU

TAPG - TURKISH ASSOCIATION of PETROLEUM GEOLOGISTS  
İzmir Caddesi II, No:47/14 06440 Kızılay - ANKARA / TÜRKİYE  
Tel: 90 312. 419 86 42 - 43 Faks: 90 312. 285 55 66  
E-mail: [tpjd@tpjd.org.tr](mailto:tpjd@tpjd.org.tr) - [tpjd@tpjd.org](mailto:tpjd@tpjd.org)